Dispense del Corso di MECCANICA DEI SOLIDI

Prof. Daniele Zaccaria

Dipartimento di Ingegneria Civile Università di Trieste Piazzale Europa 1, Trieste

Parte Seconda Teoria tecnica delle travi

Corsi di Laurea specialistici in Ingegneria delle Infrastrutture e dei sistemi di trasporto Strutture ed opere dell'ingegneria civile Ingegneria edile

Corso di Laurea triennale in Ingegneria Navale

Trieste, 31 agosto 2007

Indice

			2.8	Appendice (Legame elastico lineare dedotto dal campo di spostamenti rigidi della sezione retta)	47
		3		oblema di Saint-Venant I Schematizzazione della trave nell'ambito della teoria	49
1	Statica e cinematica delle travi	3	J.1	matematica dell'elasticità	49
	1.1 Statica della trave spaziale	3	3.2	2 Caratteristiche della sollecitazione	
	1.1.1 Equazioni indefinite di equilibrio			Principio di Saint-Venant	
	1.1.2 Equazioni di discontinuità			4 Problema di Saint-Venant	
	1.1.3 Equazioni di equilibrio al contorno		3.5		
	1.2 Statica della trave piana		3.6	Soluzione del problema di Saint-Venant in termini di tension	
	1.3 Geometria della trave spaziale		3.5	7 Tensioni normali	
	1.4 Cinematica infinitesima della trave spaziale		3.7	Sforzo normale centrato	
	1.4.1 Ipotesi di piccoli spostamenti		3.0	9 Flessione retta	
	1.4.2 Spostamenti dei punti della sezione retta			10 Equazioni determinatrici delle tensioni tangenziali	
	1.4.3 Decomposizione degli spostamenti			11 Appendice (soluzione del problema delle tensioni tangen-	01
	1.5 Deformazione		J.1	ziali)	69
	1.5.1 Spostamento relativo per unità di linea			Ziuli)	00
	1.5.2 Curvatura	15 4	Pr	oblema della torsione	75
	1.5.3 Trave piana ad asse rettilineo	16	4.1	l Funzione di ingobbamento	75
	1.6 Principio dei lavori virtuali	17	4.2	2 Fattore torsionale di rigidezza	80
_			4.3	B Energia complementare	81
2	Legame costitutivo	21	4.4	4 Funzione delle tensioni	82
	2.1 Dilatazione e scorrimento della generica fibra longitudinale				
	2.1.1 Appendice (Trave ad asse curvo)			tensione del problema di Saint-Venant	87
	2.2 Legame costitutivo elastico lineare			l problema di flessione, taglio e torsione	
	2.3 Lavoro di deformazione		5.2	2 Centro di taglio	
	2.4 Energia elastica di deformazione		5.3	B Energia complementare	
	2.5 Teoremi sul lavoro di deformazione		5.4	4 Legami costitutivi	93
	2.5.1 Teorema di Clapeyron		D.,	abland marticalari di tarriore a tarlia	0.5
	2.5.2 Teorema di Betti			oblemi particolari di torsione e taglio	95
	2.5.3 Teorema di Castigliano			La torsione nelle sezioni rettangolari sottili	
	2.6 Energia potenziale totale		0.2	2 La torsione nelle sezioni sottili aperte	
	2.6.1 Variazione del funzionale energia potenziale totale .	3/		6.2.1 Semicirconferenza sottile	
	2.6.2 Principio di stazionarietà dell'energia potenziale	40	6.5	6.2.2 La sezione a C	
	totale			3 La torsione nelle sezioni sottili chiuse	
	2.6.3 Principio di minimo dell'energia potenziale totale	41	0.4	4 La torsione nelle sezioni sottili chiuse pluriconnesse	107

2.7.3 Estensione del problema di Saint-Venant 46

6.5	5 Il taglio nelle sezioni compatte simmetriche						
	6.5.1	Sezione rettangolare	0				
	6.5.2	Sezione circolare	1				
6.6	Il tagl	io nelle sezioni sottili aperte	2				
	6.6.1	La sezione a C	3				

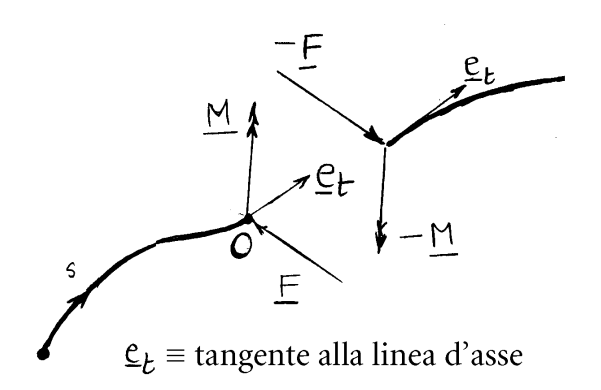
Capitolo 1

Statica e cinematica delle travi

1.1 Statica della trave spaziale

1.1.1 Equazioni indefinite di equilibrio

Si ricordi che le caratteristiche della sollecitazione rappresentano la risultante $\underline{\vdash}$ e il momento risultante $\underline{\vdash}$ agenti sulla faccia della sezione retta di normale uscente positiva, ridotti al punto O intersezione tra sezione retta e linea d'asse.



Localmente sia la risultante che il momento risultante vengono decomposti in un vettore normale alla sezione retta e in uno giacente nel piano della sezione:

$$\int E = T + N \underline{e}_z$$

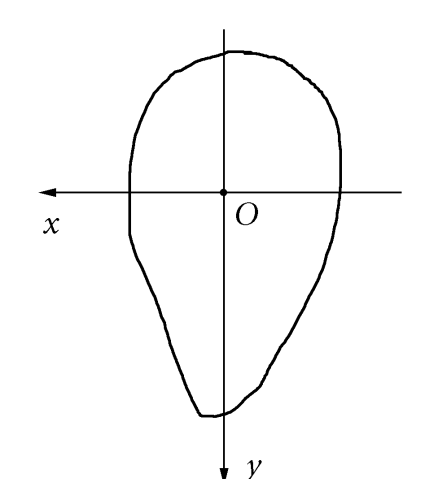
$$\underline{M} = \underline{M}_f + \underline{M}_t \underline{e}_z$$

dove:

$$N \equiv S$$
 for zo tagliante o taglio $M_{\rm f} \equiv {\rm Momento}$ torcente $T \equiv S$ for zo tagliante o taglio $M_{\rm f} \equiv {\rm Momento}$ flettente .

A loro volta le componenti nel piano della sezione possono decomporsi secondo le direzioni di due assi cartesiani ortogonali x e y prescelti nel piano della sezione retta:

$$\begin{cases}
\underline{T} = T_{x} \underline{e}_{x} + T_{y} \underline{e}_{y} \\
\underline{M}_{f} = M_{x} \underline{e}_{x} + M_{y} \underline{e}_{y}
\end{cases}$$



 $z \equiv \text{asse normale}$ alla sezione

Forze esterne applicate

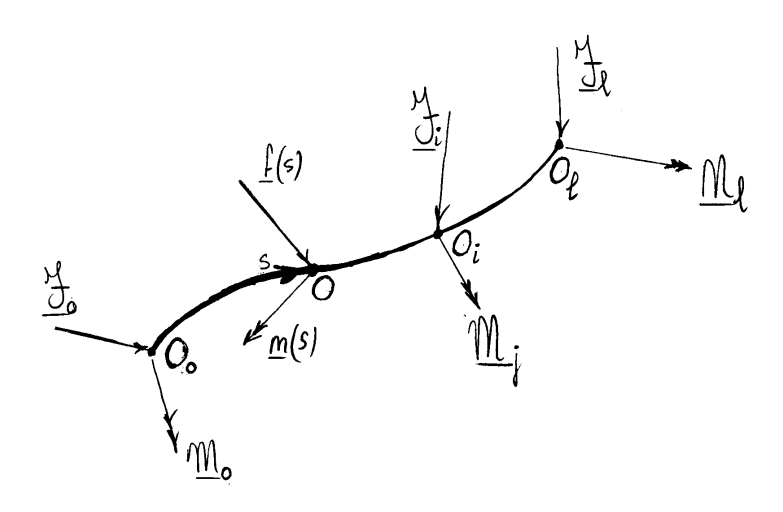
 $\underline{f}(s)$, $\underline{m}(s) \equiv forze e applie distribute per unita di linea$

 $\frac{\mathcal{F}_{0}}{\mathcal{F}_{0}}, \frac{\mathcal{F}_{0}}{\mathcal{F}_{0}}, \frac{\mathcal{F}_{0}}{\mathcal{F}_{0}}$ = forze e coppie concentrate

agenti nelle due estremita

(di ascissa s=0 e s=1),

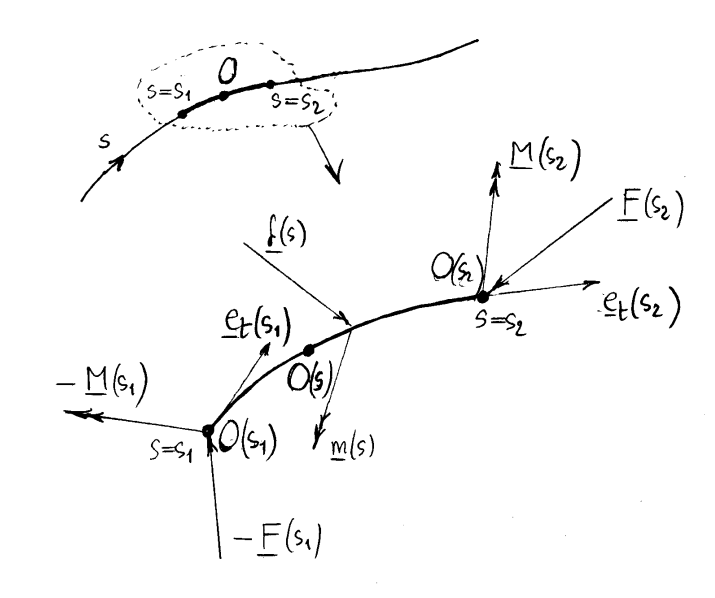
#; Mi(i=1,...n) = Forze e oppie onœutrate.



Equazioni indefinite di equilibrio (valida nei punti O dell'asse dove non sono applicate larze e coppie concentrate)

Equilibrio alla traslazione:

$$\int_{s_4}^{s_2} \underline{f} \, ds + \underline{F}(s_2) - \underline{F}(s_4) = \underline{0}$$



$$\int_{s_1}^{s_2} \left(\frac{d\underline{E}}{ds} + \underline{f} \right) ds = \underline{0} \quad \text{per agui} \quad s_1, s_2$$

$$\frac{dE}{ds} + \underline{f} = \underline{0}$$

$$\begin{split} & \underbrace{ \text{Fquilibrio alls rotatione}}_{S_{2}} \left(\begin{array}{c} \text{pols } C \text{ generico} \end{array} \right) \\ & \underbrace{ \int_{S_{1}}^{S_{2}} \underbrace{ m}_{+} + \left(O - C \right) \times \underbrace{f}_{+} \right) ds}_{+} + \underbrace{ \left(O(S_{2}) - C \right)}_{+} \times \underbrace{ \left(O(S_{1}) - C \right) \times \underbrace{F(S_{1})}_{+} = \underbrace{O}_{+} \right) }_{+} \\ & \underbrace{ \int_{S_{1}}^{S_{2}} \left\{ \frac{d \underline{M}}{ds} + \underline{m}_{+} + \left(O - C \right) \times \left(\frac{d \underline{E}}{ds} + \underline{f}_{+} \right) + \frac{d \underline{O}}{ds} \times \underbrace{F}_{+} \right\} ds}_{+} = \underbrace{O}_{+}, \\ \text{per equi} \quad S_{1} \in S_{2} \quad \text{equindi:} \end{split}$$

$$\frac{d\underline{M}}{ds} + \underline{e}_{t} \times \underline{F} + \underline{m} = \underline{0}$$

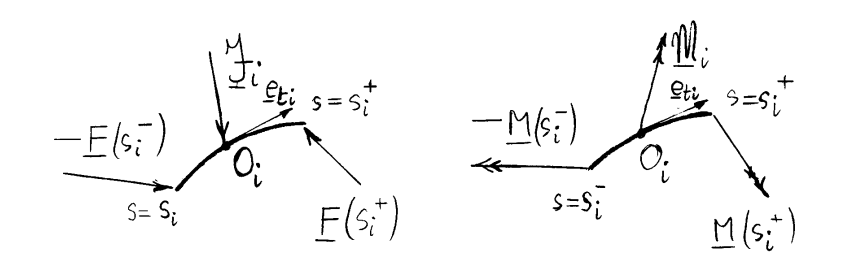
 $(\frac{dO}{dS} = E_t$ se s'appresenta la distanza la origine e punto generico, distanza misurata lungo l'asse della trave)

1.1.2 Equazioni di discontinuità

Proti di applicazione di forze e coppie concentrate

$$F(s_i^+) - F(s_i^-) + \mathcal{L}_i = 0$$

$$M(s_i^+) - M(s_i^-) + M_i = 0$$



1.1.3 Equazioni di equilibrio al contorno

Le consteristiche della sollecitazione che affiorano alle estremità devono ugnagliare le forze applicate.

Mella prima sezione di estremità le consteristiche della sollecitazione savo applicate sulla sezione di normale entrante positiva e dunque le forze applicate rappresentano le caratteristiche cambiate di segno:

$$\begin{cases} E(0) = -\frac{\mathcal{I}}{2}, \\ \underline{M}(0) = -\underline{M}_{0}, \end{cases} \qquad \begin{cases} E(\ell) = \underline{\mathcal{I}}_{\ell} \\ \underline{M}(\ell) = \underline{M}_{\ell} \end{cases}.$$

1.2 Statica della trave piana

Le forze applicate (ridotte ai punti della linea d'asse) e le caratteristiche della sollecitazione appartengono al piano dell'asse (a appartengono tutte ad un piano nel caso l'asse della trave sia rettilineo).

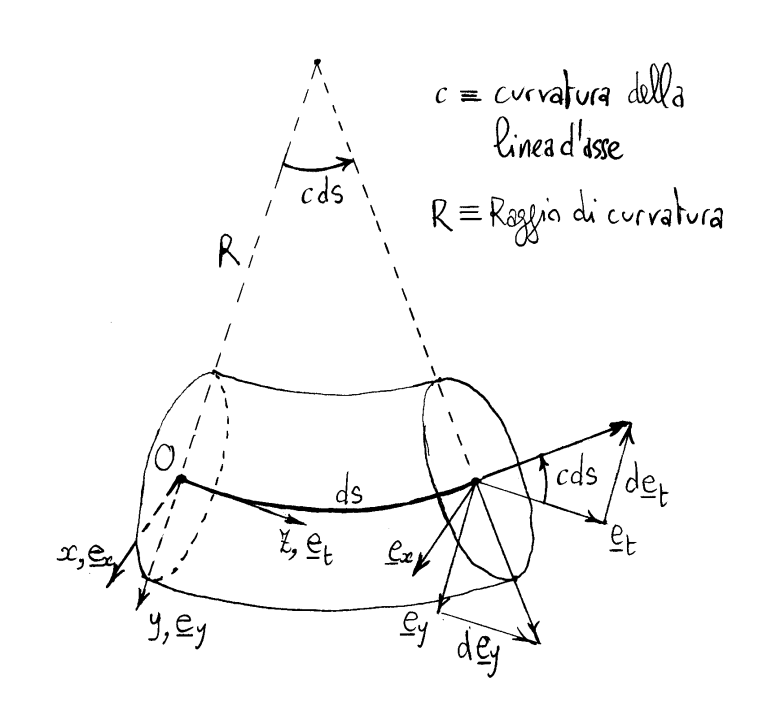
L'analisi seguente è valida sotto l'ipotesi che la tangente alla linea d'asse coincida con la normale alla sezione retta:

$$e_{\rm t} = e_{\rm z}$$
.

Questo è senz'altro vero nella configurazione di riferimento, dove l'equilibrio viene scritto nell'ipotesi di piccoli spostamenti. Nella configurazione deformata, dove in generale deve essere scritto l'equilibrio, l'uguaglianza è ancora valida nell'ipotesi di trave inflessa oppure se invece di riferirsi alle sezioni corrispondenti nella deformazione alle sezioni rette di riferimento ci ci riferisce in ogni caso alle sezioni rette anche nella configurazione di riferimento.

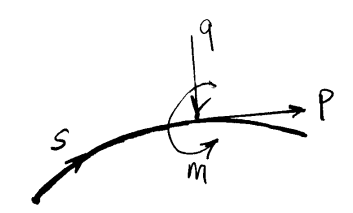
Risulta:

$$\begin{cases} \frac{d\underline{e}_{z}}{ds} = \underline{0}, \\ \frac{d\underline{e}_{t}}{ds} = -c\underline{e}_{y}, \\ \frac{d\underline{e}_{y}}{ds} = c\underline{e}_{t}. \end{cases}$$



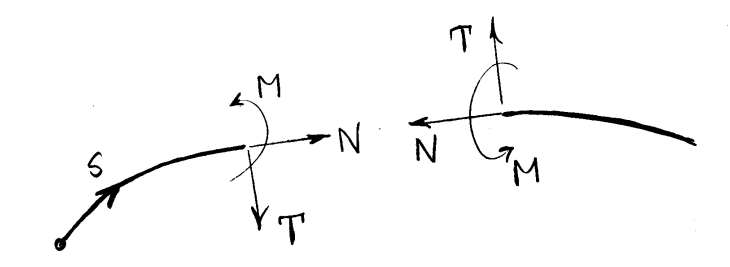
Poiche le forze giacciono nel piono della trave, i momenti hanno asse momento ortogenale al piono della trave, e quindi risulta:

$$\begin{cases} \underline{f} = q \, \underline{e}_y + p \, \underline{e}_z \\ \underline{m} = m \, \underline{e}_x \end{cases}$$
 (for ze)



$$\begin{cases} \underline{F} = T \underline{e}_y + N \underline{e}_z \\ \underline{M} = M \underline{e}_x \end{cases}, \quad \text{(carafteristiche della solle citazione)}$$

e qindi non vi sono momenti torcenti.



In tali ipotesi si ha:

$$\underline{e}_{t} \times \underline{F} = \underline{e}_{t} \times (\underline{T}\underline{e}_{y} + \underline{N}\underline{e}_{t})$$

$$= \underline{T}\underline{e}_{t} \times \underline{e}_{y} + \underline{N}\underline{e}_{t} \times \underline{e}_{t}$$

$$= - \underline{T}\underline{e}_{x} .$$

Inoltre, le componenti di $\frac{dE}{ds}$ risultano:

$$\frac{dE}{ds} = \left(\frac{dT}{ds} - cN\right)\underline{e}_y + \left(\frac{dN}{ds} + cT\right)\underline{e}_z,$$

ed infine, data che ex e un vettere ostante, si ha:

$$\frac{dM}{ds} = \frac{dM}{ds} \, \underline{e}_x .$$

Le due equazioni indefinite di equilibrio (vettoriali) si riducano allo a alle seguenti equazioni scalari:

$$\frac{dE}{ds} + \underline{f} = \underline{0} \implies \begin{cases} 0 = 0 \\ \frac{dT}{ds} - cN + 9 = 0 \\ \frac{dN}{ds} + cT + p = 0 \end{cases},$$

$$\frac{d\underline{M}}{ds} + \underline{e}_{t} \times \underline{F} + m = \underline{0} \implies \begin{cases} \frac{d\underline{M}}{ds} - 7 + m = 0 \\ 0 = 0 \end{cases},$$

$$0 = 0$$

di cui solo 3 significative. Ricordiano che l'equilibrio vale nella configurazione deformata e che quindi c e' da intendersi quale curvatura dell'asse deformato. In generale, l'asse deformato della trave e' curvo anche se l'asse indeformato e' rettilineo, e dunque, se le déformazioni sono grandi, le equazioni indefinite di equilibrio contengono ancora i termini dipendenti dalla curvatura dell'asse deformato. Se, invece, le deformazioni sono piccole l'asse deformato si confonde con l'asse indeformato e, se questo e' rettilineo, le

equazioni indefinite divengono (c = 0):

$$\frac{dN}{dR} + P = 0$$

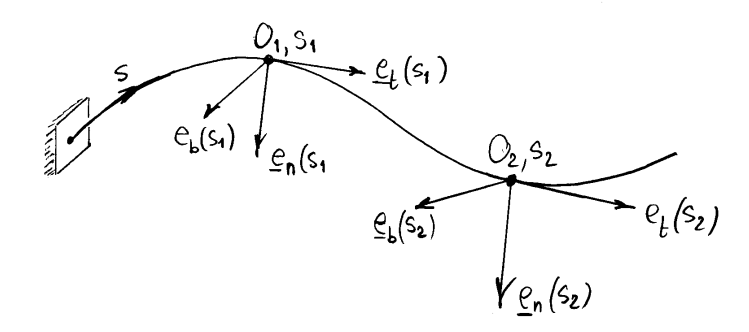
$$\frac{dT}{dR} + 9 = 0$$
Asse indeformation

reftilives e picole

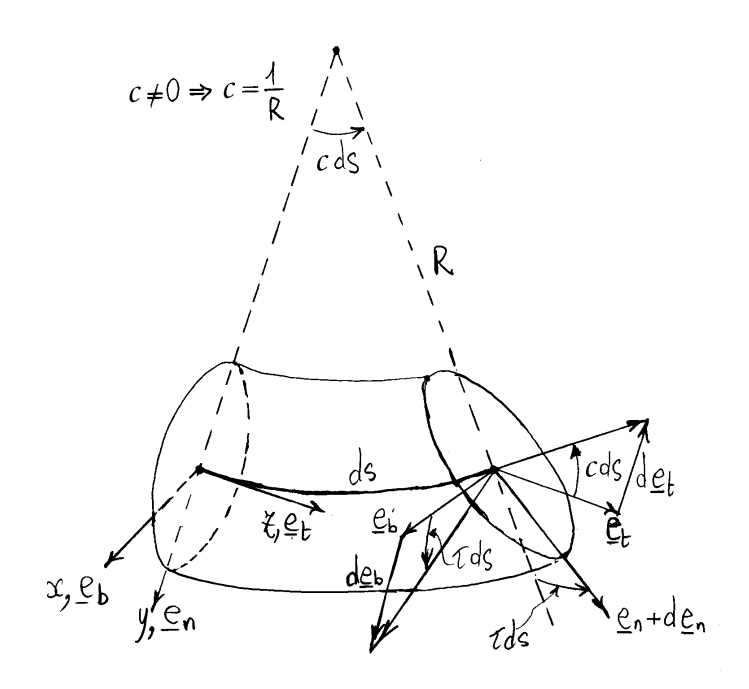
deformazioni

$$\frac{dM}{dR} + m - T = 0$$

1.3 Geometria della trave spaziale



A meno di infinitesimi di ordine superiore in ds, la linez d'asse, nell'intorno di un punto, e' contenuta nel piano osculatore.



$$\begin{cases} \frac{d \, \underline{e}_b}{ds} = \mathcal{L} \, \underline{e}_n \\ \frac{d \, \underline{e}_t}{ds} = -c \, \underline{e}_n \\ \frac{d \, \underline{e}_n}{ds} = c \, \underline{e}_t - \mathcal{L} \, \underline{e}_b \end{cases}$$

S = ascissa cur vilinea (distanza di O da un punto di riferimento della linea d'asse, valutata lungo la linea d'asse) O, Eb, En, Et base locale

Oxyx terna locale

c = curatura dell'asse geometrico della trave

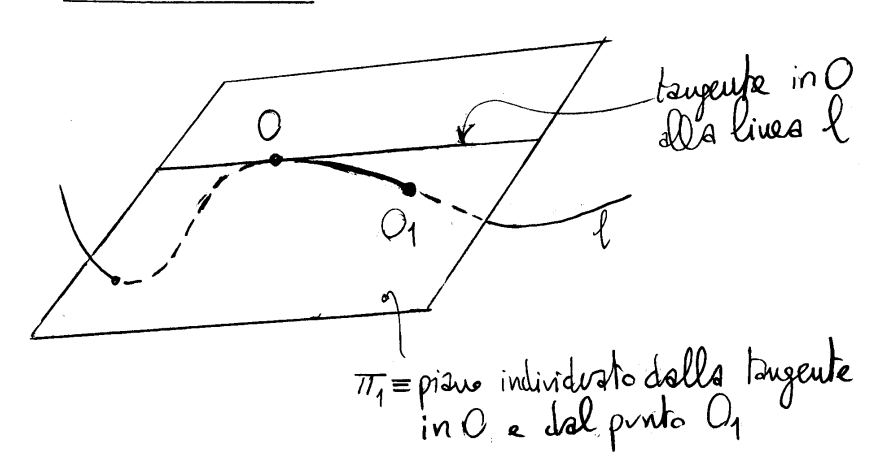
€t = tangente alla linea d'asse (versore).

en = normale principale (versore)

Pb = binormale (versore)

R = raggio di curvatura

Piano osculatore



Pisus osculatore = lim 7/1

A mono di infiniterimi di ordine superiore al primo, rispetto all'incremento AS dell'ascissa curvilines, la cura coincide con la tangente.

Sempre a meno di infinitesimi di ordine superiore al primo rispetto a ΔS , la curva appartiene al piano osculatore

del piano osculatore ortogonale alla tangente

Se $\underline{V}(s)$ e' una funzione vettoriale della aguissa curviliver s e se $V_{\mathbf{x}}(s)$, $V_{\mathbf{y}}(s)$, $V_{\mathbf{z}}(s)$ some le sue componenti nel sistema locale $G_{\mathbf{x},\mathbf{y},\mathbf{x}}$: $\underline{V}(s) = V_{\mathbf{x}} \underline{e}_{\mathbf{b}} + V_{\mathbf{y}} \underline{e}_{\mathbf{n}} + V_{\mathbf{z}} \underline{e}_{\mathbf{t}} ,$

risulta:

$$\frac{dv}{ds} = \frac{dv_x}{ds} e_b + \frac{dv_y}{ds} e_n + \frac{dv_x}{ds} e_t$$

$$+ v_x \frac{de_b}{ds} + v_y \frac{de_n}{ds} + v_z \frac{de_t}{ds} .$$

Quindi :

$$\frac{d\underline{v}}{ds} = \left(\frac{d\underline{v}_{x}}{ds} - \underline{v}_{y} \cdot \zeta\right) \underline{e}_{b}$$

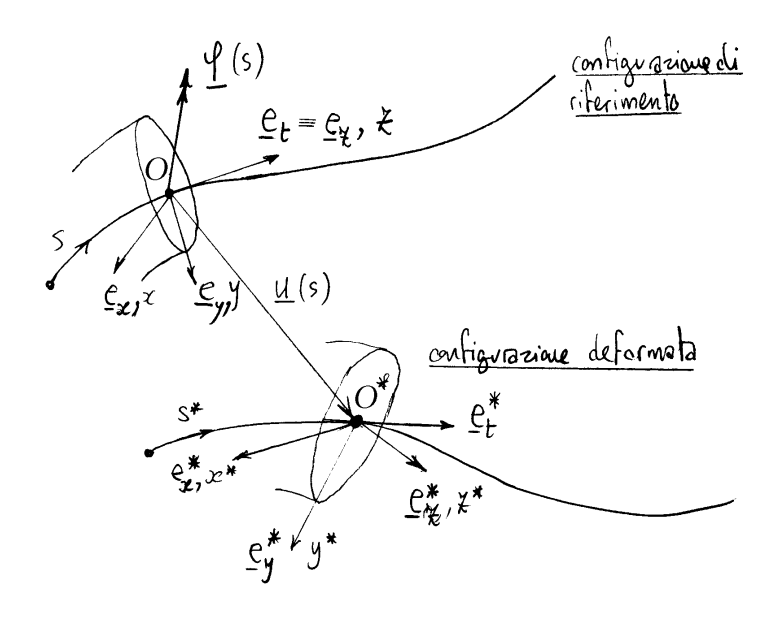
$$+ \left(\frac{d\underline{v}_{y}}{ds} - \underline{v}_{z} \cdot c + \underline{v}_{x} \cdot \zeta\right) \underline{e}_{n}$$

$$+ \left(\frac{d\underline{v}_{z}}{ds} + \underline{v}_{y} \cdot c\right) \underline{e}_{t}$$

Se la cura e piava $(\tau=0)$ risulta:

$$\frac{d\underline{v}}{ds} = \frac{dv_x}{ds} \, \underline{e}_b + \left(\frac{dv_y}{ds} - v_z \, c\right) \underline{e}_n + \left(\frac{dv_z}{ds} + v_y \, c\right) \underline{e}_t .$$

1.4 Cinematica infinitesima della trave spaziale



 $\int \underline{U} = \text{vettore spostamento dei punti dell'asse}$ $\underline{U} = \text{vettore rotazione della sezione retta}$

$$\begin{cases}
\underline{e}_t = \text{tangente alla lines d'osse} \\
\underline{e}_x = \text{normale alla sezione retta}
\end{cases}$$

1.4.1 Ipotesi di piccoli spostamenti

L'ipotesi di picolispostamenti significa che sono trascurati i termini di ordine superiore al primo rispetto ad un parametro reale 1 amplificatore degli spostamenti. Ovverossia, se u e proppe= sentino de compi di spostamenti generalizzati (sposta menti dei proti della linea d'asse e ratacioni delle sezioni rette), elles du e dy, on dER, appresentano tetti i possibili campi nella direzione" individuata da u e q. Vus qualunque quantità cinematica dipendente quindi da y e q, e' scritta a meno di infinitegium di ordine superiore al primo in d. Una prima consequenza e che il gradiente

desli spostamenti", appresentato delle due derivate:

$$\frac{du}{ds}$$
, $\frac{dy}{ds}$,

e delle stesse ordine degli spostamenti:

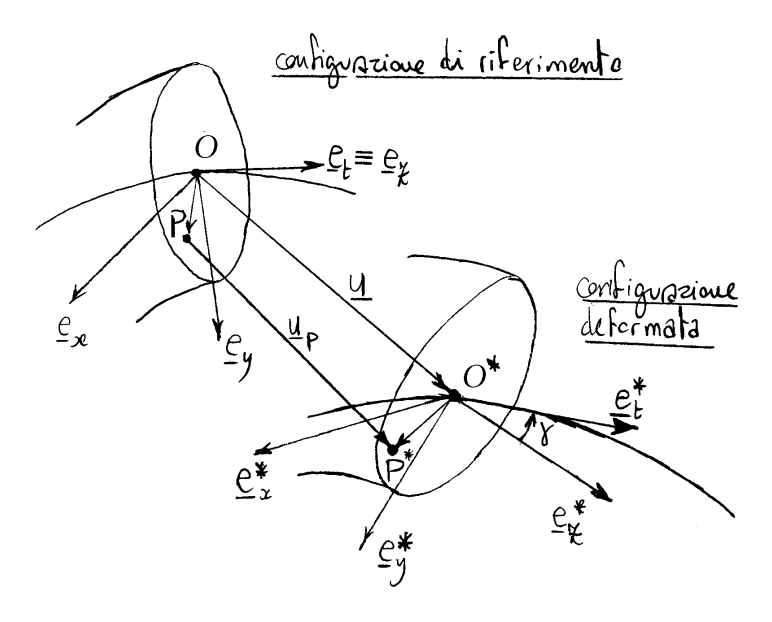
$$\int \frac{d(\lambda \, \underline{u})}{ds} = \lambda \, \frac{d\underline{u}}{ds}$$

$$\int \frac{d(\lambda \, \underline{q})}{ds} = \lambda \, \frac{d\underline{q}}{ds}$$

Uns secondes consequences è che l'equilibrio puol essere scritto nella configurazione indeformata.

1.4.2 Spostamenti dei punti della sezione retta

$$\underline{\mathbf{u}}_{\mathsf{P}} = \underline{\mathsf{u}} + \underline{\mathbf{\psi}} \times (\mathsf{P} - \mathsf{O})$$



La normale ex alla sezione retta vota rigidamente come la sezione retta. Nell'ipotesi di piccoli spostamenti:

$$e_{\star}^{*} = e_{\star} + \underline{\Psi} \times \underline{e}_{\star} = \underline{e}_{t} + \underline{\Psi} \times \underline{e}_{t}$$

1.4.3 Decomposizione degli spostamenti

$$\begin{cases}
\underline{u} = \underline{v} + \underline{w}\underline{e}_t \\
\underline{v} = \underline{v} + \underline{v}\underline{e}_t
\end{cases}$$
valida per l'ipotesi di

pricale de formazioni (altrinenti
i vettori rotazione non saus sommabili)

IN = spostamento del baricentro lungo la linea chasse

V = spostamento del baricentro sulla sezione retta

$$\int \underline{U} = u \, \underline{e}_{x} + \underline{v} \, \underline{e}_{y}$$

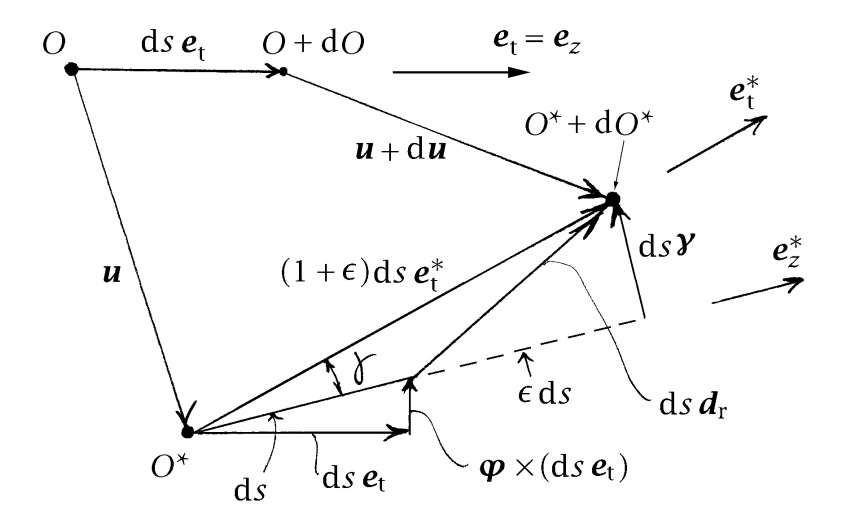
$$\int_{-f}^{f} = \int_{x}^{f} \underline{e}_{x} + \int_{y}^{f} \underline{e}_{y}$$

1.5 Deformazione

1.5.1 Spostamento relativo per unità di linea

La prima misura (vettoriale) di deformazione riguarda lo *spostamento relativo per unità di linea* tra due sezioni della trave. Tuttavia lo spostamento relativo per unità di linea non rappresenta direttamente una misura di deformazione, poiché non si annulla nel caso di un moto rigido. A tale scopo occorre depurarlo del contributo dovuto alla rotazione rigida della sezione retta. Detto $d_{\rm r}$ tale spostamento relativo depurato, e con riferimento allo schema riportato, risulta:

$$d_{\rm r} = \frac{\mathrm{d} u}{\mathrm{d} s} - \boldsymbol{\varphi} \times \boldsymbol{e}_{\rm t}.$$



Per l'ipotesi di piccoli spostamenti, proiettando il vettore d_r sulla direzione normale alla sezione retta nella configurazione deformata si ottiene *la dilatazione della linea d'asse* ϵ :

$$\epsilon \approx d_{\rm r} \cdot e_z^*$$
.

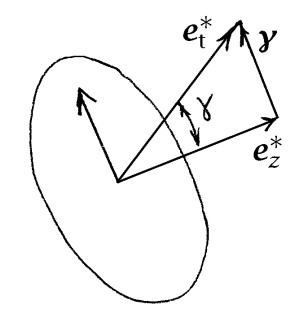
Tenendo poi conto che i versori normale materiale \boldsymbol{e}_z e spaziale \boldsymbol{e}_z^* differiscono di un infinitesimo del primo ordine negli spostamenti, la proiezione di \boldsymbol{d}_r può essere fatta sulla direzione normale alla sezione retta nella configurazione indeformata e quindi tangente alla linea d'asse indeformata:

$$\epsilon \approx \mathbf{d}_{\mathrm{r}} \cdot \mathbf{e}_{\mathrm{t}} = \frac{\mathrm{d} \mathbf{u}}{\mathrm{d} s} \cdot \mathbf{e}_{\mathrm{t}}.$$

Si noti ora che *lo scorrimento* y *tra linea d'asse e sezione* retta vale la differenza tra i versori delle direzioni tangente e normale alla sezione retta nella configurazione deformata:

$$\boldsymbol{\gamma} = \boldsymbol{e}_{\mathsf{t}}^* - \boldsymbol{e}_{\mathsf{z}}^*.$$

Tale differenza coincide, come può dedursi dallo schema riportato, con la componente del vettore d_r sulla sezione



nella configurazione deformata per cui:

$$\boldsymbol{\gamma} = \left(\frac{\mathrm{d}\boldsymbol{u}}{\mathrm{d}s} - \boldsymbol{\varphi} \times \boldsymbol{e}_{t}\right) - \left(\frac{\mathrm{d}\boldsymbol{u}}{\mathrm{d}s} \cdot \boldsymbol{e}_{t}\right) \boldsymbol{e}_{t}.$$

In funzione della dilatazione ϵ e dello scorrimento γ lo spostamento relativo depurato d_{Γ} risulta quindi:

$$d_{\rm r} = \gamma + \epsilon e_{\rm t}$$

e ne consegue:

$$\epsilon \mathbf{e}_{t} + \mathbf{y} = \frac{\mathrm{d}\mathbf{u}}{\mathrm{d}s} - \mathbf{\varphi} \times \mathbf{e}_{t}$$

Data che il vettore scorrimento y e' parallele alla sezione retta, lo si puo' scomporre in due componenti:

$$Y = Y_x \, \underline{e}_x + Y_y \, \underline{e}_y ,$$

dove tre e sy appresentano gli scorrimenti la lives d'asse e gli assi coordinati ze ed y giacenti sulla sezione retta. Inoltre:

$$\frac{1}{2} \times \underline{e}_{t} = \begin{vmatrix} \underline{e}_{x} & \underline{e}_{y} & \underline{e}_{z} \\ \underline{\varphi}_{x} & \underline{\varphi}_{y} & \underline{\psi} \end{vmatrix} = \underline{\varphi}_{x} - \underline{\varphi}_{x} \underline{e}_{y},$$

$$\frac{d\underline{u}}{ds} = \left(\frac{d\underline{u}}{ds} \cdot \underline{e}_{x}\right) \underline{e}_{x} + \left(\frac{d\underline{u}}{ds} \cdot \underline{e}_{y}\right) \underline{e}_{y} + \left(\frac{d\underline{u}}{ds} \cdot \underline{e}_{t}\right) \underline{e}_{t}.$$

avindi si ottiene:

$$\begin{cases} \mathcal{X}_{\mathbf{x}} = \frac{d\underline{u}}{ds} \cdot \underline{e}_{\mathbf{x}} - \mathcal{Y}_{\mathbf{y}} \\ \mathcal{X}_{\mathbf{y}} = \frac{d\underline{u}}{ds} \cdot \underline{e}_{\mathbf{y}} + \mathcal{Y}_{\mathbf{x}} \end{cases}$$

1.5.2 Curvatura

Nel caso di piccle deformazioni i vettori rotazione sono sommabili. La rotazione relativa, per unito' di lunghezza, ta due sezioni rette della trave vale dunque:

$$\underline{\kappa} = \frac{d\underline{y}}{ds}$$

la curratura globale k si scompone in una quota

torcente perpendicolare alla sezione retta ed in ma quota flettente giacente sulla sezione retta:

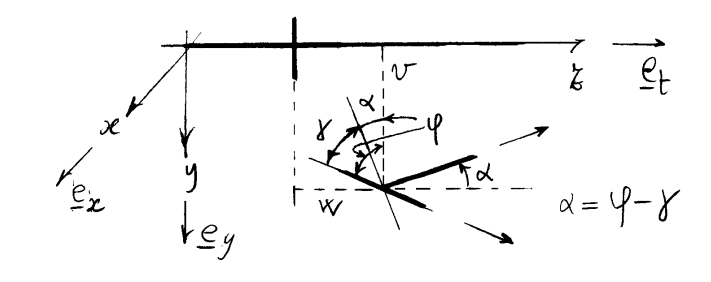
$$K = K_f + \Theta \underline{e}_f$$
, $\begin{cases} K_f = \text{constan Ressionale} \\ \Theta = \text{digolo unitario di} \\ \text{torsione} \end{cases}$

La curstus flettente \underline{K}_f puo' poi somporsi nelle componenti rispetto agli assi $x \in y$:

$$\underline{K}_{f} = K_{x} \underline{e}_{x} + K_{y} \underline{e}_{y}$$
.

1.5.3 Trave piana ad asse rettilineo

$$\underline{\mathcal{Y}} = \mathcal{Y} \, \underline{e}_{y} \,, \qquad \underline{\mathcal{Y}} = \mathcal{Y} \, e_{x} \,, \qquad \underline{K} = \underline{K}_{z} \, \underline{e}_{z} \,.$$



$$\mathcal{E} = \left(\frac{d\underline{u}}{dz}\right) \cdot \underline{e}_{t} = \frac{d\underline{w}}{dz}$$

$$\mathcal{E} = \left(\frac{d\underline{u}}{dz}\right) \cdot \underline{e}_{y} + \varphi = \frac{d\underline{v}}{dz} + \varphi$$

$$\mathcal{E}_{f} = \frac{d\underline{\varphi}}{dz} \quad \left(\text{corration flessionsle}\right)$$

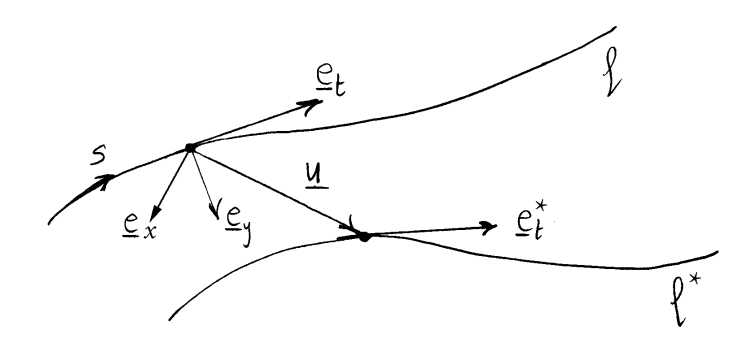
$$\alpha = \psi - \delta = -\frac{dv}{d\xi}$$

Curvatura geometrica della linea d'asse deformata

$$k_{2} = \frac{dx}{dx} = -\frac{d^{2}v}{dx^{2}}$$

1.6 Principio dei lavori virtuali

Sid della ma generica configurazione & di una frave spaziale. Tale configurazione può essere una qualunque configurazione deformata che, comunque, nell'ipotesi di piccoli spostamenti coincide con la configurazione indeformata.



Sia poi dato in sistema di forze esterne $\underline{f}(s)$, $\underline{m}(s)$, \underline{f}_0 , \underline{M}_0 , \underline{f}_1 , \underline{f}_2 , \underline{f}_3 , \underline{f}_4 , \underline

$$\frac{dF}{ds} + F = Q$$

$$\frac{dM}{ds} + m = -e_{t} \times F$$

$$F(0) = -f_{0}$$

$$F(1) = f_{1}$$

$$M(1) = M_{1}$$

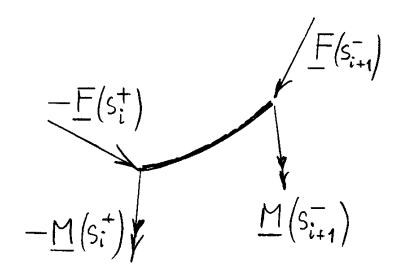
$$M_{1}$$

$$M_{2}$$

$$M_{3}$$

$$\begin{cases} \underline{F}(s_{i}^{+}) - \underline{F}(s_{i}^{-}) + \underline{J}_{i} = \underline{Q} \\ \underline{M}(s_{i}^{+}) - \underline{M}(s_{i}^{-}) + \underline{M}_{i} = \underline{Q} \end{cases}$$

$$i = 1, ... n$$



Sia infine dato un sistema di spostamenti virtuali u, y con le associate deformazioni virtuali E, K, Kf. Uno spostamento virtuale e, per definizione, la parte lineare (o parte prima) di uno spostamento possibile e invertibile. Possibile significa in accordo con i vincli del problema.

Gli spostamenti e la deformazione virtuali saddisfano le equazioni di congrenza linearizzate:

$$\begin{cases} \underline{Y} + \varepsilon \underline{e}_{t} = \frac{d\underline{y}}{ds} - \underline{y} \times \underline{e}_{t} \\ \underline{K} = \frac{d\underline{y}}{ds} \end{cases}.$$

Sotto tali ipotesi, posto $s_0=0$ e $s_{n+1}=\ell$, il lavoro virtuale delle forze esterne per gli spostamenti virtuali vale:

$$L_{e} = \int_{0}^{\ell} \left(\underbrace{\underline{f} \cdot \underline{u}}_{l} + \underbrace{\underline{m} \cdot \underline{q}}_{l} \right) ds + \underbrace{\underline{M}}_{\ell} \cdot \underline{u}(\ell) + \underbrace{\underline{M}}_{0} \cdot \underline{u}(0)$$

$$+ \underbrace{\underline{M}}_{\ell} \cdot \underbrace{\underline{q}(\ell)}_{l} + \underbrace{\underline{M}}_{0} \cdot \underbrace{\underline{q}(0)}_{l} + \underbrace{\underline{\Sigma}}_{i=1} \left(\underbrace{\underline{M}}_{i+1} \cdot \underbrace{\underline{M}}_{i} \cdot \underbrace{\underline{q}(s_{i})}_{l} + \underbrace{\underline{M}}_{i} \cdot \underbrace{\underline{q}(s_{i})}_{l} \right)$$

$$= \int_{0}^{\ell} \left(\underbrace{\underline{F} \cdot \underline{u}}_{l} + \underbrace{\underline{m} \cdot \underline{q}}_{l} \right) ds$$

$$+ \underbrace{\underline{\Sigma}}_{i=0}^{0} \left\{ \underbrace{\underline{F}(s_{i+1})}_{l+1} \cdot \underbrace{\underline{q}(s_{i+1})}_{l} - \underbrace{\underline{F}(s_{i})}_{l+1} \cdot \underbrace{\underline{q}(s_{i})}_{l} \right\}$$

$$= \int_{0}^{\ell} \left(\underbrace{\underline{f} \cdot \underline{u}}_{l} + \underbrace{\underline{m} \cdot \underline{q}}_{l} \right) + \underbrace{\underline{\Sigma}}_{i=0}^{0} \underbrace{\int_{s_{i}}^{s_{i+1}} \underbrace{\underline{d}}_{l} \underbrace{\underline{d}}_{l} (\underbrace{\underline{F} \cdot \underline{u}}_{l} + \underbrace{\underline{M} \cdot \underline{q}}_{l}) \right) ds$$

$$= \int_{0}^{\ell} \left(\underbrace{\underline{d}}_{l} \underbrace{\underline{E}}_{l} + \underbrace{\underline{F}}_{l} \right) \cdot \underbrace{\underline{u}}_{l} + \underbrace{\underline{d}}_{l} \underbrace{\underline{M}}_{l} + \underbrace{\underline{M}}_{l} \cdot \underbrace{\underline{d}}_{l} \underbrace{\underline{q}}_{l} \right) ds$$

$$+ \underbrace{\underline{F}}_{0} \cdot \underbrace{\underline{d}}_{l} \underbrace{\underline{u}}_{l} + \underbrace{\underline{M}}_{0} \cdot \underbrace{\underline{d}}_{l} \underbrace{\underline{q}}_{l} \right) ds$$

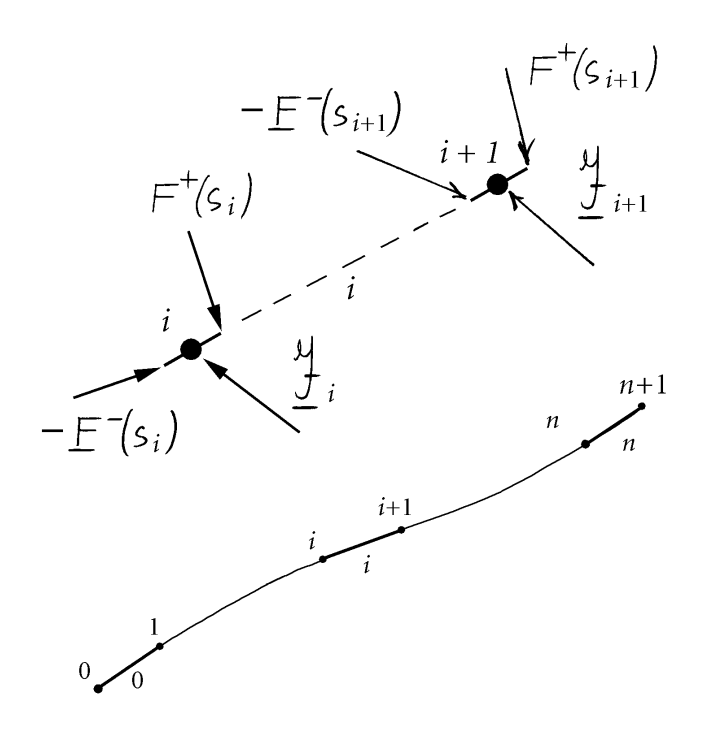
$$+ \underbrace{\underline{F}}_{0} \cdot \underbrace{\underline{d}}_{l} \underbrace{\underline{u}}_{l} + \underbrace{\underline{M}}_{0} \cdot \underbrace{\underline{d}}_{l} \underbrace{\underline{q}}_{l} \right) ds$$

$$= \int_{0}^{\ell} \left(\underbrace{\underline{d}}_{l} \underbrace{\underline{E}}_{l} + \underbrace{\underline{F}}_{l} \right) \cdot \underbrace{\underline{u}}_{l} + \underbrace{\underline{d}}_{l} \underbrace{\underline{d}}_{l} + \underbrace{\underline{M}}_{0} \cdot \underbrace{\underline{d}}_{l} \underbrace{\underline{q}}_{l} \right) ds$$

$$+ \underbrace{\underline{F}}_{0} \cdot \underbrace{\underline{d}}_{l} \underbrace{\underline{d}}_{l} + \underbrace{\underline{M}}_{0} \cdot \underbrace{\underline{d}}_{l} + \underbrace{\underline{M}}_{0} \cdot \underbrace{\underline{d}}_{l} \right) ds$$

$$= \int_{0}^{\ell} \left(-\underline{\Psi} \times \underline{e}_{t} \cdot \underline{F} + F \cdot \frac{d\underline{u}}{ds} + \underline{M} \cdot \frac{d\underline{\Psi}}{ds} \right) ds$$

$$= \int_{0}^{\ell} \left\{ \underline{F} \cdot \left(\frac{d\underline{u}}{ds} - \underline{\Psi} \times \underline{t} \right) + \underline{M} \cdot \frac{d\underline{\Psi}}{ds} \right\} ds.$$



divisione in n + 1 intervalli numerati da 0 a n

Risulta quindi:

$$L_{e} = \int_{0}^{\ell} \left\{ \left(N\underline{e}_{t} + \underline{T} \right) \cdot \left(\varepsilon \underline{e}_{t} + \underline{\lambda} \right) + \left(M_{t} \underline{e}_{t} + \underline{M} \underline{f} \right) \cdot \left(\underline{\Theta} \underline{e}_{t} + \underline{K} \underline{f} \right) \right\} dS,$$

e infine:

$$L_{e} = \int_{c}^{\ell} (N + \underline{T} \cdot \underline{Y} + M_{t} + \underline{M}_{f} \cdot \underline{K}_{f}) ds$$

Lavoro interno (definizione)

$$L_{i} = \int_{0}^{\ell} (N \varepsilon + \underline{T} \cdot \underline{Y} + M_{t} \Theta + \underline{M}_{f} \cdot \underline{K}_{f}) dS$$

$$= \int_{0}^{\ell} (N \varepsilon + T_{x} Y_{x} + T_{y} Y_{y} + M_{t} \Theta + M_{x} K_{x} + M_{y} K_{y}) dS$$

Il principio dei lavori virtuali puo quindi scriversi:

La grantità li viene chiamata <u>lavoro virtuale interno</u>, dato che dipende dalle caratteristiche della sollecitazione, che rappresentano appunto le azioni interne. Le caratteristiche della sollecitazione lavorano dunque per le caratteristiche della deformazione.

Si not i che un campo di spostamenti reale fivito soddista delle equazioni di cangruenza non lineari. Quindi, nell'ipotesi di grandi spostamenti, uno spostamento reale non rappresenta uno spostamento virtuale.

Invece, sotto l'ipotesi di piccoli spostamenti, uno spostamento reale soddista le equazioni linearizzate di congruenza e quindi rappresenta uno spostamento virtuale.

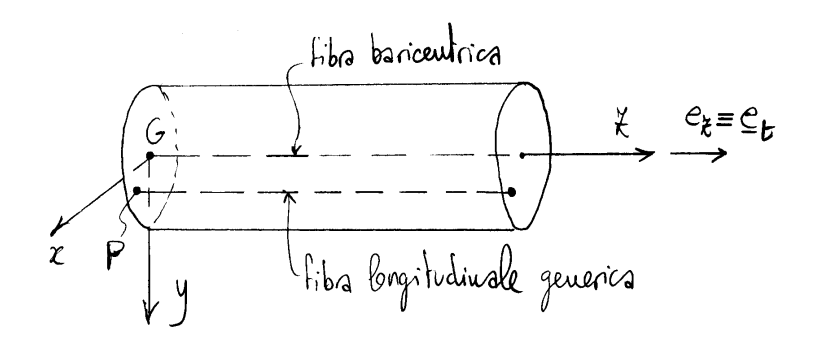
Capitolo 2

Legame costitutivo

Prevedendo il ruolo del baricentro G di centro delle sollecitazioni legate alle tensioni normali, nel seguito si farà riferimento alla linea d'asse baricentrica. Poiché si prevede anche che il centro di taglio C, quale centro delle sollecitazioni legate alle tensioni tangenziali, differirà in generale dal baricentro, riferiremo nel seguito tali sollecitazioni e le corrispondenti deformazioni ad un centro C distinto, in generale, dal baricentro.

2.1 Dilatazione e scorrimento della generica fibra longitudinale

Limitandosi al caso della trave ad asse rettilineo ed a sezione costante, cioè alla trave di forma cilindrica, si vogliono calcolare la dilatazione ϵ_P e lo scorrimento γ_P relativamente ad una fibra longitudinale passante per il punto P generico della sezione.



Si ricordi che la dilatazione ϵ_G e lo scorrimento γ della linea d'asse sono tali che:

$$\epsilon_G \mathbf{e}_t + \mathbf{y} = \frac{\mathrm{d}\mathbf{u}}{\mathrm{d}z} - \mathbf{\varphi} \times \mathbf{e}_z, \tag{1}$$

dove u e φ sono rispettivamente il vettore spostamento dei punti della linea d'asse e il vettore rotazione delle sezioni rette.

L'espressione che individua ϵ_P e γ_P è formalmente identica alla (1):

$$\epsilon_P \boldsymbol{e}_z + \boldsymbol{\gamma}_P = \frac{\mathrm{d}\boldsymbol{u}_P}{\mathrm{d}z} - \boldsymbol{\varphi} \times \boldsymbol{e}_z,$$
 (2)

dove ora u_P è il vettore spostamento dei punti della linea longitudinale per il punto P. Tenendo conto che:

$$\mathbf{u}_P = \mathbf{u} + \mathbf{\varphi} \times (P - G), \tag{3}$$

si ottiene:

$$\frac{\mathrm{d}\boldsymbol{u}_{P}}{\mathrm{d}z} = \frac{\mathrm{d}\boldsymbol{u}}{\mathrm{d}z} + \boldsymbol{k} \times (P - G) + \boldsymbol{\varphi} \times \frac{\mathrm{d}}{\mathrm{d}z}(P - G).$$

Poiché:

$$\frac{\mathrm{d}}{\mathrm{d}z}(P-G)=\mathbf{0},$$

si ottiene infine:

$$\frac{\mathrm{d}\boldsymbol{u}_{P}}{\mathrm{d}z} = \frac{\mathrm{d}\boldsymbol{u}}{\mathrm{d}z} + \boldsymbol{k} \times (P - G). \tag{4}$$

Sostituendo nella (2) si ottiene:

$$\epsilon_P \mathbf{e}_z + \mathbf{y}_P = \left(\frac{\mathrm{d}\mathbf{u}}{\mathrm{d}s} - \mathbf{\varphi} \times \mathbf{e}_z\right) + \mathbf{k} \times (P - G).$$

Utilizzando la (1) e mettendo k in componenti si ha poi:

$$\epsilon_P \mathbf{e}_z + \mathbf{y}_P = \epsilon_G \mathbf{e}_z + \mathbf{y} + \mathbf{k}_f \times (P - G) + \Theta \mathbf{e}_z \times (P - G)$$
,

e quindi:

$$\epsilon_P \mathbf{e}_z = \epsilon_G \mathbf{e}_z + \mathbf{k}_f \times (P - G), \qquad (5)$$

$$\boldsymbol{\gamma}_{P} = \boldsymbol{\gamma} + \boldsymbol{\Theta} \boldsymbol{e}_{z} \times (P - G) , \qquad (6)$$

oppure, in componenti:

$$\epsilon_P = \epsilon_G + k_{\mathcal{X}} y_P - k_{\mathcal{Y}} x_P, \tag{7}$$

$$\gamma_x^{\rm P} = \gamma_x - \Theta \gamma_P, \tag{8}$$

$$y_{x}^{P} = y_{y} + \Theta x_{P}, \tag{9}$$

dove x_P e y_P sono le coordinate del punto P nel sistema baricentrico.

Le equazioni (5) e (6) mostrano che la dilatazione ϵ e lo scorrimento γ dipendono dalla fibra considerata, a differenza della curvatura flessionale $k_{\rm f}$ e dell'angolo unitario di torsione Θ che dipendono solo dalla sezione retta. Poiché nulla obbliga a scegliere la stessa fibra di riferimento al fine della definizione di tali deformazioni, per non perdere in generalità nel seguito si continuerà ad utilizzare la fibra baricentrica per quel che riguarda il calcolo della dilatazione ϵ , mentre per il calcolo dello scorrimento γ si utilizzerà la fibra longitudinale passante da un punto C distinto in generale dal baricentro e che poi sarà fatto coincidere con il centro di taglio, quando questo sarà introdotto.

Alla scelta del punto *C* resta dunque associato un *vettore*

D di deformazione:

$$\mathbf{D} = \begin{cases} \epsilon \\ k_x \\ k_y \\ \Theta \\ \gamma_x^C \\ \gamma_y^C \end{cases}, \tag{10}$$

dove si sono indicate con γ_x^C e γ_y^C le componenti di scorrimento relative alla fibra longitudinale per il punto C.

A seguito della scelta del vettore di deformazione D occorre modificare di conseguenza il principio dei lavori virtuali. Dalla (6) scritta per C in luogo di P si ottiene lo scorrimento γ relativo alla fibra baricentrica in funzione di quello γ_C relativo alla fibra per C:

$$\boldsymbol{\gamma} = \boldsymbol{\gamma}_C - \boldsymbol{\Theta} \boldsymbol{e}_7 \times (C - G) \,. \tag{11}$$

Sostituendo questa espressione nel termine $M_t\Theta + T \cdot \gamma$ che compare nell'espressione del lavoro interno si ottiene:

$$M_{t}\Theta + T \cdot \gamma$$

$$= (M_{t}e_{z}) \cdot (\Theta e_{z}) + T \cdot \{\gamma_{C} - \Theta e_{z} \times (C - G)\}$$

$$= (M_{t}e_{z}) \cdot (\Theta e_{z}) - (\Theta e_{z}) \cdot \{(C - G) \times T\} + T \cdot \gamma_{C}$$

$$= \{M_{t}e_{z} - (C - G) \times T\} \cdot (\Theta e_{z}) + T \cdot \gamma_{C}$$

$$= (M_{C}e_{z}) \cdot (\Theta e_{z}) + T \cdot \gamma_{C} = M_{C}\Theta + T \cdot \gamma_{C},$$

dove $M_{\mathbb{C}}$ è il momento torcente valutato rispetto al centro C.

Si assuma allora un vettore S delle caratteristiche della

sollecitazione contenente il momento torcente $M_{\mathbb{C}}$ valutato rispetto al centro C in luogo di quello valutato rispetto al baricentro:

$$S = \begin{cases} N \\ M_X \\ M_Y \\ M_C \\ T_X \\ T_Y \end{cases}. \tag{12}$$

Ne risulta allora la seguente espressione del lavoro virtuale interno:

$$L_{vi} = \int_{\ell} (N\epsilon + \mathbf{M} \cdot \mathbf{k}_{f} + M_{C}\Theta + \mathbf{T} \cdot \mathbf{y}_{C}) ds$$

$$= \int_{\ell} (N\epsilon + M_{x}k_{x} + M_{y}k_{y} + M_{C}\Theta + T_{x}\mathbf{y}_{x}^{C} + T_{y}\mathbf{y}_{y}^{C}) ds$$

$$= \int_{\ell} \mathbf{S} \cdot \mathbf{D} ds.$$
(13)

2.1.1 Appendice (Trave ad asse curvo)

Nel caso di trave piana ad asse curvo il versore e'_t , tangente alla fibra longitudinale per P, coincide con il versore e_t tangente alla linea d'asse baricentrica.

Dimostrazione. Infatti:

$$P = G + x_P e_X + y_P e_V,$$

e dunque:

$$e'_{t} = \frac{dP}{ds'} = \frac{ds}{ds'} \frac{dP}{ds} = \frac{ds}{ds'} (e_{t} + cy_{P}e_{t}),$$

dove s' è l'ascissa curvilinea della fibra longitudinale per P e c è la

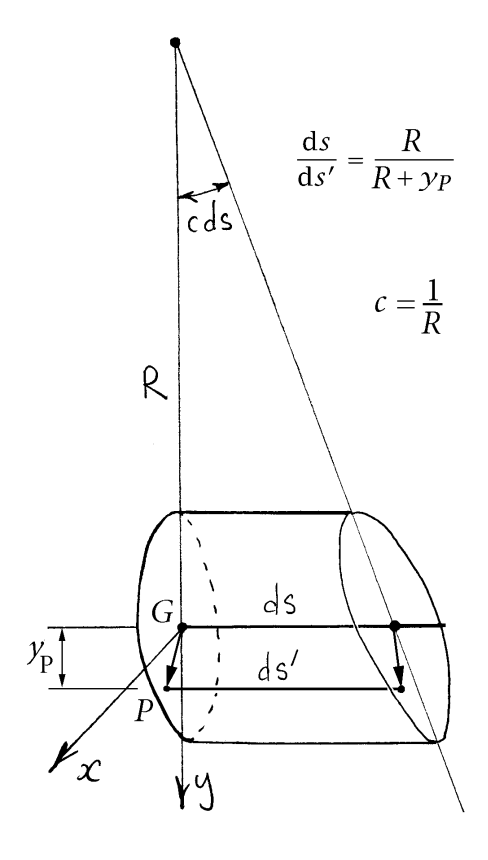
curvatura geometrica della linea d'asse baricentrica. Poiché, come noto, risulta:

$$\frac{\mathrm{d}s}{\mathrm{d}s'} = \frac{1}{1 + c\,y_P},$$

si ha infine l'asserto.

Ne consegue che i piani normali alla linea d'asse baricentrica sono normali anche alla linea longitudinale per P e le sezioni rette, nei due casi, coincidono. Nella cinematica basata sulla linea longitudinale per P quale linea d'asse risulta allora:

$$\epsilon_P \mathbf{e}_Z + \mathbf{y}_P = \frac{\mathrm{d} \mathbf{u}_P}{\mathrm{d} s'} - \mathbf{\varphi} \times \mathbf{e}_Z,$$



dove e_z è il versore normale alla sezione retta. Poiché:

$$\mathbf{u}_P = \mathbf{u} + \mathbf{\varphi} \times (P - G),$$

risulta:

$$\frac{\mathrm{d}\boldsymbol{u}_{P}}{\mathrm{d}s'} = \frac{1}{1 + c\boldsymbol{y}_{P}} \left(\frac{\mathrm{d}\boldsymbol{u}}{\mathrm{d}s} + \boldsymbol{k} \times (P - G) + c\boldsymbol{y}_{P}\boldsymbol{\varphi} \times \boldsymbol{e}_{z} \right),$$

avendo tenuto conto che:

$$\frac{d(P-G)}{ds'} = \frac{dP}{ds'} - \frac{ds}{ds'} \frac{dG}{ds}$$
$$= e_z - \frac{1}{1 + cy_P} e_z = \frac{cy_P}{1 + cy_P} e_z.$$

Si ottiene quindi:

$$\epsilon_P \mathbf{e}_Z + \mathbf{y}_P = \frac{1}{1 + c y_P} \left\{ \left(\frac{\mathrm{d} \mathbf{u}}{\mathrm{d} s} - \mathbf{\varphi} \times \mathbf{e}_Z \right) + \mathbf{k} \times (P - G) \right\},$$

e infine:

$$\begin{cases} \epsilon_P \mathbf{e}_Z &= \frac{1}{1 + c y_P} \left\{ \epsilon_G \mathbf{e}_Z + \mathbf{k}_{\mathrm{f}} \times (P - G) \right\}, \\ \mathbf{y}_P &= \frac{1}{1 + c y_P} \left\{ \mathbf{y} + \Theta \mathbf{e}_Z \times (P - G) \right\}. \end{cases}$$

Se $cy_P \ll 1$ allora $1 + cy_P \approx 1$ e si riottengono, approssimativamente, i risultati della trave ad asse rettilineo.

Se l'asse della trave è sghembo e se e_t' indica ancora il versore tangente alla fibra longitudinale per P, risulta:

$$\mathbf{e}'_{\mathsf{t}} = \frac{\mathrm{d}P}{\mathrm{d}s'} = \frac{\mathrm{d}s}{\mathrm{d}s'} \left\{ (1 + cy_P)\mathbf{e}_{\mathsf{t}} + \tau(x_P\mathbf{e}_{\mathcal{Y}} - y_P\mathbf{e}_{\mathcal{X}}) \right\},$$

dove τ è la torsione della linea d'asse baricentrica. Poiché $\textbf{\emph{e}}_t'$ è un versore, deve risultare:

$$\left(\frac{ds}{ds'}\right)^{2}\left\{(1+cy_{P})^{2}+\tau^{2}(x_{P}^{2}+y_{P}^{2})\right\}=1,$$

e auindi:

$$\frac{\mathrm{d}s}{\mathrm{d}s'} = \frac{1}{\sqrt{(1+cy_P)^2 + \tau^2 r^2}},$$

dove:

$$r = |P - G| = \sqrt{x_P^2 + y_P^2}.$$

Si ha allora:

$$e'_{t} = \frac{1 + cy_{P}}{\sqrt{(1 + cy_{P})^{2} + \tau^{2}r^{2}}} e_{t}$$

$$+ \frac{\tau}{\sqrt{(1 + cy_{P})^{2} + \tau^{2}r^{2}}} (x_{P}e_{y} - y_{P}e_{x}),$$

e, se $\tau \neq 0$, risulta $e_{\rm t}' \neq e_{\rm t}$. Al passare dalla linea d'asse baricentrica alla fibra longitudinale per P i piani delle sezioni rette si modificano. Ne consegue che nella nuova descrizione cinematica i piani delle sezioni rette originali non si conservano in generale piani e che le due descrizioni cinematiche generano due campi di spostamento che non differiscono, in generale, di un semplice moto rigido. Di conseguenza l'analisi precedente perde di significato. Se invece risulta $cy_P \ll 1$ e $\tau \ll 1$, cioè se sia la curvatura che la torsione della linea d'asse baricentrica sono "piccole, si riottengono, approssimativamente, i risultati della trave ad asse rettilineo.

2.2 Legame costitutivo elastico lineare

Il legame elastico lineare più generale possibile si scrive:

$$S = \mathbb{E}[D]$$
,

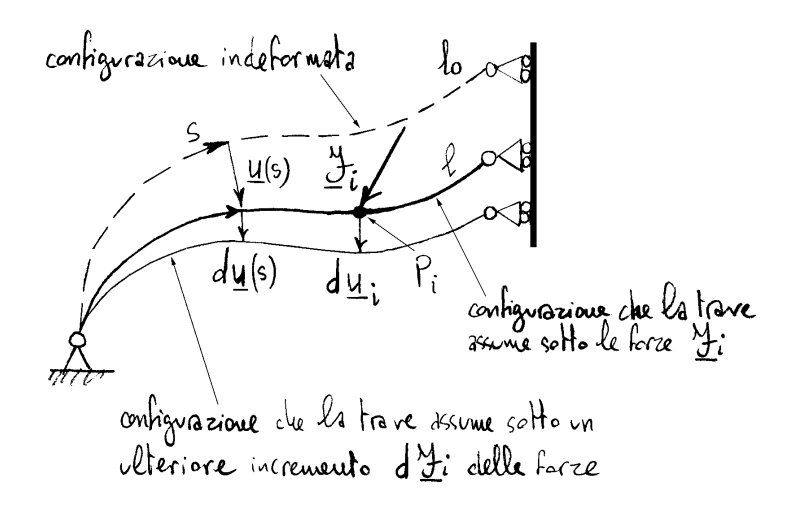
dove \mathbb{E} è la matrice di elasticità di dimensione 6×6 .

2.3 Lavoro di deformazione

Si ricorda che il <u>lavoro</u> di <u>deformazione</u> rappresenta l'effettiva lavoro che le forze applicate ad una struttura compiono per effetto degli spostamenti che le stesse forze provocano.

Sotto l'azione dei carichi \underline{f} , \underline{m} , $\underline{\mathcal{H}}_i$, $\underline{\mathcal{M}}_i$ (i=0,1,...n,l) la trave assume una configurazione equilibrata distribita da quella naturale di riferimento.

Tale configurazione e' individuata dagli sportamenti



<u>u</u>(s) dei profi della linea d'asse e dalle rotazioni φ delle sezioni rette.

Siano S(N, T, Mc, Mf) e D(E, Yc, O, Kf)

le caratteristiche della sollecitazione e della deformazione
consequenti ai dati carichi esterni, e siano dD

(dE, dYc, dO, dKf) gli incrementi di deformazione
consequenti ad un incremento df, dm, dHi, dMi
dei carichi esterni. Per il principio dei lavori virtuali

l'incremento del lavoro dei carichi esterni che
rappresenta il lavoro di deformazione:

$$dL_{d} = \int_{0}^{\ell} \left(\underline{f} \cdot d\underline{u} + \underline{m} \cdot d\underline{q} \right) ds + \sum_{i=0}^{n} \left(\underline{f} \cdot d\underline{u} + \underline{m} \cdot d\underline{q} \right) ds$$

vale:

$$dL_{d} = \int_{0}^{\ell} \underline{S} \cdot d\underline{D} dS$$

$$= \int_{0}^{\ell} (Nd\ell + \underline{T} \cdot d\underline{\ell}_{C} + M_{C} d\Theta + \underline{M}_{f} \cdot d\underline{k}_{f}) dS.$$

Questa espressione differenziale è effettivamente nota se e noto il percorso di carico e deformazione a cui e soggetta la trave. Infatti, anche nel caso in cui le forze applicate sono indipendenti dalla deformazione e quindi note a priori, gli incrementi di spostamento dei pruti caricati, in corrispondenza ad un certo livello raggiunto dai carichi, sono noti solo se e noto il percorso di deformazione susseguente all'applicazione di quei carichi.

Se il percorso di carico-deformazione a partire da una configurazione la fino ad una configurazione la, su sseguente all'applicazione di certi carichi, e nota, l'espressione disferenziale puo essere integrata (lungo il percorso) attenendane il lavoro di deformazione tatale lungo il dato percorso:

$$L_{d} = \int_{0}^{\ell} \left(\int_{\ell_{1}}^{\ell_{2}} \underline{\mathbf{S}} \cdot d\underline{\mathbf{D}} \right) d\mathbf{s}.$$

2.4 Energia elastica di deformazione

Affinchè esista una energia elastica di deformazione il lavoro di deformazione non deve dipendere dal percorso, ma solo dagli stati iniziali e finali.
Questo significa du dLd deve essere un

differenziale esatto, e quindi che esiste una funzione energia potenziale elastica per unità di linea $\phi(\underline{D})$ funzione della sola deformazione tale che:

$$d\phi = \underline{S} \cdot d\underline{D}$$

o, per esteso:

$$d\phi = Nd\epsilon + \underline{T} \cdot d\underline{Y}_C + M_C d\theta + \underline{M}_f \cdot d\underline{K}_f.$$

Ne consegue:

$$\underline{\mathbf{S}} = \frac{\partial \emptyset}{\partial \underline{\mathbf{D}}} \, \, \prime$$

oppure, per esteso:

$$\begin{cases}
N = \frac{\partial \emptyset}{\partial \varepsilon} \\
T = \frac{\partial \emptyset}{\partial \chi_{C}}
\end{cases} \Rightarrow
\begin{cases}
T_{x} = \frac{\partial \emptyset}{\partial \chi_{x}^{C}} \\
T_{y} = \frac{\partial \emptyset}{\partial \chi_{y}^{C}}
\end{cases}$$

$$M_{C} = \frac{\partial \emptyset}{\partial \Theta} \\
M_{F} = \frac{\partial \emptyset}{\partial \kappa_{F}}
\Rightarrow
\begin{cases}
M_{x} = \frac{\partial \emptyset}{\partial \kappa_{x}} \\
M_{y} = \frac{\partial \emptyset}{\partial \kappa_{y}}
\end{cases}$$

Nel caso di elasticità lineare deve risultare:

$$\frac{\partial \boldsymbol{\phi}}{\partial \boldsymbol{D}} = \mathbb{E}\left[\boldsymbol{D}\right], \qquad \frac{\partial \boldsymbol{\phi}}{\partial D_i} = \sum_j \mathbb{E}_{ij} D_j,$$

e quindi:

$$\mathbb{E}_{ij} = \frac{\partial^2 \phi}{\partial D_i \partial D_i}.$$

L'integrazione è possibile se e solo se:

$$\frac{\partial^2 \phi}{\partial D_i \partial D_i} = \frac{\partial^2 \phi}{\partial D_i \partial D_i},$$

cioè se e solo se la matrice di elasticità è simmetrica:

$$\mathbb{E} = \mathbb{E}^{\mathsf{T}}, \qquad \mathbb{E}_{ij} = \mathbb{E}_{ji}.$$

Si integri allora dallo stato naturale allo stato finale caratterizzato dalla deformazione D e dalla sollecitazione $S = \mathbb{E}[D]$. Uno stato intermedio vale λD e λS , con $\lambda \in [0,1]$. Ad un incremento $\mathrm{d}D = (\mathrm{d}\lambda)D$ di deformazione corrisponde l'incremento $\mathrm{d}\phi = \lambda(S \cdot D)\,\mathrm{d}\lambda$ dell'energia elastica di deformazione. Integrando si ottiene quindi:

$$\phi = \int_0^1 \lambda(\mathbf{S} \cdot \mathbf{D}) \, d\lambda = \frac{1}{2} \mathbf{S} \cdot \mathbf{D},$$

avendo scelto di porre $\phi(\mathbf{0}) = 0$. Inserendo il legame costitutivo elastico lineare si ottiene infine:

$$\boldsymbol{\phi} = \frac{1}{2} \boldsymbol{D} \cdot \mathbb{E} \left[\boldsymbol{D} \right].$$

la richiesta che il lavoro di deformazione gia

positivo (a partice dalla configurazione naturale) implica la definitezza positiva di E e la sua invertibilità. Detta \mathcal{L} la matrice inversa della \mathcal{E} :

$$C = E^{-1}$$

si ha quindi:

$$\underline{\mathbf{D}} = \mathbb{C}[\underline{\mathcal{S}}].$$

È anche assicurata l'existenza dell'energia complementare per unità di linea che vale:

$$\Psi = \frac{1}{2} \mathcal{S} \cdot \mathcal{C}[\mathcal{S}],$$

tale che:

$$\underline{\mathbf{D}} = \frac{\partial \Psi}{\partial \underline{\mathbf{S}}} \ ,$$

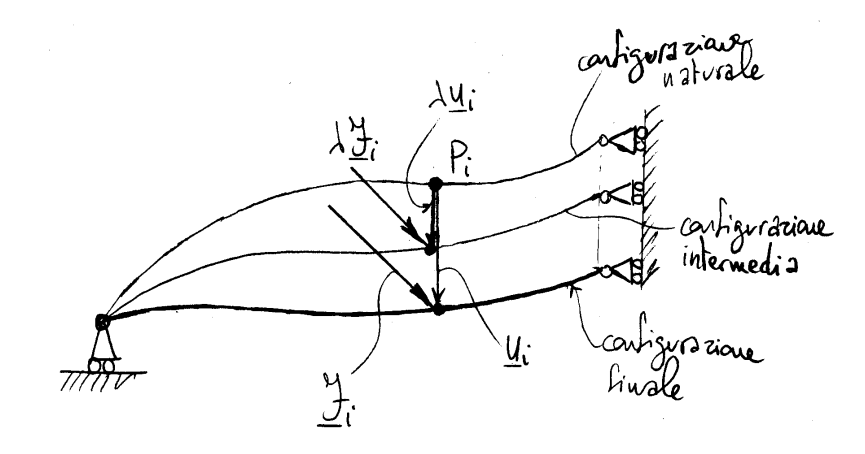
oppure, per esteso:

$$\begin{cases} \xi = \frac{\partial \Psi}{\partial N} \\ \delta_{x}^{C} = \frac{\partial \Psi}{\partial T_{x}} \end{cases}, \qquad \begin{cases} \Theta = \frac{\partial \Psi}{\partial M_{C}} \\ k_{x} = \frac{\partial \Psi}{\partial M_{x}} \end{cases} \\ k_{y} = \frac{\partial \Psi}{\partial M_{y}} \end{cases}$$

2.5 Teoremi sul lavoro di deformazione

2.5.1 Teorema di Clapeyron

Nell'ambito della elasticità lineare gli spostamenti sono proporzionali alle forze applieste. Se le forze Fi provocsuo gli spostamenti U: dei pruti di applicazione, le Poire à Ji, deve à e' un generico scalare, provocano gli spostamenti dui. Poiche il Cavoradi defonuscione e indipendente dal percorse, le si puo calcolare scegliende di incrementare totte le Porze in modo proporzionale fa loro, da zero fino al loro valore finale Fi. Uno stato intermedio è dunque individuato delle form 14; can 0<1<1.



Se alle force fivali corrispondono gli spostamenti Li allora alle force d'Li corrispondono gli spostamenti dui. L'incremento dei carichi lungo il percorso scelto vale dd Li e il conse= quente incremento degli spostamenti risulta dd Li. Ne conseque:

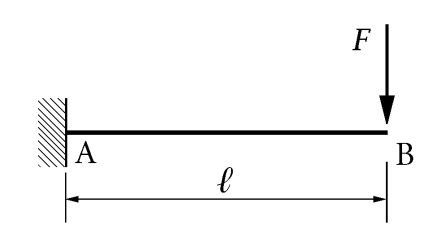
$$L_{d} = \sum_{i} \int_{0}^{1} (\lambda \mathcal{L}_{i}) \cdot (d\lambda \mathbf{u}_{i}) = \sum_{i} (\mathcal{L}_{i} \cdot \mathbf{u}_{i}) \int_{0}^{1} \lambda d\lambda,$$

e infine:

$$L_d = \frac{1}{2} \sum_{i} \mathcal{L}_i \cdot \mathcal{L}_i$$
 (Ferewa di Clayperon).

A parole, il lavoro di deformazione de le force applicate compiono a partire da zero Lino al Coro valore sinale e' pari a meta del lavoro compiuto dalle stesse force se avessero dall'inizio alla sine il loro valore sinale.

Esempio:



$$\eta_{\rm B} = \frac{F\ell^3}{3EJ} \qquad \Longrightarrow \qquad \bigsqcup_{\rm d} = \frac{F^2\ell^3}{6EJ}$$

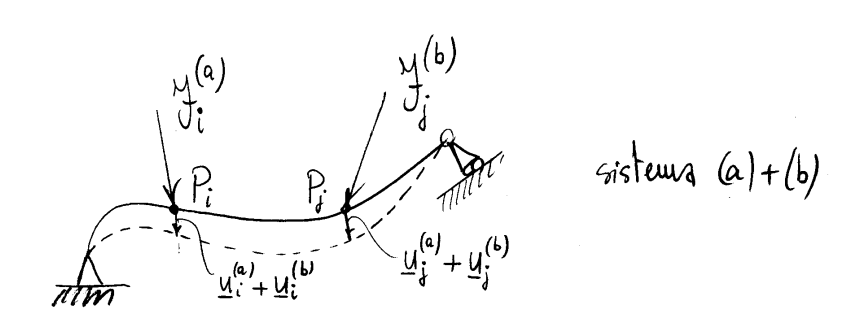
2.5.2 Teorema di Betti

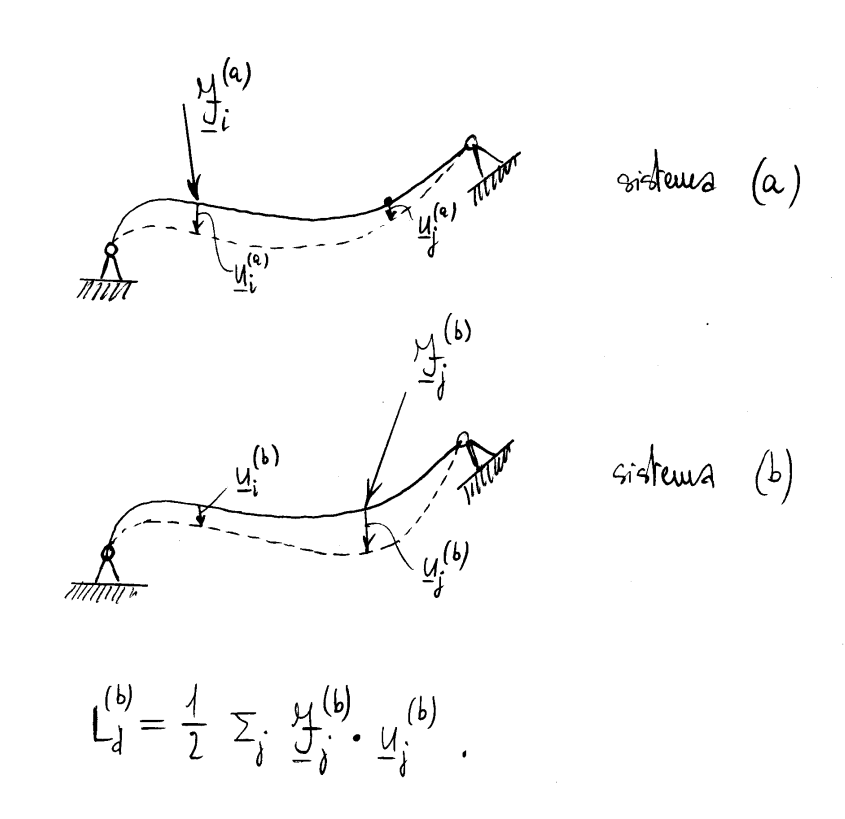
30 Capitolo 2. Legame costitutivo

Per il lavoro di deformazione non vale il principio di sovrapposizione degli effetti. Infatti adun sistema di lorce $\underline{J}_{i}^{(a)}$ compete il segvente lavoro di deformazione:

$$L_{\lambda}^{(a)} = \frac{1}{2} \sum_{i} \mathcal{Y}_{i}^{(a)} \cdot \mathcal{U}_{i}^{(a)},$$

neutre ad un sistema di forze $\mathcal{L}_{\delta}^{(b)}$ compete il lavoro di deformazione:





Al sistema di force sommes dei due sistemi precedenti compete quindi il bavoro:

dove :

$$L_{ab} = \sum_{i} \underbrace{J_{i}^{(b)} \cdot \underline{U}_{i}^{(b)}}_{(a)}$$

$$L_{ba} = \sum_{j} \underbrace{J_{j}^{(b)} \cdot \underline{U}_{i}^{(a)}}_{(a)}$$

I lavori Lab e Lba rappresentano il lavoro mutuo del le force del sistema (a) compirebbero per effetto degli spotamenti dovuti al sistema (b) se avessero sempre il loro valore simale e, rispettivamente, il lavoro mutuo che le force del sistema (b) campirebbero per effetto degli spostamenti dovuti al sistema (a) se avessero sempre il loro valore sinale.

Vogliano mostrare du i due lavori mutui Lab e La coincidono (teoreura di Betti).

Inhalti, paicher il lavoro di deformazione non dipende dal perorso, il lavoro Ld puo essere calcolato applicando prima le Porse del gisterns (a) sino el loro valere sinale, poi le forze del gisterns (b) Ano al loro valere liusle. Alla line dell'applicazione del sistema (a) il bavoro di deformazione vale Ld. L'applicazione del sistems (b) non solo genera il baroro di deformazione Ld, ma, bacendo Cavorare audie il sistema di force (a), che sono già al loro valore finale, genera anche il termine Lab:

$$L_{d}^{(a+b)} = L_{d}^{(a)} + L_{d}^{(b)} + L_{ab}.$$

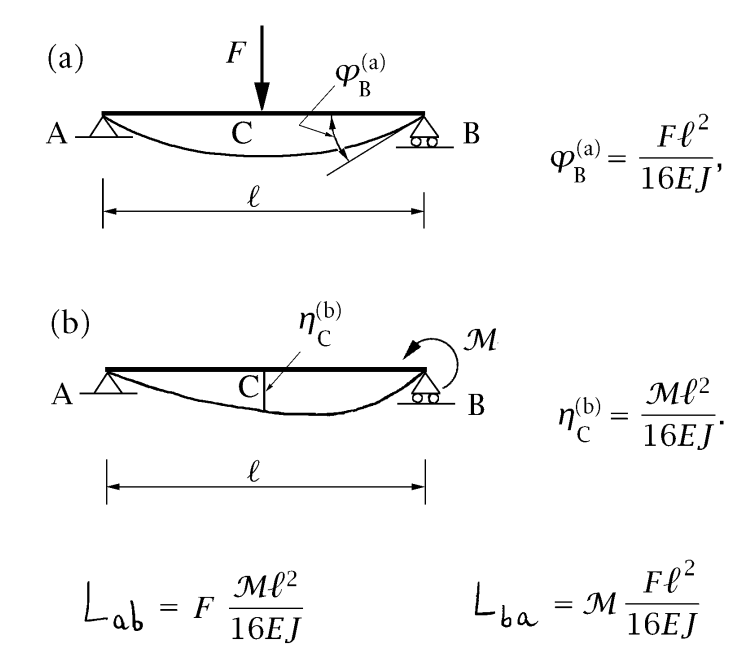
D'altroude, se si applica primes il sistema di

force (b) fino al loro valore finale e indi il cirleurs di forze (a), si officue dualogamente: $L_{J}^{(a+b)} = L_{J}^{(b)} + L_{J}^{(a)} + L_{ba}$

Ne risulta quindi:

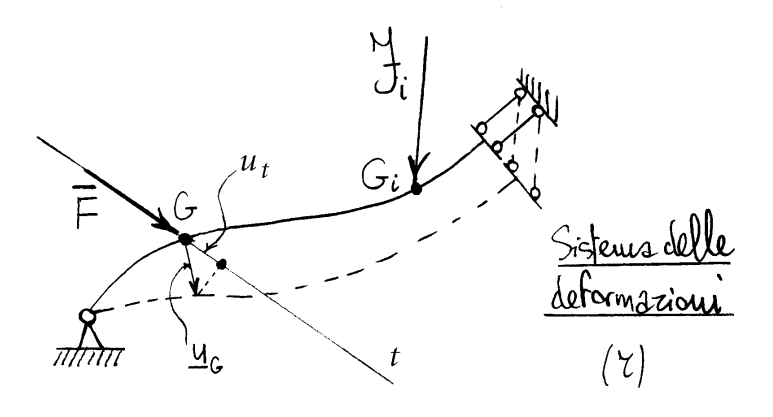
$$L_{ab} = L_{ba}$$
 .

Esempio:



2.5.3 Teorema di Castigliano

Se i vindi sono rigidi e se la trave non e soggetta à distorsioni e possibile colcolare le spostamento di un punto della linea d'asse in una data direzione eseguendo la derivata del Davoro di deformazione, espresso in finzione delle forze esterne, rispetto alla forza esterna applicata relle stesse pento della linea d'asse ed mente la direzione dello spostamento che si viole colcolore. Tale derivata va valutata sul valore effettivo delle force esterne. Se una forca applicata al punto di cui si vuole valutare la spostamento ed avente la directione richiects non e' presente, occorre again= gerla e valutare la derivata del lavora di deformazione in corrispondenza del valore nullo di tale forza.



Sia allera data una trave soggetta alle forze Ji ed alla forza F generica applicato in Ged avente us data direzione t. La componente ut dello sposta=
mento del punto G nella direzione e verso della forza F,
devento alle forze Ji ed alla forza F effettivamente
applicata in G, deve dunque valere:

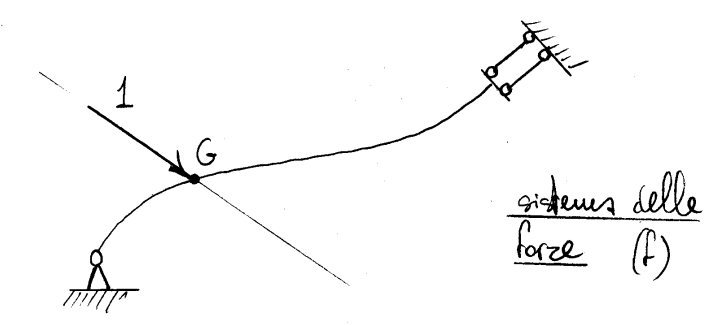
$$u_t = \frac{\partial L_d}{\partial F} \bigg|_{F = \overline{F}} ,$$

dove $L_d = L_d(\mathcal{F}_i; F)$. Se in G, nella direcione della Forza esterna F, non e'applicata nessuna Forza (F=0) la derivata andra calcolata sul valore F=0. E' chiaro che invece di una forza F si pvo' considerare una coppia F al fine di colcolare la rotazione di una sezione.

Dinestazione

Si assuma la trave soggetta alle Forze Ji ed alla forze F (o coppia M nel caso si voglia valutare una rotazione) quale sistema di spostamenti-defor= mazione e si applichi il principio dei lavori virtuali assumendo quale sistema di Forze-caratteristiche della

solleitazione quello generato balla forza unitaria avente la direcione e il verso dello spostamento che si vuole determinare.



Risulta:

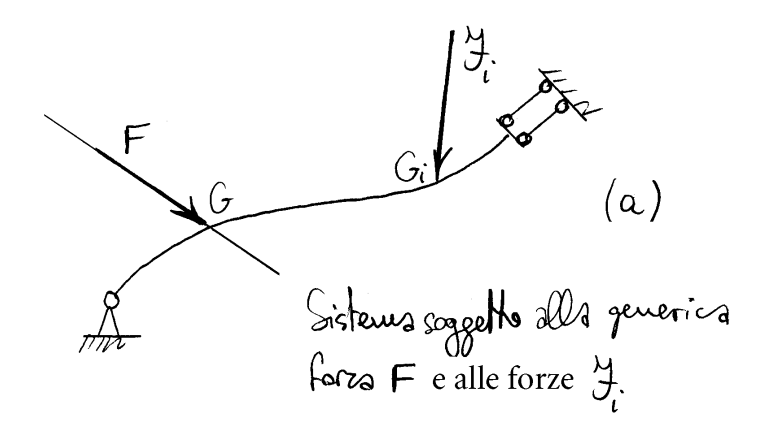
$$u_t = \int_{\mathcal{Q}} \underline{\mathcal{G}}^{(f)} \cdot \mathcal{C}[\underline{\mathcal{S}}^{(r)}] dS.$$

Si consideri ora la trave soggettà alle force Fi ed alla generica forces F, avente direzione e verso delle spostemento che si vvole determinare. Il lavoro di deformazione, scritto in forma complementare, vale:

$$L_{d} = \frac{1}{2} \int_{\mathcal{A}} \underline{\mathcal{G}}^{(a)} \cdot \mathcal{C}[\underline{\mathcal{G}}^{(a)}] ds,$$

e la sua derivata rispetto ad F:

$$\frac{\partial L_{d}}{\partial F} = \int_{\mathcal{A}} \frac{\partial \underline{\mathcal{I}}^{(a)}}{\partial F} \cdot \mathcal{C}[\underline{\mathcal{S}}^{(a)}] ds.$$



Risulta:

$$\underline{\mathcal{G}}^{(a)}\Big|_{\mathsf{F}=\overline{\mathsf{F}}} = \underline{\mathcal{G}}^{(r)},$$

ed inoltre, per il principio di sovrapposizione degli effetti, risulta: $\underline{\mathcal{G}}^{(a)} = F \underline{\mathcal{G}}^{(f)} + \underline{\mathcal{G}}^{(o)} ,$

dove S'(0) sono le sollecitazioni dovute 2i soli cariclui esterni Ji. Si Wa gvindi:

$$\frac{\partial \mathcal{Y}^{(a)}}{\partial F} = \mathcal{Y}^{(f)} ,$$

indipendentemente dal valore di F. In definitios:

$$u_{t} = \int_{A} \frac{\partial \underline{S}^{(a)}}{\partial F} \Big|_{F=\overline{F}} \cdot C[\underline{S}^{(a)}|_{F=\overline{F}}] ds = \frac{\partial LJ}{\partial F} \Big|_{F=\overline{F}}$$

ome volevari dimostrare. E' evidente che utilizzando il teorema di Castigliano ovorre valutare $S^{(a)}$ per F = F e $\partial S^{(a)}/\partial F$, cioè ovorre valutare le caratteristiche della sollecitazione nella chrittia resle e nella strittua fittizia soggetta alla forza unitaria, che seno nei più , nei meno, le operazioni che ovorre

eseguire se si applies direttamente il principio dei lavori virtuali. Occorre inoltre tenere presente che il ricultato otternito dipende dall'ipatesi di vincoli rigidi (e' così escluso il lavoro delle reszioni vincolari) e di assenza di distorzioni (le deformazioni del sistema reale dipendono così dalle sole sollecitazioni reali).

2.6 Energia potenziale totale

Se all energia elastica di deformazione \$ 51 somma l'energia potenziale delle forze applicate, vell'ipatesi che tali forze siano conservative, si ottiene l'energia potenciale totale. Se le forze applicate alla strettura sono indipendenti dagli sportamenti e rotazioni che la struttura puo' subire (forze morte, oppur "dead badings", nella terminologia inglese) allora il potenzisle delle forze associato a dati spostamenti e rotazioni due, cu una opportura scella della zero del potenzisle, coincide con il lavoro delle forze, risulta:

$$V\left(\underline{\mathbf{u}},\underline{\mathbf{q}}\right) = \int_{\S_{o}} \left(\underline{\mathbf{f}}\cdot\underline{\mathbf{u}} + \underline{\mathbf{m}}\cdot\underline{\mathbf{q}}\right) ds$$

$$+ \sum_{i=0}^{n} \left(\underline{\mathbf{f}}\cdot\underline{\mathbf{u}} + \underline{\mathbf{m}}\cdot\underline{\mathbf{q}}\right) + \underline{\mathbf{M}}_{i}\cdot\underline{\mathbf{q}}\left(s_{i}\right).$$

Tenendo conto du le deformazioni dipendono, tramite le egrazioni di congruenza, dagli spostamenti e dalle rotazioni, risulta la seguente espressione dell'energia potenziale totale:

$$\frac{1}{\sqrt{\underline{u}},\underline{q}} = -\int_{\xi_{0}}^{\underline{r}} (\underline{\mathbf{f}} \cdot \underline{\mathbf{u}} + \underline{\mathbf{m}} \cdot \underline{q}) ds + \\
- \sum_{i=0}^{n} (\underline{\mathbf{f}} \cdot \underline{\mathbf{u}} \cdot \underline{q}) + \underline{\mathbf{m}} \cdot \underline{q} \cdot \underline{q} \cdot \underline{q} + \int_{\xi_{0}}^{\underline{r}} \underline{q} \cdot \underline{q} \cdot$$

Notiano che tale energia cappresenta ma funcione scalare degli spostamenti e delle rotazioni. A loro volta gli spostamenti $\underline{u}(s)$ e le rotazioni $\underline{q}(s)$ rappresentano due funcioni vettoriali dell'ascissa corrilinea s lungo l'asse della trave. Quindi la funcione $\pi(\underline{u},\underline{q})$ rappresenta una funcione di

funzione a valori scalari. Un tale tipo di funzione e chiamata <u>funcionale</u>.

2.6.1 Variazione del funzionale energia potenziale totale

L'incremento di $\pi(\underline{u},\underline{f})$ al passare la una configurazione individuala dagli spostamenti e rotazioni \underline{u}_1 e \underline{f}_1 ad un'altra configurazione individuala dagli spostamenti e rotazioni \underline{u}_2 e \underline{f}_2 vale:

$$\Delta T = T \left(\underline{u}_{2}, \underline{\ell}_{2} \right) - T \left(\underline{u}_{1}, \underline{\ell}_{1} \right).$$

configuratione indeformable configurations deformable configurations deformable configurations variate (any vente con i vincoli) $\underline{u}(0) = 0$ $\underline{u}(0) = \underline{u}_0$ $\underline{u}(0) + \underline{S}\underline{u}(0) = \underline{u}_0$

Si ausiderino degli spostamenti 4 (5) e delle rotazioni 4(5), che individuano una configurazione deformata congruente con i vincoli. Si incrementino tali spostamenti e rotazioni tamite due funzioni du (s) e dy (s). Se si vole du le somme $\underline{U}(s) + \underline{SU}(s) = \underline{V}(s) + \underline{SV}(s)$ soddistino le audizioni geometrique il contorno, occurre che le <u>variazioni</u> <u>Su</u> degli spostmenti e d<u>e</u> delle rotazioni soddisfino le condizioni geometriche omegeneral contorno. Per escupia, se in corrispondenza di $S = S_0$ deve essere $\underline{U}(S_0) = \underline{U}_0$ (cedimento anelastic) la condizione $\underline{u}(s_o) + \underline{\delta u}(s_o) = \underline{u}_o$ e' soddishatta se e solo se $\frac{du}{ds}(s_0) = 0$ (oudicione omogenea). l'incremento dell'energia potenziale totale conseguente alle variazioni Su e Sy dei compi degli

spostamenti e delle rotazioni a partire dalla configurazione individuata dagli capostamenti \underline{u} e dalle rotazioni \underline{q} , vale $\Delta TT (\delta \underline{u}, \delta \underline{q}) =$

 $= \pi \left(\underline{u} + \underline{\delta} \underline{u}, \underline{\ell} + \underline{\delta} \underline{\ell} \right) + \pi \left(\underline{u}, \underline{\ell} \right).$

Consideriame una data "direzione" nelle "spazio
delle variazioni", ovverossia nello spazio delle
funzioni di s soddisfacenti le condizioni omogenee
el contarno. Una direzione el individuata da
titte le variazioni du sono proporzionali ad una varia=
zione data, e che quindi possono mettersi nella forma:

 $\delta \underline{u} = \alpha \delta \underline{u}_{o}$, $\delta \underline{q} = \alpha \delta \underline{q}_{o}$,

dove du e de sono delle date variazioni e « è uno sustare indipendente da s. Al variare di « si medifica

l'entità degli spostamenti un non la bro forma. Lungo una direzione cosiffatta, il funzionale TT risulta una funzione della sola d e se ne prolocalare per d=0, la parte lineare in d, che, per d=1, viene della variazione prima ed indicata con STT:

$$\delta \pi = \frac{d\pi}{d\alpha}\Big|_{\alpha=0}$$
.

Poicher risulta:

$$\mathcal{T} = -V + \Phi ,$$

ne conseque $[F = G + H \implies SF = SG + SH]$:

Risulta poi [F = aG -> SF=aSG e

$$\begin{split} \int \int_{\mathcal{L}_{o}} F \, ds &= \int_{\mathcal{L}} \delta F \, ds \, \int_{\mathcal{L}_{o}} \cdot \\ \delta V &= - \int_{\mathcal{L}_{o}} \left(\underbrace{F \cdot \delta \mathbf{u}}_{i} + \underbrace{\mathbf{m} \cdot \delta \mathbf{u}}_{i} + \underbrace{\mathbf{M}}_{i} \cdot \delta \mathbf{u}_{i} \right) \, ds \, + \\ &- \sum_{i=0}^{n} \left(\underbrace{\mathcal{L}}_{i} \cdot \delta \mathbf{u}_{i} + \underbrace{\mathbf{M}}_{i} \cdot \delta \mathbf{u}_{i} \right). \end{split}$$

Inolfre:

$$\oint \Phi = \iint_{\mathbf{R}^{g}} \mathbf{A} \mathbf{A} \, \mathrm{d} \mathbf{S} ,$$

ed amora $\left[F = G(H) \Rightarrow \delta F = \frac{\partial G}{\partial H} \delta H \right]$:

Risulta dunque:

$$\delta \pi = - \int_{\S_o} (\underline{\mathbf{f}} \cdot \underline{\delta} \underline{\mathbf{u}} + \underline{\mathbf{m}} \cdot \underline{\delta} \underline{\mathbf{f}}) ds + \\ - \sum_{i=0}^{n} (\underline{\underline{\mathcal{f}}}_i \cdot \underline{\delta} \underline{\mathbf{u}}_i + \underline{\mathbf{M}}_i \cdot \underline{\delta} \underline{\mathbf{f}}_i) + \int_{\S_o} (\underline{\mathbf{s}} \cdot \underline{\delta} \underline{\mathbf{D}}) ds.$$

Utilizzando infine il legame elastico-lineare si prol anche scrivere:

$$\delta \pi = - \int_{\ell_0} \left(\underline{f} \cdot \delta \underline{u} + \underline{m} \cdot \delta \underline{\ell} \right) ds + \\
- \sum_{i=0}^{n} \left(\underline{J}_i \cdot \delta \underline{u}_i + \underline{M}_i \cdot \delta \underline{\ell}_i \right) + \int_{\ell_0} \left(\underline{E}[\underline{D}] \cdot \delta \underline{D} \right) ds.$$

Le variazioni delle deformazioni D, Milizzando le egracioni (liveari) di congruenza, visultano:

$$\begin{cases} \delta \mathbf{y} + \delta \epsilon \mathbf{e}_{t} = \frac{\mathrm{d} \delta \mathbf{u}}{\mathrm{d} s} - \delta \mathbf{\varphi} \times \mathbf{e}_{t} \\ \delta \underline{\mathbf{K}} = \frac{\mathrm{d} \delta \underline{\mathbf{J}}}{\mathrm{d} s} \end{cases}$$

Si noti che il risultato non sarebbe cambiato se si fosse partiti delle egnazioni di congruenza non lineari, poiche "variare" significa linearizzare.

2.6.2 Principio di stazionarietà dell'energia potenziale totale

La variazione STT del huzionsle energia potenziale totale si annulla in corrispondenza della soluzione del problema elastico.

Inhatti, le force applicate sono in equilibrio on le caratteristiche della sollecitazione soluzione S* che, tramite i legami costitutivi, dipendeno dal caratteristiche della deformazione soluzione D*:

$$\underline{S}^* = \frac{\partial \underline{D}}{\partial \underline{D}} \bigg|_{D = D^*} .$$

Siano poi $\underline{J}\underline{U}$ e $\underline{J}\underline{U}$ delle variazioni degli sportamenti e delle rotazioni e siano $\underline{J}\underline{D}$ le associate variazioni delle deformazioni. Si proi allora scrivere il

principio dei lavori virtuali nella forma:

$$\int_{\ell_0} \left(\underline{f} \cdot \delta \underline{u} + \underline{m} \cdot \delta \underline{\ell} \right) ds + \sum_{i=0}^{n} \left(\underline{J}_i \cdot \delta \underline{u}_i + \underline{M}_i \cdot \delta \underline{\ell}_i \right) + \\
+ \int_{\ell_0} \left(\underline{s}^* \cdot \delta \underline{D} \right) ds = 0.$$

tenendo conto che le variazioni su e sel sono emogenel in corrispondenza dei vincoli e che quindi le reazioni vincolari soluzione R* hanno un contributo nullo.

Quindi risulta:

$$\int_{\zeta_{0}} \left(\underline{f} \cdot \delta \underline{\mathbf{u}} + \underline{\mathbf{m}} \cdot \delta \underline{\mathbf{u}} \right) ds + \sum_{i=0}^{n} \left(\underline{\mathcal{J}}_{i} \cdot \delta \underline{\mathbf{u}}_{i} + \underline{\mathbf{M}}_{i} \cdot \delta \underline{\mathbf{u}}_{i} \right) + \\
+ \int_{\zeta_{0}} \left(\frac{\partial \emptyset}{\partial \underline{\mathbf{D}}} \Big|_{\mathbf{D} = \mathbf{D}^{*}} \cdot \delta \underline{\mathbf{D}} \right) ds = 0.$$

ciol:

$$\left. \Delta \pi \right|_{D=D^*} = 0$$

come volevasi dimostrare. Poiche si sono diliczate, nella dimostrazione, espressioni formalmente valide anche in elasticità finità, tale feorema ha ma validità generale.

2.6.3 Principio di minimo dell'energia potenziale totale

Nell'ambito della sala elasticità infinitesima si dimestra indire che il <u>finzionale energia</u> potenziale totale ha un minimo assoluto in corrispondenza della soluzione.

Infatti, utilizzando la forma quadrica del funzionale emergia potenziale totale, propria del legame elastico-lineare: $\pi(\underline{u},\underline{q}) - \pi(\underline{u}^*,\underline{q}^*) = -\int_{\S_0}^{\infty} (\underline{f} \cdot (\underline{u} - \underline{u}^*) + \underline{m} \cdot (\underline{q} - \underline{q}^*)) ds +$

$$-\sum_{i=0}^{n} \left(\underbrace{\mathcal{I}}_{i} \cdot \left(\underline{\mathbf{u}}_{i} - \underline{\mathbf{u}}_{i}^{*} \right) + \underbrace{\mathbf{M}}_{i} \cdot \left(\underline{\mathbf{I}}_{i} - \underline{\mathbf{I}}_{i}^{*} \right) \right)$$

$$+ \int_{\ell_{0}} \underbrace{\frac{1}{2}}_{0} \left\{ \mathbf{D} \cdot \mathbb{E} \left[\mathbf{D} \right] - \mathbf{D}^{*} \cdot \mathbb{E} \left[\mathbf{D}^{*} \right] \right\} dS =$$

$$= -\int_{\ell_{0}} \left(\underbrace{\mathbf{I}}_{0} \cdot \left(\underline{\mathbf{u}}_{i} - \underline{\mathbf{u}}_{i}^{*} \right) + \underbrace{\mathbf{M}}_{0} \cdot \left(\underline{\mathbf{I}}_{i} - \underline{\mathbf{I}}_{i}^{*} \right) \right) dS +$$

$$- \sum_{i=0}^{n} \left(\underbrace{\mathcal{I}}_{i} \cdot \left(\underline{\mathbf{u}}_{i} - \underline{\mathbf{u}}_{i}^{*} \right) + \underbrace{\mathbf{M}}_{i} \cdot \left(\underline{\mathbf{I}}_{i} - \underline{\mathbf{I}}_{i}^{*} \right) \right)$$

$$+ \int_{\ell_{0}} \mathbf{D}^{*} \cdot \mathbb{E} \left[\mathbf{D} - \mathbf{D}^{*} \right] dS + \underbrace{\frac{1}{2}}_{\ell_{0}} \left[\mathbf{D} - \mathbf{D}^{*} \right] \cdot \mathbb{E} \left[\mathbf{D} - \mathbf{D}^{*} \right] dS.$$

Le contreristique della sollectionie $S^* = \mathbb{E}[D^*]$ some in equilibris on le forze f, m, \mathcal{F}_i e M_i mentre gli spostomenti $\underline{u} - \underline{u}^*$, le rotazioni $\underline{f} - \underline{f}^*$ e le deformazioni $D - D^*$ soddishme le equazioni di carguenza linearizzate ed in altre gli spostomenti $\underline{u} - \underline{u}^*$ e le rotazioni $\underline{f} - \underline{f}^*$ si annullano in corrispondenza dei

vincoli. Per il principio dei lavori virtuali la sounua dei primi due termini si annulla e risulta:

$$\mathcal{T}\left(\underline{\mathbf{U}},\underline{\mathbf{q}}\right) - \mathcal{T}\left(\underline{\mathbf{U}}^*,\underline{\mathbf{q}}^*\right) = \frac{1}{2} \int_{\mathbf{q}} [\mathbf{D} - \mathbf{D}^*] \cdot \mathbb{E}\left[\mathbf{D} - \mathbf{D}^*\right] \, ds.$$

La definitezza positiva di E assicua dunque:

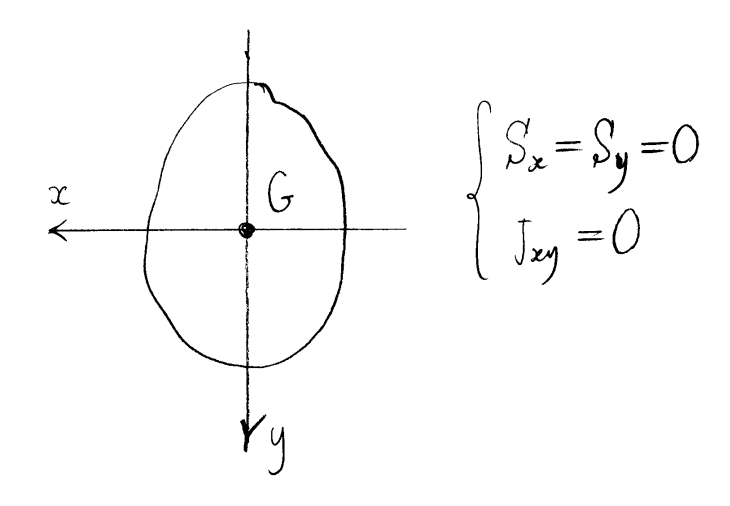
$$\pi(\underline{u},\underline{\ell}) - \pi(\underline{u}^*,\underline{\ell}^*) > 0$$

 $\not \subseteq D \neq D^*$, cioè se gli spostamenti $\not \subseteq - \not \subseteq ^*$ e le rotazioni $\not \subseteq - \not \subseteq ^*$ differiscono da un moto rigido. In tal caso $\not \subseteq$ e $\not \subseteq$ differiscono dalla soluzione e il teorema resta dimostrato.

2.7 Teoria tecnica delle travi

Si assuma un legame costitutivo elastico lineare coincidente, nella parte flessionale, con quanto dedotto nella teoria della trave inflessa. Nell'ipotesi che esista l'energia elastica di deformazione il legame è invertibile e le matrici di elasticità e di elasticità inversa sono simmetriche. Si supponga inoltre che la parte flessionale sia indipendente dal taglio e dal momento torcente. Si scelga poi, nel piano della sezione, un sistema di riferimento Gxy principale di inerzia e si faccia per il momento riferimento alla linea d'asse baricentrica per il calcolo di tutte le quantità che intervengono nel legame costitutivo.

In tali ipotesi, la matrice di elasticità inversa $\mathbb C$ può essere



messa nella forma:

$$\mathbb{C} = \begin{bmatrix}
\frac{1}{EA} & 0 & 0 & 0 & 0 & 0 \\
0 & \frac{1}{EJ_X} & 0 & 0 & 0 & 0 \\
0 & 0 & \frac{1}{EJ_y} & 0 & 0 & 0 \\
0 & 0 & 0 & \mathbb{C}_t & \mathbb{C}_{tx} & \mathbb{C}_{ty} \\
0 & 0 & 0 & \mathbb{C}_{tx} & \mathbb{C}_x & \mathbb{C}_{xy} \\
0 & 0 & 0 & \mathbb{C}_{ty} & \mathbb{C}_{xy} & \mathbb{C}_y
\end{bmatrix},$$

dove si è tenuto conto del fatto che la matrice di elasticità inversa deve essere simmetrica.

2.7.1 Parte assiale e flessionale

La parte flessionale di tale legame è scritta in una forma che dipende dalla scelta del baricentro quale polo per il calcolo di M_X e $M_{\mathcal{Y}}$ e dalla scelta degli assi principali di inerzia quali assi cartesiani ortogonali nel piano della sezione.

Si ricordi che, sempre con polo di riduzione il baricentro ma indipendentemente dal sistema di riferimento, tali legami possono scriversi:

$$\epsilon = \frac{N}{EA},$$

$$\mathbf{k}_{\mathrm{f}} = \frac{1}{E} \mathbf{J}^{-1} \mathbf{M},$$

dove la dilatazione ϵ è quella della fibra baricentrica, il mo-

mento flettente M è valutato rispetto al baricentro e J è il tensore di inerzia valutato nel baricentro.

2.7.2 Parte torcente e tagliante

Si consideri ora la parte del legame costitutivo che coinvolge il momento torcente e il taglio:

$$\left\{ \begin{array}{l} \Theta \\ \mathcal{E}_{\mathbf{x}} \\ \mathcal{E}_{\mathbf{y}} \end{array} \right\} = \left[\begin{array}{ccc} \mathbb{C}_{\mathbf{t}} & \mathbb{C}_{\mathbf{tx}} & \mathbb{C}_{\mathbf{ty}} \\ \mathbb{C}_{\mathbf{tx}} & \mathbb{C}_{\mathbf{x}} & \mathbb{C}_{\mathbf{xy}} \\ \mathbb{C}_{\mathbf{ty}} & \mathbb{C}_{\mathbf{xy}} & \mathbb{C}_{\mathbf{y}} \end{array} \right] \left\{ \begin{array}{l} M_{\mathbf{t}} \\ \mathcal{T}_{\mathbf{x}} \\ \mathcal{T}_{\mathbf{y}} \end{array} \right\} .$$

come detto, tale scrittura e relativa alla scetta del baricentro quale polo per il calcolo del momento torcente Mt e degli scorrimenti Ix e Vy. la scetta del baricentro quale polo e dipesa essenzialmente dal fatto che la dilatazione della linea dei baricentri clipende solo dalla sforzo normale. Ci domandiamo ora se esiste,

qualunque sia il taglio applicato, un polo naturale per il colcolo del momento torcente che renda l'angolo mitario di torsione & dipendente dal solo momento torcente. Con tale scelta gli elementi. Ctx e Cty quindi si annullerebbero.

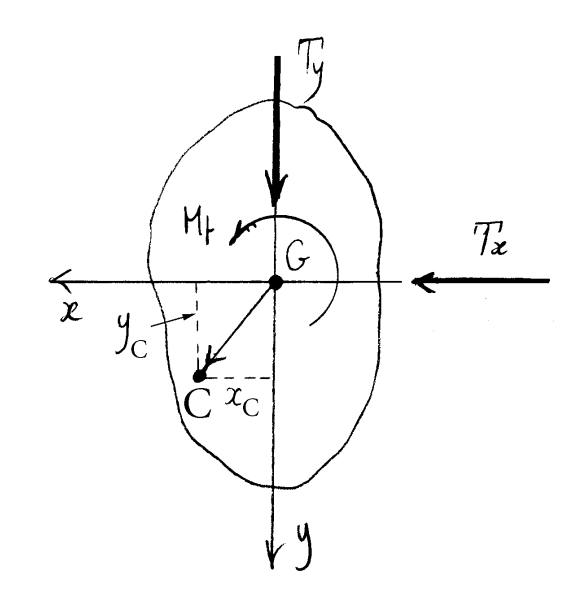
Per rispondere à tale donnanda, teniamo presente la formula di trasformazione del momento torcente al cambiare del polo di richizione:

$$M_{C} = M_{t} + T_{x} y_{C} - T_{y} x_{C},$$

dove Mc indica il mamento torceute valutato rispetto al punto C. L'aualoga formula relativa allo scorrimento risulta invece:

$$\underline{\underline{V}}_{C} = \underline{\underline{Y}} + \underline{\Theta}\underline{e}_{t} \times (C - \underline{G}),$$

equivalente a scriver:



$$\begin{cases} \chi_x^C = \chi_x - \Theta y_C \\ \chi_y^C = \chi_y + \Theta x_C \end{cases}$$

Ricavando M_t e sostituendo nel legame costitutivo interessato si ha infine:

$$\Theta = \mathbb{C}_t M_C + (\mathbb{C}_{tx} - \mathcal{Y}_C \mathbb{C}_t) \mathcal{T}_x + (\mathbb{C}_{ty} + \mathcal{X}_C \mathbb{C}_t) \mathcal{T}_y.$$

Si ottiene dunque quale polo di riduzione il punto C di coordinate:

$$\begin{cases} x_c = -\frac{C_{ty}}{Ct} \\ y_c = \frac{C_{tx}}{C_t} \end{cases}.$$

Tale punto individua il centro di taglio. Se il momento torcente si calcola rispetto al centro di taglio e se ci si riferisce agli scorrimenti relativi alla linea dei centri di taglio, il legame costitutivo assume la seguente forma semplificata:

$$\begin{cases}
\Theta \\
\nabla_{x}^{c} \\
\nabla_{y}^{c}
\end{cases} =
\begin{bmatrix}
\mathcal{C}_{t} & O & O \\
O & \mathcal{C}_{x}^{c} & \mathcal{C}_{xy}^{c} \\
O & \mathcal{C}_{xy}^{c} & \mathcal{C}_{y}^{c}
\end{bmatrix}
\begin{bmatrix}
M_{c} \\
T_{x} \\
T_{y}
\end{bmatrix},$$

dove:

$$\begin{pmatrix}
\mathcal{C}_{x}^{c} = \mathcal{C}_{x} - \mathcal{Y}_{c} \mathcal{C}_{tx} \\
\mathcal{C}_{y}^{c} = \mathcal{C}_{y} + \mathcal{X}_{c} \mathcal{C}_{ty} \\
\mathcal{C}_{xy}^{c} = \mathcal{C}_{xy} + \mathcal{X}_{c} \mathcal{Y}_{c} \mathcal{C}_{t}
\end{pmatrix}$$

Thatti

$$\gamma_{x}^{c} = \gamma_{x} - \Theta y_{c} = C_{tx} \left(M_{c} - T_{x} y_{c} + T_{y} x_{c} \right)
- C_{t} M_{c} y_{c} + C_{x} T_{x} + C_{xy} T_{y}$$

$$= \left\{ C_{x} - (C_{tx})^{2} / C_{t} \right\} T_{x} + \left\{ C_{xy} - C_{tx} C_{ty} C_{t} \right\} T_{y},$$

e inslogemente:

$$\begin{aligned}
\chi_{y}^{c} &= \chi_{y} + \Theta \chi_{c} \\
&= \left\{ \mathcal{C}_{xy} - \mathcal{C}_{tx} \mathcal{C}_{ty} / \mathcal{C}_{t} \right\} T_{x} + \left\{ \mathcal{C}_{y} - (\mathcal{C}_{ty})^{2} / \mathcal{C}_{t} \right\} T_{y}.
\end{aligned}$$

E' consuetudine di porre:

$$C_{t} = \frac{1}{GJ_{t}},$$

$$C_{x}^{c} = \frac{\chi_{x}}{GA}$$

$$C_{y}^{c} = \frac{\chi_{y}}{GA}$$

$$C_{xy}^{c} = \frac{\chi_{xy}}{GA}$$

dove G è il modulo di elasticità tangenziale, A è l'area della sezione retta, J_t è detto *fattore torsionale di rigidezza* e le costanti adimensionali χ_x , χ_y e χ_{xy} sono dette *fattori di taglio*. Questi rappresentano le componenti, nel sistema Gxy, di un tensore doppio piano χ , detto *tensore dei fattori di taglio*:

 $[\boldsymbol{\chi}] = \begin{bmatrix} \chi_x & \chi_{xy} \\ \chi_{xy} & \chi_y \end{bmatrix}.$

Come ogni tensore doppio simmetrico, anche il tensore dei fattori di taglio ha in generale due direzioni principali, in tal caso di *taglio*, ortogonali tra loro che diagonalizzano la matrice delle componenti. In generale le direzioni principali di taglio differiscono da quelle principali di inerzia.

Un asse di simmetria, come già noto, contiene il baricentro e il centro di taglio ed è principale di inerzia. Inoltre risulta essere anche principale di taglio. Infatti un taglio diretto come l'asse di simmetria è simmetrico e non può quindi generare uno scorrimento nella direzione ortogonale all'asse di simmetria, essendo tale scorrimento emisimmetrico.

Riassumendo, i legami costitutivi inversi legati a taglio e a momento torcente possono scriversi:

$$\Theta = \frac{M_{\rm C}}{GJ_{\rm t}},$$

$$\gamma_x^{\rm C} = \chi_x \frac{T_x}{GA} + \chi_{xy} \frac{T_y}{GA},$$

$$\gamma_y^{\rm C} = \chi_{xy} \frac{T_x}{GA} + \chi_y \frac{T_y}{GA},$$

dove il momento torcente M_C è valutato rispetto al centro di taglio e lo scorrimento \mathbf{y}_C è valutato rispetto alla fibra

longitudinale per il centro di taglio. Indipendentemente dalla scelta di due assi cartesiani ortogonali di riferimento nel piano della sezione, il legame costitutivo legato al solo taglio si può invece scrivere in forma vettoriale:

$$\mathbf{y}_{\mathrm{C}} = \frac{1}{GA} \mathbf{\chi} T \qquad \Rightarrow \qquad T = GA \mathbf{\chi}^{-1} \mathbf{y}_{\mathrm{C}}.$$

Infine, l'energia elastica di deformazione e quella complementare assumono la forma:

$$\phi = \frac{1}{2} \left\{ EA\epsilon_G^2 + E\mathbf{k}_f \cdot \mathbf{J} \mathbf{k}_f + GJ_t\Theta^2 + GA\mathbf{y}_C \cdot \mathbf{\chi}^{-1} \mathbf{y}_C \right\},\,$$

$$\psi = \frac{1}{2} \left\{ \frac{N^2}{EA} + \frac{1}{E} \boldsymbol{M} \cdot \boldsymbol{J}^{-1} \boldsymbol{M} + \frac{M_{\text{C}}^2}{GJ_{\text{t}}} + \frac{1}{GA} \boldsymbol{T} \cdot \boldsymbol{\chi} \, \boldsymbol{T} \right\}.$$

2.7.3 Estensione del problema di Saint-Venant

Per rendere operativi i legami costitutivi così individuati è necessario determinare, in generale, la posizione del centro di taglio C, così come il fattore torsionale di rigidezza J_t e i fattori di taglio χ_x , χ_y e χ_{xy} .

Queste informazioni saranno ottenute dalla soluzione del problema di Saint-Venant, la cui estensione al problema della trave, come si vedrà, soddisfa tutte le ipotesi precedenti sul legame costitutivo.

Non è invece accettabile dedurre il legame costitutivo torcente e tagliante direttamente dal campo di spostamenti rigidi delle sezioni rette, analogamente a quanto fatto nel caso flessionale, come illustrato in appendice al capitolo.

2.8 Appendice (Legame elastico lineare dedotto dal campo di spostamenti rigidi della sezione retta)

Si suppongs la validità di un legame costitutivo, valide localmente, del tipo:

$$\underline{\zeta} = G \underline{\chi}_{\mathbf{p}}$$
.

La relazione (4) del paragrafo 1 permette di scrivere:

$$\underline{\tau} = G\underline{Y} + G\Theta\underline{e}_t \times (P-G),$$

e quindi, integrando sulla serione retta:

$$\underline{T} = \int_{A} \underline{\tau} dA = GA\underline{Y} \implies \underline{X} = \frac{1}{GA}\underline{T}$$

Anora:

$$M_{t} \underline{e}_{t} = \int_{A} (P - G) \times \underline{\tau} dA = \left(G \int_{A} (P - G) dA \right) \times \underline{Y}$$

$$+ G \underline{\Theta} \int_{A} (P - G) \times \left\{ \underline{e}_{t} \times (P - G) \right\} dA$$

$$= \left(G\Theta \int_{A} (P-G) \cdot (P-G) dA\right) \underline{e}_{t}$$

$$- G\Theta \int_{A} (P-G) \cdot \underline{e}_{t} \left\{ (P-G) dA\right\} = G\Theta \int_{G} \underline{e}_{t},$$

cioè:

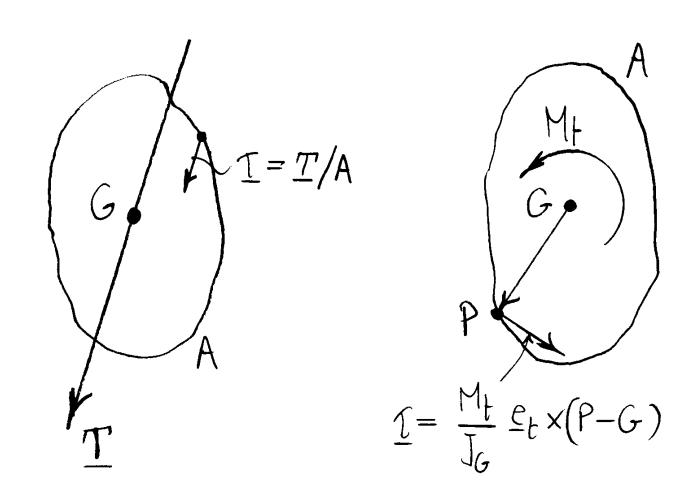
$$M_t = G\Theta J_G \implies \Theta = \frac{M_t}{G J_C}$$
.

Quindi:

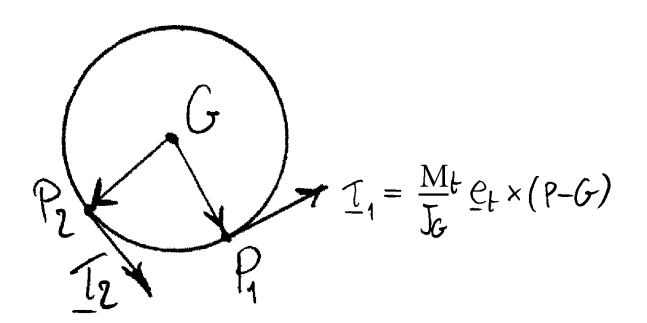
$$\underline{\zeta} = \frac{\underline{T}}{A} + \frac{Mt}{\overline{J}_{G}} \underline{e}_{t} \times (P-G).$$

Si noti che in tal caso il centro di taglio coincide con il baricentro, il tensore dei fattori di taglio col tensore identità e infine il fattore torsionale di rigidezza con il momento di inerzia polare rispetto al baricentro.

La \underline{T} du si è osi ottenuta soddista le condizioni al cautorno solo nel caso di serione circulare non soggetta a taglio ($\underline{T}=\underline{Q}$). Infatti, le tensioni tangenziali associate ad un taglio \underline{T} risulterebbero costanti e quindi non



possono essere tangenti ovinque al contorno. La stessa casa succede per le tensioni tangenziali associate al nomento torcente, tensioni che hanno la direzione ortogonale al vettore posizione P-G, salvo che per la sezione circelare.



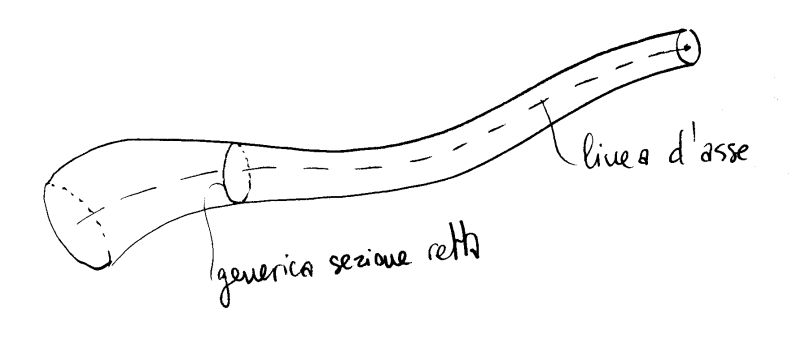
E evidente che il legame costitutivo costottento non e accettabile.

Capitolo 3

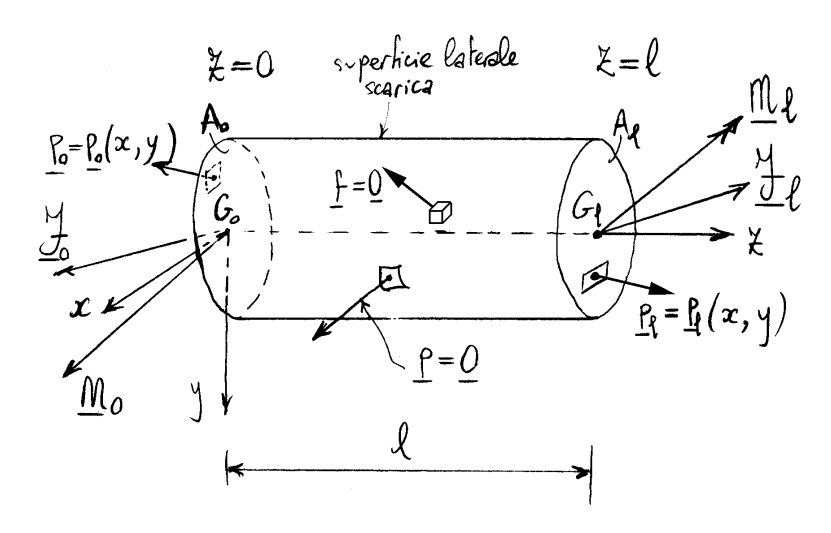
Problema di Saint-Venant

3.1 Schematizzazione della trave nell'ambito della teoria matematica dell'elasticità

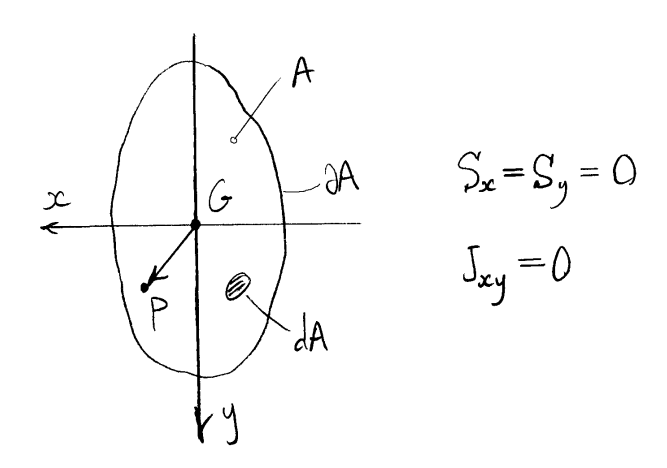
Per trave si intende un corpo in cui una dimbusione e' prevalente rispetto alle altre e descrivibile geometricamente attraverso la sua linea d'asse e le sue <u>sezioni rette</u>, ortogonali alla linea d'asse. La linea d'asse puo' essere curra e le sezioni rette possono essere variabili.



Proponiame di studiare, nell'ambito della teoria querale dell'elaticità, un orpo cilindrico non vincolato e caricato sole nelle due sezioni di estremità. Geometricamente, un orpo cilindrico rappresenta una taxe ad asse rettilinea ed a sezione costante.



La linea d'asse della trave viene scelta coincidente con il baricentro, mentre gli assi x e y sono scelti coincidenti con gli assi principali di inerzia. Questo significa che i momenti statici S_x e S_y , così come il momento centrifugo J_{xy} , sono nulli.



Poiché la trave non è vincolata occorre imporre le condizioni di equilibrio globale. L'equilibrio alla traslazione richiede:

$$\int_{A_0} \boldsymbol{p}_0 \, \mathrm{d}A + \int_{A_\ell} \boldsymbol{p}_\ell \, \mathrm{d}A = \boldsymbol{0},$$

da cui:

$$\boldsymbol{\mathcal{F}}_0 + \boldsymbol{\mathcal{F}}_\ell = \boldsymbol{0},$$

dove \mathcal{F}_0 e \mathcal{F}_ℓ sono le risultanti globali sulla sezione di prima e, rispettivamente, di seconda estremità. L'equilibrio alla rotazione richiede invece:

$$\int_{A_0} (P - G_0) \times \boldsymbol{p}_0 \, \mathrm{d}A + \int_{A_\ell} (P - G_0) \times \boldsymbol{p}_\ell \, \mathrm{d}A = \boldsymbol{0}.$$

Tenendo conto che su A_{ℓ} risulta:

$$P - G_0 = (P - G_\ell) + (G_\ell - G_0)$$
.

si ha infine:

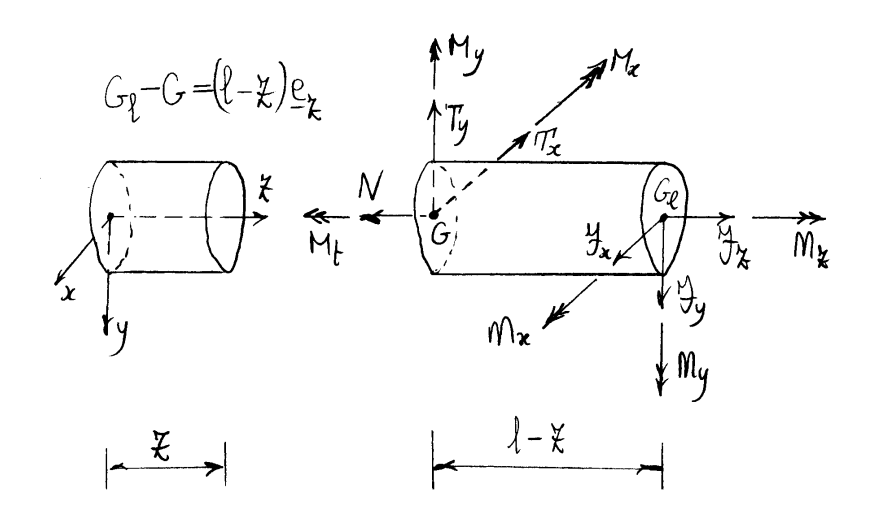
$$\mathcal{M}_0 + \mathcal{M}_\ell + (G_\ell - G_0) \times \mathcal{F}_\ell = \mathbf{0},$$

dove \mathcal{M}_0 e \mathcal{M}_ℓ sono i momenti risultanti globali sulla sezione di prima e, rispettivamente, di seconda estremità. Ne risulta che la risultante \mathcal{F}_0 e il momento risultante \mathcal{M}_0 agenti sulla base di prima estremità dipendono dalla risultante \mathcal{F}_ℓ e dal momento risultante \mathcal{M}_ℓ agenti sulla base di seconda estremità:

$$\mathcal{F}_0 = -\mathcal{F}_{\ell},$$
 $\mathcal{M}_0 = -\mathcal{M}_{\ell} - (G_{\ell} - G_0) \times \mathcal{F}_{\ell}.$

3.2 Caratteristiche della sollecitazione

Siano F_x , F_y e F_z le componenti della risultante \mathcal{F}_ℓ agente sulla sezione di seconda estremità e, analogamente, \mathcal{M}_x , \mathcal{M}_y e \mathcal{M}_z le componenti del momento risultante \mathcal{M}_ℓ . L'equilibrio del generico tronco di trave compreso tra la sezione retta generica e la sezione di seconda estremità conduce ai seguenti



valori delle caratteristiche della sollecitazione:

$$N = F_z,$$
 $M_t = \mathcal{M}_z,$ $M_x = \mathcal{M}_x - F_y (\ell - z),$ $T_x = F_x,$ $M_y = \mathcal{M}_y + F_x (\ell - z),$ $T_y = F_y.$

Si noti che lo sforzo normale e le componenti di taglio sono costanti lungo l'asse della trave e che tali valori uguagliano le corrispondenti componenti F_z , F_x e F_y della forza risultante agente sulla base di seconda estremità. Analogamente, il momento torcente è costante lungo l'asse della trave e tale valore uguaglia la corrispondente componente \mathcal{M}_z del momento risultante agente sulla base di seconda estremità. Le uniche caratteristiche della sollecitazione in generale variabili (linearmente) lungo l'asse della trave sono dunque le componenti del momento flettente, componenti che per i risultati precedenti possono porsi nella forma:

$$M_{x} = \mathcal{M}_{x} - T_{y} (\ell - z),$$

$$M_{y} = \mathcal{M}_{y} + T_{x} (\ell - z).$$

Ne risulta che occorre tenere distinte dalle caratteristiche della sollecitazione le sole componenti \mathcal{M}_{x} e \mathcal{M}_{y} del momento risultante \mathcal{M}_{ℓ} agente sulla base di seconda estremità.

3.3 Principio di Saint-Venant

Il problems così impostato si presenti di difficile solvione se un si pongono limit, alla distribuzione dei carichi nelle due sezioni di estremità. Sacore, à ble proposito, il principio di Saint-Venant. Tale principio afferna che due diverse distribuzioni di force sulle sezioni di estremità avent: ugvali risultante e momento risultante provocano effetti sensibilmente differenti solo in prossimità delle sezioni di estranità. Pro essere allora possibile scegliere, for le diverse soluzioni corrispondenti a distribuzioni di forze sulle due basi arenti uguali risultante e mamenta risultante, una solvrione particularmente semplice.

Precisamente, si cercano quelle solvaioni du

soddistano le segventi candizioni restrittive arl tensor degli storzi (ipotesi di Saint-Venant):

$$\sigma_x = \sigma_y = \zeta_{xy} = 0$$

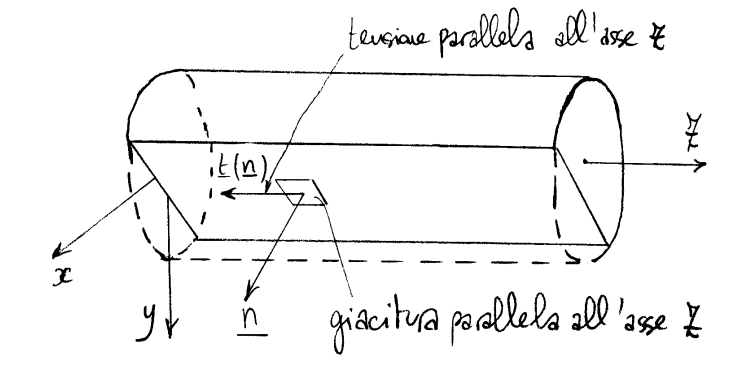
ovverossia:

Tale richiesta è giustificata innanzitutto dal fatto che le componenti della terza colonna del tensore degli sforzi devono essere in generale diverse dallo zero per poter generare delle caratteristiche della sollecitazione generiche sulle sezioni rette (di normale z). Se poi le altre componenti sono nulle il problema delle tensioni tangenziali viene drasticamente semplificato dal fatto che queste (come si vedrà nel seguito) diventano indipendenti dalla coordinata z sulla linea d'asse.

Si noti anche che la (1) equivale hisicomente a cichiedere che le hibre della trare (stesse publlelsmente all'acre χ) interagiscano fra di loro solo attraverso un vettore di tencione di direzione χ . Infatti se $\underline{\Lambda} = (\Lambda_x, \eta_y, 0)$ e' la normale di m elemente di area

probleb all'asse Z allora:

$$\left\{ \underline{\sigma} \ \underline{n} \right\} = \begin{bmatrix} 0 & 0 & \tau_{xx} \\ 0 & 0 & \tau_{yx} \\ \tau_{xx} & \tau_{yx} & \sigma_{x} \end{bmatrix} \begin{Bmatrix} n_{x} \\ n_{y} \\ 0 \end{Bmatrix} = \begin{Bmatrix} 0 \\ 0 \\ \tau_{xx} & n_{x} + \tau_{yx} & n_{y} \end{Bmatrix}.$$



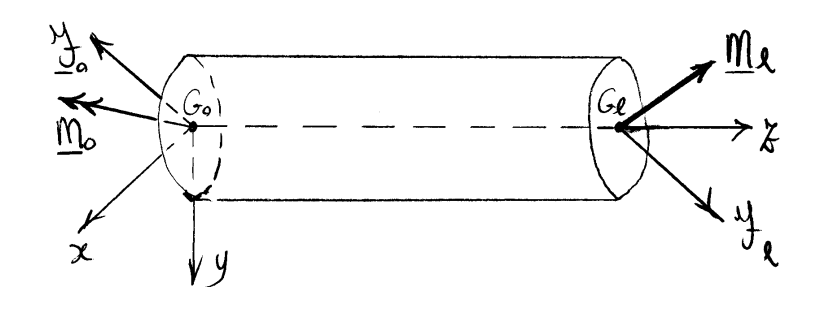
E' duiaro che a priori non e' detto che tra le solvaioni "equivalenti" nel seuso del principio di Saint-Kenant ce ne sia una avente la forma (1), cio' che giustifica la denominazione di ipotesi data elle condizioni (1). Si vedra commque nel segnito che risolvende tale problema si attiene in agni caso una solvaione avente tale forma.

l'estousione dei risultati attenuti in tale modello semplificato al asse generale di asse curvo, di serione variabile e di trave caricata anche sulla superficie laterale e nel volume da origine alla cosiddetta teoria tecnica della trave.

3.4 Problema di Saint-Venant

Possiano, a questo punto, enunciare il problema di Saint-Venant:

Dato un corpo cilindrico B caricato solo alle estremità determinare un campo di tensioni o , di deformazioni



E e di spostamenti <u>u</u> tali che siano soddistatte le seguenti equazioni nel valume B:

div
$$\underline{\sigma} = \underline{O}$$
 (equational indefinite di equilibria)
$$\underline{\mathcal{E}} = \frac{1}{2} \left(\operatorname{grad} \underline{u} + \operatorname{grad} \underline{u}^{\mathsf{T}} \right) \qquad (\operatorname{cargerenza})$$

$$\underline{\mathcal{E}} = \frac{1}{E} \left\{ (1+\nu) \underline{\sigma} - \nu \left(\operatorname{tr} \underline{\sigma} \right) \underline{I} \right\} \quad (\text{legame ostitutivo})$$

$$\underline{\mathcal{E}} = \underline{\sigma}_{\mathcal{I}} = \underline{\sigma}_{\mathcal{I}} = \underline{O} \qquad (\text{ipotesi di Saint-Venant})$$

le seguenti condizioni al contorno locali sulla superficie laterale:

$$\underline{\sigma}\underline{n}=\underline{0}$$
,

e le seguenti condizioni di equivalenza statica nelle sezioni rette delle travi:

$$F = \int_A \boldsymbol{\sigma} \, \boldsymbol{e}_z \, dA, \qquad M = \int_A (P - G) \times (\boldsymbol{\sigma} \, \boldsymbol{e}_z) \, dA,$$

dove F e M sono le caratteristiche della sollecitazione. Si noti che tali condizioni scritte per le due basi del cilindro equivalgono alle condizioni globali di equilibrio al contorno sulle stesse basi. D'altronde le condizioni globali di equilibrio al contorno sulle basi del cilindro insieme alle equazioni indefinite di equilibrio impongono la validità delle condizioni di equivalenza statica nelle sezioni rette delle travi.

Vediano di esprimere in componenti le varie egrazioni, ancora assumendo che l'asse X coincida con l'asse della trave e l'origine con il bariantro di ma sezione di estremità.

Egissiani indefinite di agrilibrio (ox= oy= Txy=0):

$$\begin{cases}
\frac{\partial \tau_{xx}}{\partial x} = 0 & \Rightarrow \tau_{xx} = \tau_{xx}(x, y) \\
\frac{\partial \tau_{yx}}{\partial x} = 0 & \Rightarrow \tau_{yx} = \tau_{yx}(x, y) \\
\frac{\partial \tau_{xx}}{\partial x} + \frac{\partial \tau_{yx}}{\partial y} + \frac{\partial \sigma_{x}}{\partial x} = 0
\end{cases}$$

Legame astitutivo (tro= 5):

$$\begin{bmatrix} \underline{\varepsilon} \end{bmatrix} = \frac{1}{E} \left\{ \begin{pmatrix} 1+\nu \end{pmatrix} \begin{bmatrix} 0 & 0 & \tau_{z_{\underline{t}}} \\ 0 & 0 & \tau_{y_{\underline{t}}} \\ \tau_{x_{\underline{t}}} & \tau_{y_{\underline{t}}} & \sigma_{\underline{t}} \end{bmatrix} - \nu \begin{bmatrix} \sigma_{\underline{t}} & 0 & 0 \\ 0 & \sigma_{\underline{t}} & 0 \\ 0 & 0 & \sigma_{\underline{t}} \end{bmatrix} \right\},$$

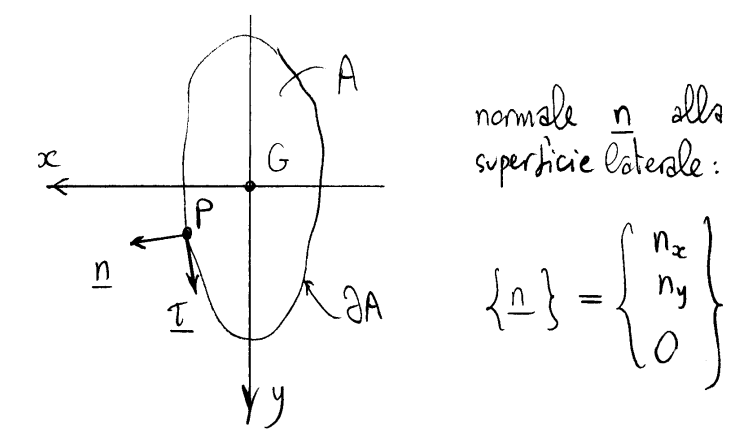
e quindi:

$$\begin{bmatrix} \underline{\varepsilon} \end{bmatrix} = \frac{1}{E} \begin{bmatrix} -\nu \sigma_{\underline{x}} & 0 & (1+\nu) \nabla_{\underline{x}\underline{v}} \\ 0 & -\nu \sigma_{\underline{x}} & (1+\nu) \nabla_{\underline{y}\underline{v}} \\ (1+\nu) \nabla_{\underline{x}\underline{v}} & (1+\nu) \nabla_{\underline{y}\underline{v}} & \sigma_{\underline{x}} \end{bmatrix}.$$

Equilibrio sulla superficie laterale

$$\left\{ \underline{\sigma} \underline{n} \right\} = \begin{bmatrix} 0 & 0 & \tau_{x\xi} \\ 0 & 0 & \tau_{y\xi} \\ \tau_{x\xi} & \tau_{y\xi} & \sigma_{\xi} \end{bmatrix} \begin{cases} n_{x} \\ n_{y} \\ 0 \end{cases} = \begin{cases} 0 \\ 0 \\ \tau_{x\xi} n_{x} + \tau_{y\xi} n_{y} \end{cases}$$

$$\underline{\sigma}\underline{n} = \underline{0} \implies \boxed{\tau_{xx} n_x + \tau_{yx} n_y = 0} \Rightarrow \underline{\tau} \cdot \underline{n} = 0$$



$$\left\{ \underline{\cap} \right\} = \left\{ \begin{array}{c} n_{x} \\ n_{y} \\ O \end{array} \right\}$$

La tensione langenziale totale I in un punto P appartenente el outorno DA di una generica sezione retta deve essere tougente al contarno della sezione.

Equivalenza statica nelle sezioni rette

La tensione σe_z ha le segrenti componenti:

$$\left\{\boldsymbol{\sigma}\boldsymbol{e}_{z}\right\}_{z} = \left\{\begin{array}{l} \tau_{xx} \\ \tau_{yx} \\ \tau_{x} \end{array}\right\}_{z}$$

Il momento della terraione σe_z rispetto al baricentro risulta:

$$(P-G)\times \sigma e_z = \begin{vmatrix} \underline{e}_x & \underline{e}_y & \underline{e}_{\chi} \\ x & y & 0 \\ \tau_{\chi\chi} & \tau_{y\chi} & \sigma_{\chi} \end{vmatrix},$$

e grindi si haure le componenti:

$$\left\{ (P-G) \times \boldsymbol{\sigma} \boldsymbol{e}_{z} \right\} = \left\{ \begin{array}{c} \sigma_{z} \, y \\ -\sigma_{z} \, x \end{array} \right\}.$$

$$\left\{ \chi_{yz} - \zeta_{xz} \right\}.$$

Si ottiene quindi:

$$\int_{A_{\ell}} G_{\xi} dA = N$$

$$\int_{A_{\ell}} G_{\xi} y dA = M_{\chi} - T_{y} (\ell - z) ;$$

$$\int_{A_{\ell}} G_{\xi} x dA = -M_{y} - T_{\chi} (\ell - z)$$

$$\int_{A} (T_{y\xi} x - T_{\chi\xi} y) dA = M_{t}$$

$$\int_{A} T_{y\xi} dA = T_{\chi}$$

$$\int_{A} T_{y\xi} dA = T_{y}$$

3.5 Energia complementare elastica

Sotto l'ipotesi di Saint-Venant ($x_{xy} = 6_x = 6_y = 0$) l'energia complementare elastica per unità di volume assume l'aspetto:

$$\Psi_{\nu} = \frac{1}{2E} \left(\frac{1}{\Gamma \sigma} \right)^{2} - \frac{1+\nu}{E} \sigma_{II}$$

$$= \frac{\sigma_{\chi}^{2}}{2E} + \frac{\tau_{xx}^{2} + \tau_{yx}^{2}}{2G}.$$

L'energia complementare elssica per mita di linea si ottiene integrando nell'area la 4.

$$\Psi_{\ell} = \int_{A} \frac{\sigma_{\chi}^{2}}{2E} dA + \int_{A} \frac{\tau_{\chi\chi}^{2} + \tau_{\chi\chi}^{2}}{2G} dA.$$

3.6 Soluzione del problema di Saint-Venant in termini di tensioni

Il tensore degli sforzi, soluzione del problema di Saint-Venant, può essere ottenuto integrando le eguzzioni di Beltanii:

$$(1+r)\left(\frac{\partial \sigma_{ij}}{\partial x^{2}} + \frac{\partial \gamma_{ij}}{\partial y^{2}} + \frac{\partial \gamma_{ij}}{\partial x^{2}} + \frac{\partial \gamma_{ij}}{\partial x^{2}}\right) + \frac{\partial z}{\partial x_{i}\partial x_{j}}(tr\sigma) = 0.$$

Le equazioni di Beltrani rappresentano le condizioni necessarie (e sufficienti nel caso di sezione nonoconnessa) per l'integrazione, in termini di spostamento, del tensore di deformazione attenibile dal tensore degli sforzi via legame costitutivo.

Le equazioni di Beltrani, scritte per esteso tenendo conto delle ipotesi di Saint-Venant (cioe)

$$\begin{aligned}
&\delta_{\mathbf{x}} = \delta_{\mathbf{y}} = \tau_{\mathbf{x}\mathbf{y}} = 0 & \text{e qvindi} & \text{tr } \underline{\sigma} = \delta_{\mathbf{x}} \end{aligned} \right) \text{ diverbown}: \\
&i \equiv j \equiv \chi \Rightarrow \frac{\partial^{2} \delta_{\mathbf{x}}}{\partial x^{2}} = 0 , \\
&i \equiv j \equiv \chi \Rightarrow (1+\nu) \left(\frac{\partial^{2} \delta_{\mathbf{x}}}{\partial x^{2}} + \frac{\partial^{2} \delta_{\mathbf{x}}}{\partial y^{2}} + \frac{\partial^{2} \delta_{\mathbf{x}}}{\partial x^{2}} \right) + \frac{\partial^{2} \delta_{\mathbf{x}}}{\partial x^{2}} = 0 , \\
&i \equiv \chi, \ j \equiv \chi \Rightarrow (1+\nu) \left(\frac{\partial^{2} \delta_{\mathbf{x}\mathbf{x}}}{\partial x^{2}} + \frac{\partial^{2} \delta_{\mathbf{x}\mathbf{x}}}{\partial y^{2}} + \frac{\partial^{2} \delta_{\mathbf{x}\mathbf{x}}}{\partial x^{2}} \right) + \frac{\partial^{2} \delta_{\mathbf{x}}}{\partial x \partial x} = 0 , \\
&i \equiv \chi, \ j \equiv \chi \Rightarrow (1+\nu) \left(\frac{\partial^{2} \delta_{\mathbf{x}\mathbf{x}}}{\partial x^{2}} + \frac{\partial^{2} \delta_{\mathbf{x}\mathbf{x}}}{\partial y^{2}} + \frac{\partial^{2} \delta_{\mathbf{x}\mathbf{x}}}{\partial x^{2}} \right) + \frac{\partial^{2} \delta_{\mathbf{x}}}{\partial x \partial x} = 0 , \\
&i \equiv y, \ j \equiv \chi \Rightarrow (1+\nu) \left(\frac{\partial^{2} \delta_{\mathbf{x}\mathbf{x}}}{\partial x^{2}} + \frac{\partial^{2} \delta_{\mathbf{x}\mathbf{x}}}{\partial y^{2}} + \frac{\partial^{2} \delta_{\mathbf{x}\mathbf{x}}}{\partial x^{2}} \right) + \frac{\partial^{2} \delta_{\mathbf{x}}}{\partial x \partial x} = 0 , \\
&i \equiv y, \ j \equiv \chi \Rightarrow (1+\nu) \left(\frac{\partial^{2} \delta_{\mathbf{x}\mathbf{x}}}{\partial x^{2}} + \frac{\partial^{2} \delta_{\mathbf{x}\mathbf{x}}}{\partial y^{2}} + \frac{\partial^{2} \delta_{\mathbf{x}\mathbf{x}}}{\partial x^{2}} \right) + \frac{\partial^{2} \delta_{\mathbf{x}}}{\partial x \partial x} = 0 .
\end{aligned}$$

Utilizzando le prime due, la terza equazione diventa:

$$\frac{\partial^2 \sigma_{\xi}}{\partial \xi^2} = 0.$$

Utilizzando la prima e la seconda equazione indefinita di equilibrio, la quinta e la sesta equazione di Beltrami divengono:

$$(1+\nu)\left(\frac{\partial^2 \tau_{xz}}{\partial x^2} + \frac{\partial^2 \tau_{xz}}{\partial y^2}\right) + \frac{\partial^2 \sigma_{z}}{\partial x \partial z} = 0,$$

$$\left(1+\nu\right)\left(\frac{\partial^{2} \tau_{y\xi}}{\partial x^{2}} + \frac{\partial^{2} \tau_{y\xi}}{\partial y^{2}}\right) + \frac{\partial^{2} \sigma_{\xi}}{\partial y \partial \xi} = 0$$

Tensioni normali

Equazioni di Beltrami:

$$\frac{\partial^{2} G_{\frac{x}{2}}}{\partial x^{2}} = 0$$

$$\frac{\partial^{2} G_{\frac{x}{2}}}{\partial y^{2}} = 0$$

$$\Rightarrow G_{\frac{x}{2}} \text{ lineare in } x, y \in x$$
separatamente
$$\frac{\partial^{2} G_{\frac{x}{2}}}{\partial x^{2}} = 0$$

$$\frac{\partial^2 \sigma_z}{\partial x \partial y} = 0 \implies \text{nell espressione di } \sigma_z \text{ non esistano}$$
 termini misti in $x \in y$

Integrale generale per la tensione normale:

$$\mathcal{O}_{\frac{1}{2}} = \left(b_{1} + a_{1}\right) x + \left(b_{2} + a_{2}\right) y + b_{3} + a_{3}.$$

Le costanti di integrazione possono essere determinate imponendo le condizioni di equivalenza statica nelle sezioni rette:

$$\int_{A} \sigma_{\xi} dA = N,$$

$$\int_{A} \sigma_{\xi} y dA = M_{x} - T_{y}(\ell - \xi),$$

$$\int_{A} \sigma_{\xi} x dA = -M_{y} - T_{x}(\ell - \xi),$$

Dalla prima condizione si ottiene:

$$(b_3 \xi + a_3) A = N,$$

e quindi:

$$a_3 = \frac{N}{A}$$
, $b_3 = 0$.

Dalla seconda condizione si ottiene poi:

$$(b_2 + a_2) \int_x = M_x - T_y(\ell - \xi)$$
,

per cui:

$$a_z = \frac{M_x - T_y \ell}{J_x}$$
, $b_z = \frac{T_y}{J_x}$.

Dalla terza condizione si ottiene infine:

$$(b_1 + a_1) J_y = - M_y - T_x(l - t),$$

e quindi:

$$a_1 = -\frac{M_y + T_x \ell}{J_y}$$
, $b_1 = \frac{T_x}{J_y}$.

La tensione normale vale allora:

$$\sigma_{\mathbf{z}} = \frac{N}{A} + \frac{M_{\mathbf{x}} - T_{\mathbf{y}}(\ell - \mathbf{z})}{J_{\mathbf{x}}} \mathbf{y} - \frac{M_{\mathbf{y}} + T_{\mathbf{x}}(\ell - \mathbf{z})}{J_{\mathbf{y}}} \mathbf{z}.$$

L'espressione della tensione normale, scritta in

funzione delle caratteristiche della sollecitazione, diventa

dunque:

$$\mathcal{I}_{\chi} = \frac{N}{A} + \frac{M_{x}}{J_{x}} y - \frac{M_{y}}{J_{y}} x.$$

L'energia complementare elastica per unità di line 2 associata alla tensione normale diventa:

$$\frac{1}{2E} \int_{A} \delta_{x}^{2} dA$$

$$= \frac{1}{2E} \int_{A} \left\{ \frac{N^{2}}{A^{2}} + \frac{M_{x}^{2}}{J_{x}^{2}} y^{2} + \frac{M_{y}^{2}}{J_{y}^{2}} x^{2} + 2\frac{N}{A} \frac{M_{x}}{J_{x}} y - 2\frac{N}{A} \frac{M_{y}}{J_{y}} x - \frac{M_{x}}{J_{x}} \frac{M_{y}}{J_{y}} x y \right\} dA .$$

Tevendo conto che sono nulli i momenti statici rispetto ad assi baricentrici e il nomento centrifigo rispetto agli assi principali, risulta:

$$\int_{A} x dA = \int_{A} y dA = \int_{A} xy dA = 0,$$

e dunque:

$$\Psi_{\ell} = \frac{1}{2} \left(\frac{N^2}{EA} + \frac{M_x^2}{EJ_x} + \frac{M_y^2}{EJ_y} \right) .$$

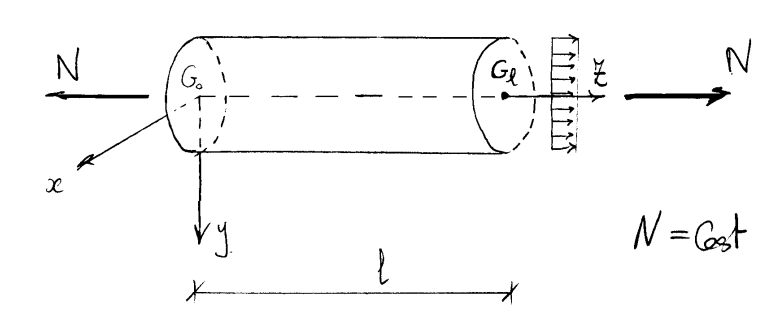
Notare che la scelta del baricentro quale polo di riduzione per il calcolo dei momenti Mae My e la scelta degli assi x e y quali assi principali di inerzia rende le sollecitazioni N, Mae My ortogonali energeticamente, nel senso che il loro lavoro mutuo e' nullo.

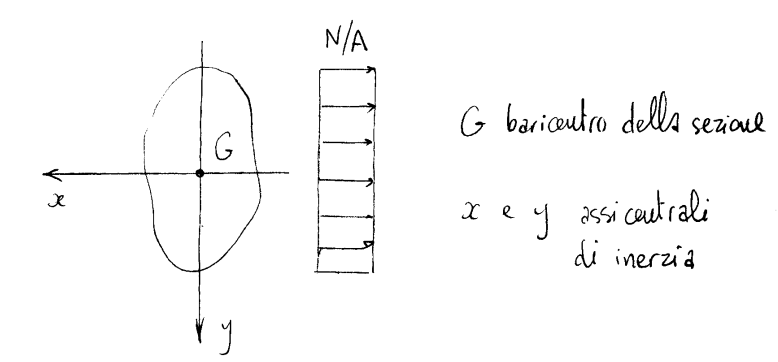
3.8 Sforzo normale centrato

Trave soggetta à storre normale centrato:

N≠0,

$$T_x = T_y = M_x = M_y = M_t = 0$$
.





Il campo tensionale soluzione visulta:

$$C_{\xi} = \frac{N}{A}$$
, $C_{x\xi} = C_{y\xi} = 0$,

Il compo delle deformazioni si ottiene dolla celozione inversa di Hooke:

$$\underline{\varepsilon} = \frac{1}{E} \left\{ (1+\nu)\underline{\sigma} - \nu(\mathrm{tr}\underline{\sigma}) \underline{I} \right\}.$$

Paicher:

$$\begin{bmatrix} \underline{\sigma} \end{bmatrix} = \begin{bmatrix} 0 & () & 0 \\ 0 & 0 & 0 \\ 0 & 0 & \frac{N}{A} \end{bmatrix}, \quad \text{fr } \underline{\sigma} = \frac{N}{A},$$

risulta:

$$\begin{bmatrix} \mathbf{\underline{\varepsilon}} \end{bmatrix} = \frac{N}{\mathsf{FA}} \begin{bmatrix} -V & O & O \\ O & -V & O \\ O & O & 1 \end{bmatrix}.$$

Oradiente della rotazione locale rigida:

$$\frac{\partial w_{ij}}{\partial x_{k}} = \frac{\partial \varepsilon_{ik}}{\partial x_{j}} - \frac{\partial \varepsilon_{jk}}{\partial x_{i}} = 0, \quad (i,j) = \begin{cases} (\xi,y) \\ (y,z) \end{cases}.$$

A meno di una inessenziale rotazione rigida globale di tutto il cilindro risulta:

$$\begin{cases} \underline{\omega} = \underline{0} \\ \text{grad } \underline{\mathbf{u}} = \underline{\varepsilon} \end{cases}, \qquad \underline{\mathbf{u}} = \begin{cases} \mathbf{u} \\ \mathbf{v} \\ \mathbf{w} \end{cases}.$$

Integrando si ottiene quindi:

$$u = - \frac{N}{EA} x + f(y, x).$$

Risulta:

$$\frac{\partial u}{\partial y} = \frac{\partial f}{\partial y} = 0 \implies f = g(\mathbf{z}) ,$$

$$\frac{\partial u}{\partial z} = \frac{\partial g}{\partial z} = 0 \implies g = \cos z .$$

Una costante rappresenta una traslazione rigida, in tal caso nella direzione dell'asse x. A meno di tale traslazione rigida, la componente dello spostamento in direzione dell'asse x vale:

$$u = -\nu \frac{N}{EA} x .$$

Procedende sualegamente per ve x, si officere delivitivamente il qu'adro completo delle comparenti di sportamento:

$$u = -\frac{\sqrt{N}}{EA}x,$$

$$v = -\frac{\sqrt{N}}{EA}y,$$

$$w = \frac{N}{EA} X$$

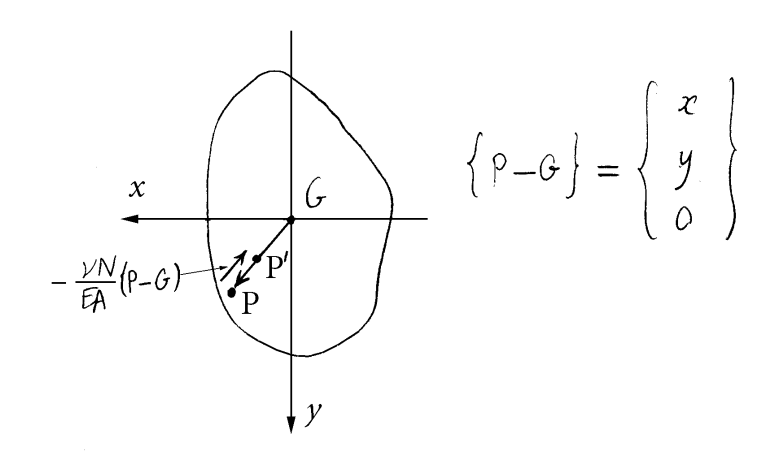
Tale compo di spostamenti puo essere separato in due quote:

$$\underline{u} = \frac{N}{EA} \left\{ \begin{array}{c} 0 \\ 0 \\ \xi \end{array} \right\} - \frac{N}{EA} \left\{ \begin{array}{c} x \\ y \\ 0 \end{array} \right\},$$

oppure, in forma vettoriale:

$$\underline{u} = \frac{N}{EA} \frac{2}{E} \frac{e_{k}}{EA} - \frac{VN}{EA} (P-G).$$

Il primo termine è indipendente da x ed y e quindi rappresenta una tastazione rigida della sezione (in direzione dell'asse z).



Il secondo termine ha componente w = 0 e dipende da x e da y. Rappresenta quindi una deformazione della sezione nel proprio piano.

Tale deformazione sposta un punto P in direzione della congiungente di P con G, e poiché il rapporto:

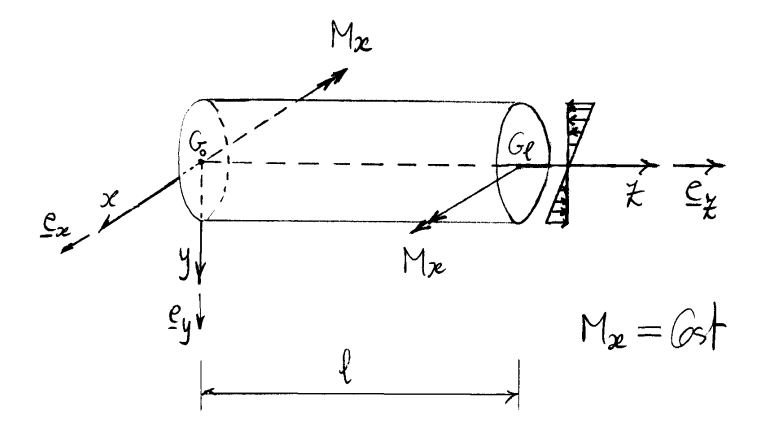
$$\frac{|P-P'|}{|P-G|} = \frac{VN}{EA},$$

è costante, cioé non dipende da P, tale deformazione rappresenta una *omotetia*.

Da tale decomposizione del campo degli spostamenti risulta evidente che la sezione resta piana.

3.9 Flessione retta

$$\begin{cases} N = M_y = T_x = T_y = M_t = 0, \\ M_x \neq 0. \end{cases}$$

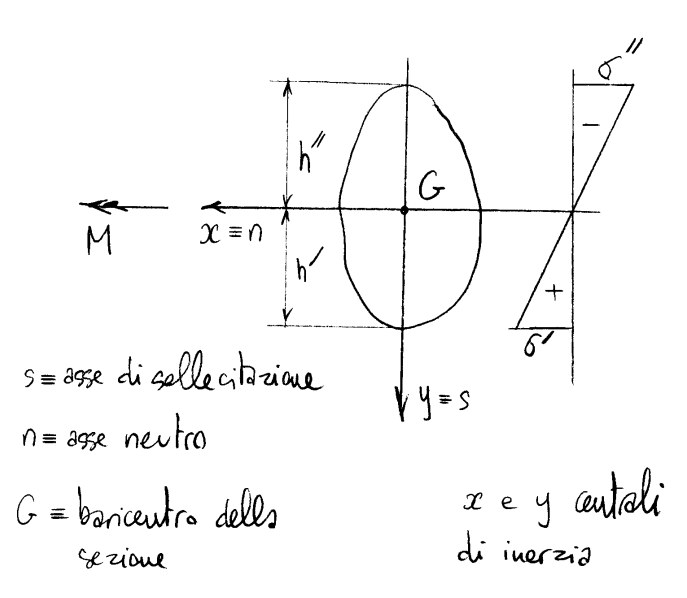


La soluzione generale nelle tenciami normali si riduce ella <u>formula di Nanier</u>:

$$G_{\frac{x}{2}} = \frac{M_x}{J_x} y,$$

mentre le tencioni tangenziali sano nulle:

$$t_{xz} = t_{yz} = 0$$
.



Tenendo ronto che:

$$\underline{\varepsilon} = \frac{1}{E} \left\{ (1+\nu) \underline{\sigma} - \nu \operatorname{tr} \underline{\sigma} \mathbf{I} \right\},$$

e che in componenti risulta:

$$\begin{bmatrix}
\underline{G}
\end{bmatrix} = \frac{M_{xz}}{J_{xz}} \begin{bmatrix}
0 & 0 & 0 \\
0 & 0 & 0 \\
0 & 0 & 4
\end{bmatrix},$$

 $tr \underline{\sigma} = \sigma_{\underline{z}}$

$$\begin{bmatrix} (tr \underline{\sigma})\underline{I} = \frac{M_x}{J_x} & 0 & 0 \\ 0 & y & 0 \\ 0 & 0 & y \end{bmatrix},$$

ne consegue il seguente tensore di deformazione infinitesima:

$$\left[\underline{\varepsilon}\right] = \frac{M_x}{E J_x} \begin{bmatrix} -\nu y & 0 & 0 \\ 0 & -\nu y & 0 \\ 0 & 0 & y \end{bmatrix}.$$

Notore che &=0 per y =0 overoxia lungo l'asse neutro.

Ricordiamo che la rotazione rigida dell'informadi un punto
e' rappresentata dal tensore di rotazione cu emisimmetrico
appure dal vettore rotazione of:

$$\begin{bmatrix} \underline{\omega} \end{bmatrix} = \begin{bmatrix} 0 - \omega_{yx} & \omega_{xx} \\ \omega_{yx} & 0 - \omega_{xy} \\ -\omega_{xx} & \omega_{xy} & 0 \end{bmatrix}, \qquad \{ \underline{\psi} \} = \begin{cases} \omega_{xy} \\ \omega_{xx} \\ \omega_{yx} \end{cases}.$$

Gradiente di ce:

$$\frac{\partial \omega_{ij}}{\partial x_{k}} = \frac{\partial \ell_{ik}}{\partial x_{j}} - \frac{\partial \ell_{jk}}{\partial x_{i}}.$$

Si noti che le componenti non nulle di $\underline{\ell}$ sono ℓ_{α} , ℓ_{y} , ℓ_{ξ} e che queste dipendono solo da y. Ne consegue che per avere derivate diverse dallo zero occorre che $x_{\hat{i}} = y$ oppure $x_{\hat{i}} = y$. Risulta:

$$\left[\operatorname{grad} \varphi \right] = \frac{M_x}{E J_x} \left[\begin{array}{ccc} 0 & 0 & 1 \\ 0 & 0 & 0 \\ \end{array} \right] \begin{array}{c} xy \\ x\xi \\ y \end{array} ,$$

e quindi:

$$\omega_{xy} = \frac{M_{x}}{EJ_{x}} \frac{y}{k},$$

$$\omega_{xk} = 0,$$

$$\omega_{yx} = \frac{M_{x}}{EJ_{x}} x,$$

a meno di inessenziali rotazioni rigide complessive di tutto il cilindro.

In definitiva:

$$\left[\underline{\omega}\right] = \frac{M_x}{EJ_x} \begin{bmatrix} 0 & -\nu x & 0 \\ \nu x & 0 & -\xi \\ 0 & \xi & 0 \end{bmatrix},$$

e quindi:

$$\left[\operatorname{grad} \underline{u} \right] = \left[\underline{\mathcal{E}} + \underline{\omega} \right] = \frac{M_{x}}{E J_{x}} \left[\begin{array}{ccc} -\nu y & -\nu x & 0 \\ \nu x & -\nu y & -\xi \\ 0 & \xi & y \end{array} \right].$$

Integrando negli spostamenti si ottiene:

$$\begin{cases}
\frac{\partial u}{\partial x} = -\nu \frac{M_x}{EJ_x} y \implies u = -\nu \frac{M_x}{EJ_x} xy + f(y, \xi) \\
\frac{\partial u}{\partial y} = -\nu \frac{M_x}{EJ_x} x \implies -\nu \frac{M_x}{EJ_x} x + \frac{\partial f}{\partial y} = -\nu \frac{M_x}{EJ_x} x \implies \frac{\partial f}{\partial y} = 0 \\
\frac{\partial u}{\partial x} = 0 \implies \frac{\partial f}{\partial x} = 0
\end{cases}$$

$$u = -\nu \frac{M_z}{EJ_x} xy + 6st$$

$$\frac{\partial v}{\partial x} = v \frac{Mx}{EJ_x} x \implies v = \frac{v}{2} \frac{Mx}{EJ_x} x^2 + f(y, \xi)$$

$$\frac{\partial v}{\partial y} = -v \frac{Mx}{EJ_x} y \implies \frac{\partial f}{\partial y} = -v \frac{Mx}{EJ_x} y \implies f = -\frac{v}{2} \frac{Mx}{EJ_x} y^2 + g(\xi)$$

$$\frac{\partial v}{\partial \xi} = -\frac{Mx}{EJ_x} \xi \implies \frac{dy}{d\xi} = -\frac{Mx}{EJ_x} \xi \implies y = -\frac{1}{2} \frac{Mx}{EJ_x} \xi^2$$

$$\boxed{v = \frac{Mx}{2EJ_x} \left\{ -\xi^2 + v(x^2 - y^2) \right\} + 6st}$$

$$\begin{cases} \frac{\partial w}{\partial x} = () \implies w = w(y, \xi) \\ \frac{\partial w}{\partial y} = \frac{M_x}{EJ_x} \xi \implies w = \frac{M_x}{EJ_x} y \xi + f(\xi) \\ \frac{\partial w}{\partial \xi} = \frac{M_x}{EJ_x} y \implies \frac{M_x}{EJ_x} y + \frac{df}{d\xi} = \frac{M_x}{EJ_x} y \implies \frac{df}{d\xi} = 0 \end{cases}$$

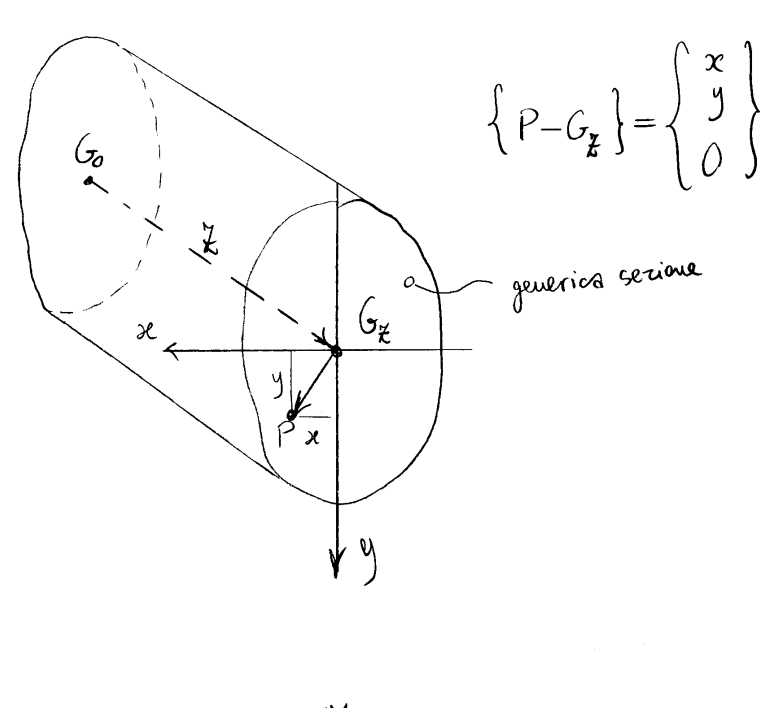
$$\boxed{w = \frac{M_x}{EJ_x} y \xi + Cost}$$

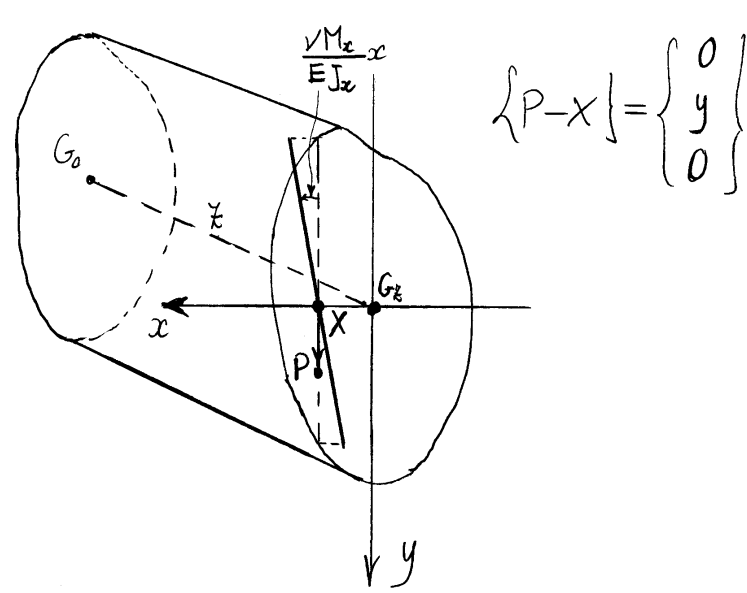
Quindi, a meno di un inessenziale moto rigido complessivo di traslazione, si offiche il segrente compo continuo di spostamenti:

$$\begin{cases}
V = -V \frac{M_x}{EJ_x} xy \\
V = \frac{M_x}{2EJ_x} \left\{ -\xi^2 + \nu(x^2 - y^2) \right\} \\
W = \frac{M_x}{EJ_x} y \xi
\end{cases}$$

Separando i vari contributi, e' possibile scrivere tale campo di spostamenti in forma matriciale nel mado seguente:

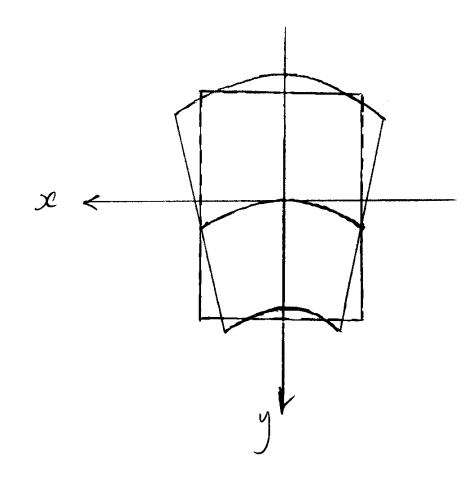
$$\left\{ \begin{array}{l} \underline{U} \\ \underline{J} \\$$





MdS Parte II — 31 agosto 2007

Deformazione della sezione nel proprio piano:



È possibile scrivere il compo di spostamenti, in forma vettoriale, nel mado seguente:

$$\underline{U} = -\frac{M_{x}}{2EJ_{x}} \chi^{2} \underline{e}_{y} + \frac{M_{x}}{EJ_{x}} \chi \underline{e}_{x} \chi(P-Q_{x})$$

$$+ \frac{\nu}{2} \frac{M_{x}}{EJ_{x}} \chi^{2} \underline{e}_{y} + \nu \frac{M_{x}}{EJ_{x}} \chi \underline{e}_{x} \chi(P-X)$$

$$- \frac{\nu}{2} \frac{M_{x}}{EJ_{x}} y^{2} \underline{e}_{y}$$

Equazioni determinatrici delle tensioni tangenziali

$$\left\{
\frac{\partial^{2} T_{xx}}{\partial x^{2}} + \frac{\partial^{2} T_{xx}}{\partial y^{2}} = -\frac{1}{1+\nu} \frac{\partial^{2} \sigma_{x}}{\partial x \partial x} \right| \begin{array}{c} equation i \\ equation i \\ \frac{\partial^{2} T_{yx}}{\partial x^{2}} + \frac{\partial^{2} T_{yx}}{\partial y^{2}} = -\frac{1}{1+\nu} \frac{\partial^{2} \sigma_{x}}{\partial y \partial x} \end{array}$$

$$\left\{
\frac{\partial^{2} T_{xx}}{\partial x^{2}} + \frac{\partial^{2} T_{yx}}{\partial y^{2}} = -\frac{1}{1+\nu} \frac{\partial^{2} \sigma_{x}}{\partial y \partial x} \right| \begin{array}{c} equation e \\ equati$$

Utilizzando la soluzione nella Gy:

$$\begin{cases}
\frac{\partial^2 T_{xx}}{\partial x^2} + \frac{\partial^2 T_{xx}}{\partial y^2} = -\frac{1}{1+\nu} \frac{T_x}{J_y} \\
\frac{\partial^2 T_{yx}}{\partial x^2} + \frac{\partial^2 T_{yx}}{\partial y^2} = -\frac{1}{1+\nu} \frac{T_y}{J_x} \\
\frac{\partial T_{xx}}{\partial x} + \frac{\partial T_{yx}}{\partial y} = -\frac{T_y}{J_x} y - \frac{T_x}{J_y} x
\end{cases}$$

Condizione il contorne sulla superficie laterale:

$$f_{x \neq n_x} + f_{y \neq n_y} = 0$$

Condizioni di equivalenza statica nelle sezioni rette:

$$\int_{A} \tau_{xx} dA = T_{x}$$

$$\int_{A} \tau_{yx} dA = T_{y}$$

$$\int_{A} (\tau_{yx} x - \tau_{xxy}) dA = M_{t}$$

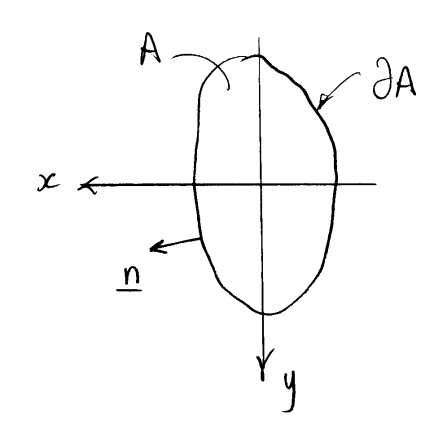
Ricordare che T_{xx} e T_{yx} sono indipendenti da x.

Notare che nelle equazioni definenti T_{xx} e T_{yx} compaiono solo le carafferistiche della solle citazione T_{x} , T_{y} e M_{t} . L'energia complementare associata
alle tensioni fangenziali:

$$\Psi_{\ell} = \frac{1}{2G} \int_{A} \left(\tau_{xx}^{2} + \tau_{yx}^{2} \right) dA \quad ,$$

e' dunque indipendente de N, Mx e My e quincli i due gruppi di caratteristiche della sollecitazione sono ortogonali energeticamente.

Per la costanza on & di Txx e Tyx si la dunque a che fare con un problema piano definito sulla sezione normale della trave.



3.11 Appendice (soluzione del problema delle tensioni tangenziali)

Derivando la terza equazione indefinità di equilibrio prima rispetto a z e poi rispetto a y si ottiene:

$$\frac{\partial^2 T_{xx}}{\partial x^2} + \frac{\partial^2 T_{yx}}{\partial x \partial y} = -\frac{T_x}{T_y},$$

$$\frac{\partial^2 T_{xx}}{\partial x \partial y} + \frac{\partial^2 T_{yx}}{\partial y^2} = -\frac{T_y}{T_x},$$

e cioè:

$$\begin{cases} \frac{\partial^2 \Gamma_{xx}}{\partial x^2} = -\frac{T_x}{J_y} - \frac{\partial^2 \Gamma_{yx}}{\partial x \partial y} \\ \frac{\partial^2 \Gamma_{yx}}{\partial y^2} = -\frac{T_y}{J_x} - \frac{\partial^2 \Gamma_{xx}}{\partial x \partial y} \end{cases},$$

Sostituendo nelle due equazioni di Beltanni si officue:

$$\begin{cases} \frac{\partial}{\partial y} \left(\frac{\partial \tau_{xx}}{\partial y} - \frac{\partial \tau_{yx}}{\partial x} \right) = \frac{\nu}{1 + \nu} \frac{T_{x}}{J_{y}} \\ \frac{\partial}{\partial x} \left(\frac{\partial \tau_{yx}}{\partial x} - \frac{\partial^{2} \tau_{xx}}{\partial y} \right) = \frac{\nu}{1 + \nu} \frac{T_{y}}{J_{x}} \end{cases}.$$

Integrando nella differenza $\frac{\partial T_{yx}}{\partial x} - \frac{\partial T_{xx}}{\partial y}$

e poueudo:

$$\overline{V} = \frac{V}{1+V}$$
,

si attiene:

$$\frac{\partial \tau_{yz}}{\partial x} - \frac{\partial \tau_{xz}}{\partial y} = \overline{V} \left(\frac{T_y}{T_x} x - \frac{T_x}{J_y} y \right) + c,$$

dove C e' una costante di integrazione.

Ci siano dunque ridotti ad un sistema di due equazioni differenziali del primo ordine:

$$\begin{cases}
\frac{\partial \tau_{yx}}{\partial x} - \frac{\partial \tau_{xx}}{\partial y} = \overline{r} \left(\frac{T_y}{J_x} x - \frac{T_x}{J_y} y \right) + c \\
\frac{\partial \tau_{xx}}{\partial x} + \frac{\partial \tau_{yx}}{\partial y} = -\frac{T_y}{J_x} y - \frac{T_x}{J_y} x
\end{cases}$$

definite su A, on ils condizione el outorno su DA:

$$T_{xx} n_x + T_{yx} n_y = 0$$
.

Per risolvere il sistema ponismo la soluzione nella forma:

$$\begin{cases} \tau_{x\xi} = \tau_{x\xi}^{\circ} + \overline{\tau}_{x\xi} \\ \tau_{y\xi} = \tau_{y\xi}^{\circ} + \overline{\tau}_{y\xi} \end{cases},$$

dove T_{xx} e T_{yx} appresentano un integrale particulare mentre T_{xx}° e T_{yx}° sono soluzione del sistema omogeneo:

$$\begin{cases}
\frac{\partial \tau_{yx}}{\partial x} - \frac{\partial \tau_{xx}}{\partial y} = 0 \\
\frac{\partial \tau_{xx}}{\partial x} + \frac{\partial \tau_{yx}}{\partial y} = 0
\end{cases}$$

on la condizione al contorno:

$$\left(\mathcal{T}_{x \xi}^{o} + \overline{\mathcal{T}_{x \xi}} \right) n_{x} + \left(\mathcal{T}_{y \xi}^{o} + \overline{\mathcal{T}_{y \xi}} \right) n_{y} = 0.$$

Per ricercare un integrale particulare notionache la prima equazione e' soddistattà se T_{yx} contiene il termine $\frac{1}{2}T \frac{T_y}{J_x}x^2$ e il termine $\frac{1}{2}Cx$ e se T_{xx} contiene il termine $\frac{1}{2}T \frac{T_x}{J_y}y^2$ e il termine $-\frac{1}{2}Cy$. Tutti questi termini non danno contributi alla seconda equazione che risulta pertanto soddistatta se a T_{yx} si agginge $-\frac{1}{2}T_y$ y^2 e se a T_{xx}

si aggivage $-\frac{1}{2}\frac{T_x}{J_y}x^2$. In definitive si e' oftenuto il seguente integrale particolore:

$$\begin{cases}
\overline{\zeta}_{x \nmid z} = -\frac{1}{2} \left\{ \frac{T_{x}}{J_{y}} \left(x^{2} - \overline{\nu} y^{2} \right) + c y \right\} \\
\overline{\zeta}_{y \nmid z} = -\frac{1}{2} \left\{ \frac{T_{y}}{J_{x}} \left(y^{2} - \overline{\nu} x^{2} \right) - c x \right\}
\end{cases}$$

l'equazione omogenea:

$$\frac{\partial \tau_{yx}}{\partial x} - \frac{\partial \tau_{xx}}{\partial y} = 0$$

e' condicione necessaria (e sufficiente se la sezione e' monoconnessa) per l'esistenza di ma finzione scolare y tale che:

$$\begin{cases}
\tau_{xx} = \frac{\partial \varphi}{\partial x} \\
\tau_{yx} = \frac{\partial \varphi}{\partial y}
\end{cases}$$

la seconda equazione omogenea diventa:

$$\frac{\partial^2 \varphi}{\partial x^2} + \frac{\partial^2 \varphi}{\partial y^2} = 0 \quad \text{in } A,$$

mentre l'egrazione al contorno diviene:

$$\frac{\partial \varphi}{\partial x} n_x + \frac{\partial \varphi}{\partial y} n_y = -\overline{\zeta}_{xx} n_x - \overline{\zeta}_{yx} n_y \quad \text{so } \mathcal{A}.$$

Ne risulta quindi il seguente problema di Neumann per l'equazione di Laplace:

$$\begin{cases}
\nabla^2 \varphi = 0 \\
\frac{\partial \varphi}{\partial \mathbf{n}} = -\overline{\zeta}_{x_{\sharp}} n_x - \overline{\zeta}_{y_{\sharp}} n_y
\end{cases}$$

La solvione esiste ed è mica, a meno di ma costante additiva, se e solo se:

$$\int_{\partial A} \frac{\partial \psi}{\partial n} \, ds = 0,$$

relazione senz'altro soddisfatta:

$$\int_{\partial A} \frac{\partial \psi}{\partial n} ds = -\int_{\partial A} (\overline{\tau}_{xk} n_x + \overline{\tau}_{yk} n_y) ds =$$

$$= -\int_{A} (\frac{\partial \overline{\tau}_{xk}}{\partial x} + \frac{\partial \overline{\tau}_{yk}}{\partial y}) dA =$$

$$= \int_{A} (\frac{T_x}{J_y} x + \frac{T_y}{J_x} y) dA = 0.$$

Sostituendo i valori di Txx e Tyx:

$$\begin{cases} \nabla^2 \varphi = O & \text{in } A \\ \frac{\partial \psi}{\partial n} = \frac{1}{2} \frac{T_x}{J_y} \left(x^2 - \overline{\nu} y^2 \right) n_x + \frac{1}{2} \frac{T_y}{J_x} \left(y^2 - \overline{\nu} x^2 \right) n_y \\ + \frac{1}{2} c \left(y n_x - x n_y \right) & \text{so } \partial A \end{cases}$$

Se yx, y e y sono tali che:

$$\begin{cases}
\nabla^2 \varphi_x = 0 & \text{in } A \\
\frac{\partial \varphi_x}{\partial n} = (x^2 - \overline{\nu}y^2) n_x & \text{sv} \partial A
\end{cases}
\left(\int_{\partial A} \frac{\partial \varphi_z}{\partial n} ds = \int_A 2x dA = 0 \right)$$

$$\begin{cases} \nabla^2 \Psi_y = 0 & \text{in } A \\ \frac{\partial \Psi_y}{\partial n} = (y^2 - \overline{\nu} x^2) n_y & \text{sin } \partial A \end{cases} \left(\int_{\partial A} \frac{\partial \Psi_y}{\partial n} ds = \int_{A} 2y dA = 0 \right)$$

$$\sqrt[3]{\frac{\partial u}{\partial h}} = \lambda u^{x} - x u^{y} \quad \text{and} \quad \left(\int_{\partial V} \frac{\partial u}{\partial u} dv = 0 \right)$$

si officie:

$$\varphi = \frac{1}{2} \frac{T_x}{T_y} \varphi_x + \frac{1}{2} \frac{T_y}{T_x} \psi_y + \frac{1}{2} c \psi_t$$

$$\int \tau_{xx} = \frac{\partial \psi}{\partial x} + \overline{\tau}_{xx}$$

$$\tau_{yx} = \frac{\partial \psi}{\partial y} + \overline{\tau}_{yx}$$

e cioè:

$$\int \tau_{xx} = \frac{1}{2} \left\{ \frac{T_x}{J_y} \left[\frac{\partial \mathcal{Y}_x}{\partial x} - \left(x^2 - \overline{\nu} y^2 \right) \right] + \frac{T_y}{J_x} \frac{\partial \mathcal{Y}_y}{\partial x} + c \left(\frac{\partial \mathcal{Y}_t}{\partial x} - y \right) \right\}$$

$$\tau_{yx} = \frac{1}{2} \left\{ \frac{T_x}{J_y} \frac{\partial \mathcal{Y}_x}{\partial y} + \frac{T_y}{J_x} \left[\frac{\partial \mathcal{Y}_y}{\partial y} - \left(y^2 - \overline{\nu} x^2 \right) \right] + c \left(\frac{\partial \mathcal{Y}_t}{\partial y} + x \right) \right\}$$

Risulta:

$$\int_{A} (\tau_{y\xi} x - \tau_{z\xi} y) dA =$$

$$= \frac{c}{2} \int_{A} \left\{ \left(\frac{\partial \psi_{t}}{\partial y} + x \right) x - \left(\frac{\partial \psi_{t}}{\partial x} - y \right) y \right\} dA +$$

$$- T_{x} \frac{1}{2J_{y}} \int_{A} \left[\frac{\partial f_{x}}{\partial x} - (x^{2} - \overline{\nu}y^{2}) \right] y - \frac{\partial f_{x}}{\partial y} x \right] dA +$$

$$+ T_{y} \frac{1}{2J_{x}} \int_{A} \left[\frac{\partial f_{y}}{\partial y} - (y^{2} - \overline{\nu}x^{2}) \right] x - \frac{\partial f_{y}}{\partial x} y \right] dA$$

Definendo il fattore torsionale di rigidezza:

$$J_{t} = \iint_{A} \left(\frac{\partial \varphi_{t}}{\partial y} + x \right) x - \left(\frac{\partial \varphi_{t}}{\partial x} - y \right) y dA$$

e posto:

$$\begin{cases} x_{S} = \frac{1}{2J_{x}} \int_{A} \left[\frac{\partial \ell_{y}}{\partial y} - (y^{2} - \overline{\nu}x^{2}) \right] x - \frac{\partial \ell_{y}}{\partial x} y \right] dA \\ y_{S} = \frac{1}{2J_{y}} \int_{A} \left[\frac{\partial \ell_{x}}{\partial x} - (x^{2} - \overline{\nu}y^{2}) \right] y - \frac{\partial \ell_{x}}{\partial y} x \right] dA \end{cases}$$

deve risultare (condizione globale di equilibrio):

$$\frac{c}{2} J_t - T_x y_s + T_y x_s = M_t$$

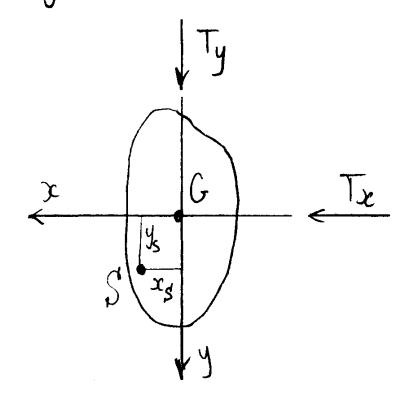
e ciae:

$$\frac{c}{2} = \frac{M_t + T_x y_s - T_y x_s}{J_t} = \frac{M_s}{J_t}$$

hove:

$$M_s = M_f + T_x y_s - T_y x_s$$

e' il maneuto torceute valutato rispetto al punto S di coordinate x_s ed y_s (punto che per $v \neq 0$ non coincide con il contra di taglio, come si vedrà più avanti).



Le tencioni tangenziali valgono quindi:

$$\left\{
\tau_{xy} = \frac{T_x}{2J_y} \left\{ \frac{\partial \Psi_x}{\partial x} - \left(x^2 - \overline{\nu}y^2\right) \right\} + \frac{T_y}{2J_x} \frac{\partial \Psi_y}{\partial x} + \frac{M_s}{J_t} \left(\frac{\partial \Psi_t}{\partial x} - y \right) \right\} \\
+ \frac{M_s}{J_t} \left(\frac{\partial \Psi_t}{\partial x} - y \right) \\
+ \frac{M_s}{2J_y} \left\{ \frac{\partial \Psi_t}{\partial y} - \left(y^2 - \overline{\nu}x^2\right) \right\} + \frac{M_s}{2J_x} \left\{ \frac{\partial \Psi_t}{\partial y} - \left(y^2 - \overline{\nu}x^2\right) \right\} + \frac{M_s}{J_t} \left(\frac{\partial \Psi_t}{\partial y} + x \right)$$

Verifichiamo che le tengioni oz, Txx, Tyz soddistano la terza eguszione indefinita di equilibrio:

$$\frac{\partial \tau_{xx}}{\partial x} + \frac{\partial \tau_{yx}}{\partial y} + \frac{\partial \sigma_{z}}{\partial z} = 0 \quad .$$

Risulb:

$$\frac{\partial \mathcal{L}_{xx}}{\partial x} = \frac{\mathcal{T}_{x}}{2J_{y}} \left(\frac{\partial^{2} \mathcal{I}_{x}}{\partial x^{2}} - 2x \right) + \frac{\mathcal{T}_{y}}{2J_{x}} \frac{\partial^{2} \mathcal{I}_{y}}{\partial x^{2}} + \frac{M_{5}}{J_{t}} \frac{\partial^{2} \mathcal{I}_{t}}{\partial x^{2}}$$

$$\frac{\partial \mathcal{L}_{yx}}{\partial y} = \frac{\mathcal{T}_{x}}{2J_{y}} \frac{\partial^{2} \mathcal{I}_{x}}{\partial y^{2}} + \frac{\mathcal{T}_{y}}{2J_{x}} \left(\frac{\partial^{2} \mathcal{I}_{y}}{\partial y^{2}} - 2y \right) + \frac{M_{5}}{J_{t}} \frac{\partial^{2} \mathcal{I}_{t}}{\partial y^{2}}$$

$$\frac{\partial \mathcal{G}_{x}}{\partial x} = \frac{\mathcal{T}_{x}}{J_{y}} x + \frac{\mathcal{T}_{y}}{J_{x}} y$$

Orindi, tenendo outo che $\nabla^2 f_x = \nabla^2 f_y = \nabla^2 f_t = 0$ l'egrazione indefinità di equilibrio risultà identicamente soddistattà.

Moltiplicandola per y e integrando sull'area della generica sezione retta si ottiene:

$$\iint_{A} \frac{\partial (\tau_{xx} y)}{\partial x} + \frac{\partial (\tau_{yx} y)}{\partial y} - \tau_{yx} + \frac{\partial (\sigma_{x} y)}{\partial x} \right\} = 0$$

MdS Parte II — 31 agosto 2007

e quindi:

$$\int_{\partial A} (\tau_{xx} n_x + \tau_{yx} n_y) y \, dA - \int_{A} \tau_{yx} \, dA + \frac{d}{dx} \int_{A} \sigma_{xy} \, dA = 0.$$

Tenende outo della condizione al contorne sulla superficie Paterale:

della relazione:

$$\frac{d}{dz}\int_{A}G_{z}ydA=\frac{dM_{z}}{dz}=\frac{d}{dz}\left\{M_{z}^{\ell}-T_{y}\left(\ell-z\right)\right\}=T_{y}^{r},$$

si ottiene infine l'identità:

$$\int_{A} \tau_{yx} dA = T_{y} .$$

Procededente in mode analoge (moltiplicando per x la cardizione indefinità di equilibrio e integrando) si ottiene poi la verifica della candizione:

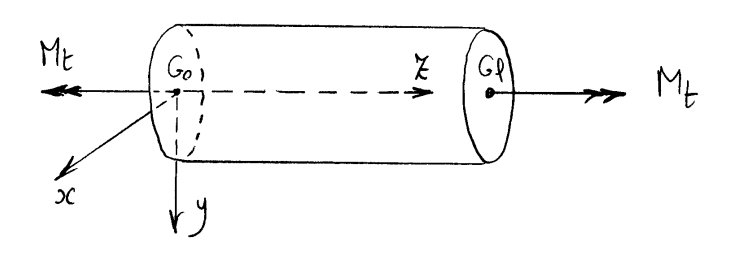
$$\int_{A} \tau_{xx} dA = T_{x} .$$

Capitolo 4

Problema della torsione

4.1 Funzione di ingobbamento

Si ha sollecitazione di torsione quando il cilindro di Saint-Venant e' soggetto alle due estremita ad una coppia torcente M_t.



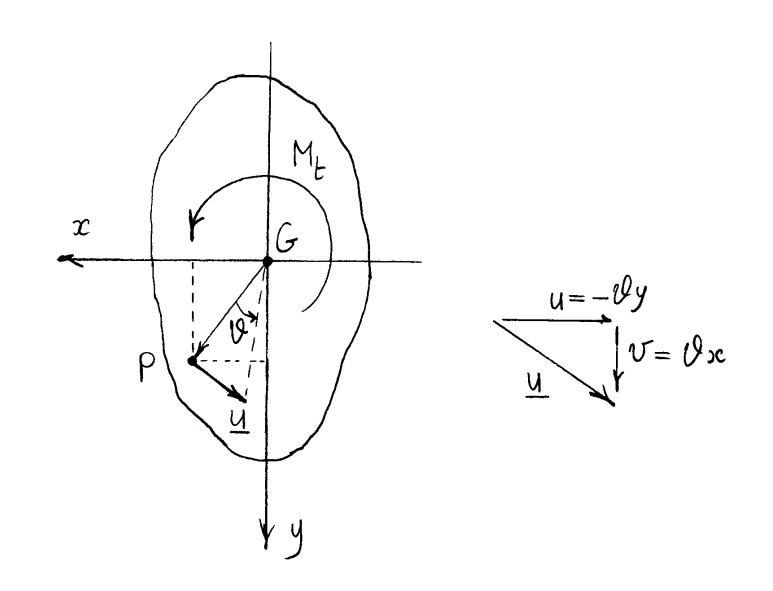
Sappiano che in tal caso non vi sono tensioni normali agenti su una qualunque sezione retta del cilindro. Risultano pertanto nulle le dibatazioni delle linee appartenenti alla sezione retta. Dato che la condizione $\tau_{xy}=0$ impone $\tau_{xy}=0$, sono nulli anche gli scorrimenti di tali linee. Questo significa che non vi e deformazione della sezione nel proprio piano. Si tenga conto che ciò non esclude un ingobbamento della sezione al di hvori del proprio piano.

Si assuma allora che la sezione retta generica, quindi dipendente dalla coordinata z, subisca un moto rigido nel proprio piano più una componente di spostamento nella direzione ortogonale alla sezione retta variabile da punto a punto, componente che in generale provocherà un ingobbamento della stessa sezione, che quindi non si conserverà piana.

Assumendo quale polo il baricentro, il moto rigido della sezione nel proprio piano si comporrà di due traslazioni, in direzione degli assi x e y rispettivamente, pari alle due componenti di spostamento $u_{\rm G}$ e $v_{\rm G}$ del baricentro nel proprio piano, più una rotazione torsionale θ attorno all'asse z baricentrico.

Poiche le tensioni normali devono essere nulle, deve essere nulla la dilatozione \mathcal{E}_{χ} delle fibre parallele a χ :

$$\xi_{k} = \frac{\partial w}{\partial k} = 0 \implies w = w(x, y).$$



La componente di spostamento e el clinque indipen= dente da Z. Le componenti di spostamento risultano:

$$y = u_G - y_g$$
, $v = v_G + y_g$, $w = f(x, y_g)$.

Le unide auponent: di deformazione van nulle sono (come deve essere) gli scorriment: V_{xx} e tyx:

$$\begin{cases} \chi_{xx} = \frac{\mathrm{d}u_{G}}{\mathrm{d}z} - \Theta y + \frac{\partial f}{\partial x} \\ \chi_{yx} = \frac{\mathrm{d}v_{G}}{\mathrm{d}z} + \Theta x + \frac{\partial f}{\partial y} \end{cases}.$$

dove:

$$\Theta = \frac{dV}{dx}$$
 · $\left(\frac{\text{angole unitario di torsione}}{}\right)$

le corrispondenti tensioni tangenziali risultano:

$$\begin{cases} \mathcal{L}_{xx} = G\left(\frac{\mathrm{d}u_{G}}{\mathrm{d}z} - \Theta y + \frac{\partial f}{\partial x}\right) \\ \mathcal{L}_{yx} = G\left(\frac{\mathrm{d}v_{G}}{\mathrm{d}z} + \Theta x + \frac{\partial f}{\partial y}\right) \end{cases}.$$

Poiche tali tensioni devono essere indipendenti da Z deve essere:

$$\frac{\mathrm{d}u_{\mathrm{G}}}{\mathrm{d}z} = \infty \mathrm{i} , \quad \frac{\mathrm{d}v_{\mathrm{G}}}{\mathrm{d}z} = \infty \mathrm{i} , \quad \Theta = \infty \mathrm{i} .$$

Quindi gli spostamenti u_G e v_G e la rotazione θ possono porsi nella forma:

$$u_{\rm G} = \Theta \, y_{\rm C} \, \xi \, , \quad v_{\rm G} = -\Theta \, x_{\rm C} \, \xi \, , \quad \emptyset = \Theta \, \xi \, ,$$

à mens di inessenziali moti rigidi di rotazione e di traslazione globali,

La contanna con X di 19 permette poi di serivere:

$$\mathscr{W} = \Theta \, \, \omega_{\mathrm{C}}(x,y) \, ,$$

dore la funcione $\omega_{C}(x,y)$ viene della <u>funcione di</u> <u>ingo bbamento</u>. Il campo degli spostamenti diventa quindi:

$$u = - \Theta(y - y_C) \xi,$$

$$U = \Theta(x - x_C) \xi,$$

$$W = \Theta(\omega_C(x, y)).$$

Da queste espressioni si deduce che le sezioni rette ruotano attorno al punho C di coordinate x_c e y_c .

Poiché tali coordinate sono arbitrarie è possibile scegliere il punto C coincidente con il baricentro, ottenendo un campo di spostamenti che differisce dal precedente di un moto rigido. Inoltre, a priori, ci si può aspettare che la funzione di ingobbamento dipenda in generale dal punto C. Si indichi allora con ω la funzione di ingobbamento relativa al baricentro. Il campo di spostamenti relativo al baricentro quale centro di rotazione lo si ottiene dal precedente ponendo $x_C=0$ e $y_C=0$:

$$\mathbf{u} = - \widehat{\boldsymbol{\Theta}} \ \mathcal{Y} \ \boldsymbol{\xi},$$

$$\mathcal{V} = \widehat{\boldsymbol{\Theta}} \ \boldsymbol{x} \ \boldsymbol{\xi},$$

$$\mathbf{w} = \widehat{\boldsymbol{\Theta}} \ \boldsymbol{\omega}.$$

La differenza tra i due campi di spostamento vale:

$$\mathbf{u}^{(C)} - \mathbf{u}^{(G)} = \widehat{\boldsymbol{\Theta}} \mathcal{Y}_{C} \boldsymbol{\xi},$$

$$\mathcal{V}^{(C)} - \mathcal{V}^{(G)} = -\widehat{\boldsymbol{\Theta}} \boldsymbol{x}_{C} \boldsymbol{\xi},$$

$$\mathbf{w}^{(C)} - \mathbf{w}^{(G)} = \widehat{\boldsymbol{\Theta}} (\boldsymbol{\omega}_{C} - \boldsymbol{\omega}),$$

e, in forma matriciale:

Il primo termine rappresents una rolazione rigida afforno

all'asse baricentrico per il centro di robazione (della prima sezione di estremita $(\chi=0)$. L'ampiezza della robazione rigida vale $\Theta \sqrt{\chi_c^2 + y_c^2}$.

Il secondo termine rappresenta uno spostamento rigido se e solo se la terza componente è costante. Poichè la funzione di ingobbamento è data a meno di una costante additiva, rappresentando questa una traslazione in direzione z, la relazione tra le funzioni di ingobbamento relative al punto C generico e al baricentro può porsi nella forma:

$$(\omega_{\rm C} - \omega) + \gamma_{\rm C} \chi - x_{\rm C} y = 0.$$

Utilizzando, come visto senza perdita di generalità, il campo di spostamenti relativo alla scelta del baricentro quale centro di rotazione delle sezioni rette, si ottengono allora i seguenti campi di deformazione e di tensione:

$$\begin{cases} \mathcal{X}_{xx} = \Theta\left(\frac{\partial w}{\partial x} - y\right) \\ \mathcal{X}_{yx} = \Theta\left(\frac{\partial w}{\partial y} + x\right) \end{cases} \qquad \begin{cases} \tau_{xx} = G\Theta\left(\frac{\partial w}{\partial x} - y\right) \\ \tau_{yx} = G\Theta\left(\frac{\partial w}{\partial y} + x\right) \end{cases}$$

oppure, in forma vettoriale:

$$\underline{Y} = \Theta \left\{ \Re(\omega + \underline{R}_{\frac{\pi}{2}}(P_{-}G)) \right\}$$

$$\underline{\mathcal{T}} = \mathbb{G} \oplus \left\{ \mathbf{y} \operatorname{rad} \omega + \underline{\mathbf{R}}_{\frac{\pi}{2}} \left(\mathbf{P} - \mathbf{G} \right) \right\},$$

dove $R_{\frac{\pi}{2}}$ e'il tensore robazione di 90° in direzione autioraria. La terza equazione indefinità di equilibrio richiede:

$$\frac{\partial \mathcal{T}_{x_{\overline{k}}}}{\partial x} + \frac{\partial \mathcal{T}_{y_{\overline{k}}}}{\partial y} = \operatorname{div} \underline{\tau} = 0,$$

doto the Ox=0. Quindi:

$$G\Theta\left(\frac{\partial^2 w}{\partial x^2} + \frac{\partial^2 w}{\partial y^2}\right) = G\Theta \operatorname{div}(\operatorname{grad} w) = 0,$$

g vrerossi a

$$\nabla^2 w = \operatorname{div}(\operatorname{grad} w) = 0 .$$

Alla surviour di ingobbamento e durque richiesto di soddisfare l'equazione di Laplace. Le condizioni al contorno sulla superficie laterale richiedano invece:

$$\underline{\langle} \cdot \underline{n} = \langle \chi_{xx} | \eta_{x} + \chi_{yx} | \gamma_{y} = 0 \rangle$$

quindi deve risultère:

$$G\Theta\left(\operatorname{grad}\omega\cdot\underline{n} + \left[\underline{R}_{\frac{\pi}{2}}(p_{-G})\right]\cdot\underline{n}\right) = 0,$$

e in definitiva:

$$\frac{\partial \boldsymbol{\omega}}{\partial \boldsymbol{n}} = \left[\underbrace{R_{\frac{\pi}{2}}^{T}}_{\boldsymbol{\gamma}} \left(P_{-\boldsymbol{\zeta}} \right) \right] \cdot \underline{\boldsymbol{n}} = y \, \boldsymbol{n}_{x} - x \, \boldsymbol{n}_{y} .$$

In conclusione, la funzione ce deve soddisfare il seguente problems di Neumann (dipendente solo

dalla sorma geometrica della sezione retta):

$$\begin{cases} \nabla^2 \boldsymbol{w} = 0 & \text{in } A \\ \frac{\partial \boldsymbol{w}}{\partial \boldsymbol{n}} = \boldsymbol{y} \, \boldsymbol{n}_{\boldsymbol{x}} - \boldsymbol{x} \, \boldsymbol{n}_{\boldsymbol{y}} & \text{so } \partial A \end{cases}.$$

La soluzione del problems di Neumann esiste ed e'unios (a meno di una inessenziale contante arbitaria) se e' soddistatta la condizione:

$$\int_{\partial \mathbf{A}} \frac{\partial \mathbf{w}}{d\mathbf{n}} d\mathbf{s} = 0 \qquad .$$

Verifichiamo che tale condizione e' soddisfatta:

$$\int_{\partial A} \frac{\partial \omega}{\partial n} ds = \int_{\partial A} (y n_x - x n_y) ds = (formula di Green)$$

$$= \int_{A} (\frac{\partial y}{\partial x} - \frac{\partial x}{\partial y}) dA = 0.$$

La relazione tra funzione di ingobbamento ω relativa al baricentro e quella ω_c relativa al generico punto C permette poi di affermare che ω_c è soluzione del seguente problema di Neumann:

$$\begin{cases} \frac{\partial^2 \omega_c}{\partial \chi^2} + \frac{\partial^2 \omega_c}{\partial y^2} = 0 \\ \frac{\partial \omega_c}{\partial n} = (y - y_c) n_x - (x - x_c) n_y \end{cases}$$

Inoltre, dato che la sezione circolare è l'unica nella quale il modello costitutivo locale dipendente dal moto rigido della sezione conduce a delle tensioni tangenziali soddisfacenti le condizioni al contorno, ci si può aspettare che questo sia l'unico caso in cui la funzione di ingobbamento si annulli, cioè che risulti $\omega=0$, naturalmente a meno di una costante additiva. Infatti nel caso, e solo nel caso, di sezione circolare il termine non omogeneo

$$\left[\underbrace{\mathsf{R}_{\frac{\pi}{2}}^{\mathsf{T}} \left(\mathsf{P}_{\!-} \mathsf{G} \right) \right] \cdot \underline{n}}$$

nella condizione al contorno si annulla, le condizioni al contorno diventano omogenee e il problema di Neumann ammette di conseguenza la soluzione nulla, come volevasi dimostrare.

4.2 Fattore torsionale di rigidezza

A questo punto resta solo da imporre la condizione globale di equilibrio sulle basi:

$$\int_{A} \left(\tau_{yx} x - \tau_{xx} y \right) dA = M_{t}$$

Si attiene:

$$G\Theta \int_{A} \left\{ \left(\frac{\partial \omega}{\partial y} + x \right) x - \left(\frac{\partial \omega}{\partial x} - y \right) y \right\} dA = M_{t}.$$

Definendo il fattore tersionale di rigidezza:

$$J_{t} = \int_{A} \left\{ \left(\frac{\partial \omega}{\partial y} + x \right) x - \left(\frac{\partial \omega}{\partial x} - y \right) y \right\} dA$$

$$= \int_{A} \left(\frac{\partial \omega}{\partial y} x - \frac{\partial \omega}{\partial x} y + x^{2} + y^{2} \right) dA,$$

risulta:

$$\Theta = \frac{M_t}{GJ_t} \cdot$$

Nel caso di sezione circolare in cui, come visto, $\omega = 0$, risulta:

$$J_t = \int_A (x^2 + y^2) dA = J_G,$$

dove JG è il momento di inerzia polare rispetto al baricentro.

La soluzione del problems della torsione (vía Ponzione di ingoldomento) risulta quindi:

$$\begin{cases}
u = -\frac{M_t}{GJ_t} \not\neq y \\
v = \frac{M_t}{GJ_t} \not\neq x
\end{cases}, \qquad
\begin{cases}
\tau_{xx} = \frac{M_t}{J_t} \left(\frac{\partial w}{\partial x} - y\right) \\
\tau_{yx} = \frac{M_t}{J_t} \left(\frac{\partial w}{\partial y} + x\right)
\end{cases},$$
oppure:
$$w = \frac{M_t}{GJ_t} \omega(x, y) \qquad \underline{\zeta} = \frac{M_t}{J_t} \left\{ \operatorname{grad} w + \underline{R}_{\frac{\pi}{2}}(P-G) \right\}.$$

Si noti che la funzione di ingobbamento ce e il fattere di rigidezza torsionale dipendono solo dalla Terma geometrica della sezione retta.

4.3 Energia complementare

Energia cauplementare per unità di linea:

$$\psi_{\ell} = \frac{1}{2G} \int_{A} (\tau_{xx}^{2} + \tau_{yx}^{2}) dA =$$

$$= \frac{M_{t}^{2}}{2GJ_{t}^{2}} \int_{A} \left[\left(\frac{\partial w}{\partial x} - y \right)^{2} + \left(\frac{\partial w}{\partial y} + x \right)^{2} \right] dA$$

$$= \frac{M_{t}^{2}}{2GJ_{t}^{2}} \left\{ \int_{A} \left[\left(\frac{\partial w}{\partial y} + x \right) x - \left(\frac{\partial w}{\partial x} - y \right) y \right] dA$$

$$+ \int_{A} \left[\frac{\partial w}{\partial x} \left(\frac{\partial w}{\partial x} - y \right) + \frac{\partial w}{\partial y} \left(\frac{\partial w}{\partial y} + x \right) \right] dA \right\}.$$

Poichè risulta:

$$\int_{A} \left[\frac{\partial w}{\partial x} \left(\frac{\partial w}{\partial x} - y \right) + \frac{\partial w}{\partial y} \left(\frac{\partial w}{\partial y} + x \right) \right] dA$$

$$= \int_{A} \left\{ \frac{\partial}{\partial x} \left(w \frac{\partial w}{\partial x} - w y \right) + \frac{\partial}{\partial y} \left(w \frac{\partial w}{\partial y} + w x \right) \right\} dA$$

$$= \int_{\partial A} \left(\frac{\partial w}{\partial x} \left(w \frac{\partial w}{\partial x} - w y \right) + \frac{\partial}{\partial y} \left(w \frac{\partial w}{\partial y} + w x \right) \right) dA = 0,$$

l'energià complementare assume l'aspetto:

$$\Psi_{\ell} = \frac{M_{\ell}^{2}}{2G J_{\ell}} .$$

4.4 Funzione delle tensioni

La terza condizione indefinita di equilibrio richiede:

$$\frac{\partial \tau_{xz}}{\partial x} + \frac{\partial \tau_{yz}}{\partial y} = 0.$$

Una qualunque funzione scalare F(x, y) tale che:

$$\tau_{xz} = \frac{\partial F}{\partial y}, \qquad \tau_{yz} = -\frac{\partial F}{\partial x},$$

o, equivalentemente:

$$\boldsymbol{\tau} = \boldsymbol{R}_{\frac{\pi}{2}}^{\mathrm{T}} \operatorname{grad} F$$
,

ove al solito $\mathbf{R}_{\frac{\pi}{2}}$ è il tensore rotazione di 90° in senso antiorario, rende automaticamente soddisfatta l'equazione indefinita di equilibrio. Una funzione F cosiffatta è detta *funzione delle tensioni*.

Dal confronto con la soluzione in termini di funzione di ingobbamento si ottiene:

$$\operatorname{grad} \omega = \frac{J_{\mathrm{t}}}{M_{\mathrm{t}}} \boldsymbol{\tau} + \boldsymbol{R}_{\frac{\pi}{2}}^{\mathrm{T}} \left(P - G \right) = \boldsymbol{R}_{\frac{\pi}{2}}^{\mathrm{T}} \left\{ \frac{J_{\mathrm{t}}}{M_{\mathrm{t}}} \operatorname{grad} F + \left(P - G \right) \right\},$$

oppure, in componenti:

$$\begin{cases} \frac{\partial \omega}{\partial x} = \frac{J_t}{M_h} \frac{\partial F}{\partial y} + y \\ \frac{\partial \omega}{\partial y} = -\frac{J_t}{M_h} \frac{\partial F}{\partial x} - x \end{cases}$$

Derivando la prima rispetto ad y e la seconda rispetto ad x ed uguagliando si attiene la conclizione necessaria (e sufficiente se la sezione e monoconnessa) di integrabilità nella funzione α di ingobbamento (congruenza). Si ottiene:

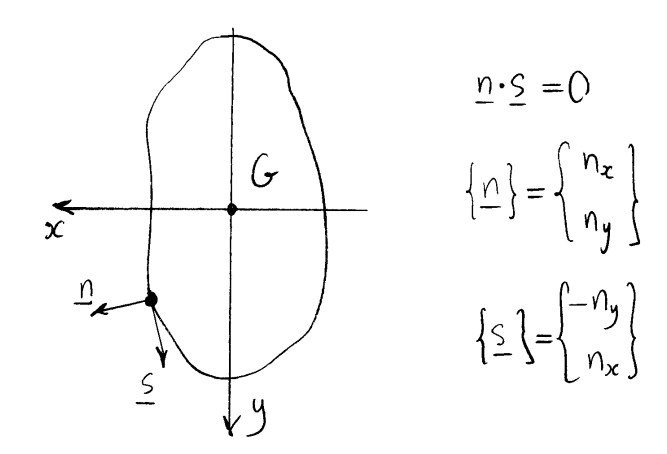
$$\frac{J_{t}}{M_{f}} \frac{\partial^{2} F}{\partial y^{2}} + 1 = -\frac{J_{f}}{M_{f}} \frac{\partial F}{\partial x^{2}} - 1,$$

ovverossia F deve soddisfare la seguente equazione di Poisson:

$$\nabla^2 F = -2 \frac{M_t}{J_t} .$$

Per quel che riguarda la condizione al contorno:

$$\boldsymbol{\tau} \cdot \boldsymbol{n} = 0.$$



questa diventa:

$$\left(\mathbf{R}_{\frac{\pi}{2}}^{\mathrm{T}} \operatorname{grad} F\right) \cdot \mathbf{n} = 0.$$

Applicando la definizione di tensore trasposto si ha poi:

$$\operatorname{grad} F \cdot \mathbf{R}_{\frac{\pi}{2}} \mathbf{n} = 0,$$

e poiché ruotando il versore normale al contorno della sezione retta di 90° in senso antiorario si ottiene il versore tangente s si ha infine:

$$\operatorname{grad} F \cdot \mathbf{s} = 0 \qquad \Rightarrow \qquad \frac{\partial F}{\partial s} = 0.$$

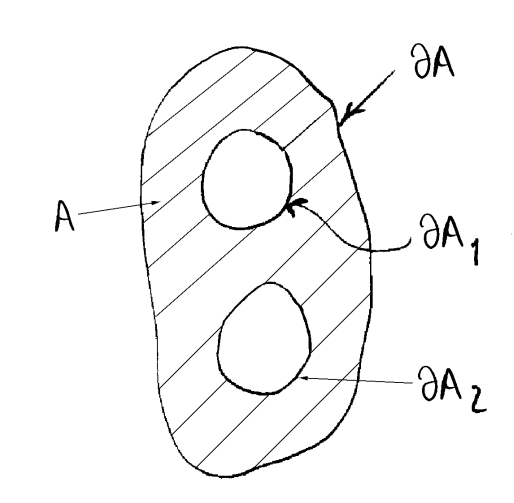
Ovindi F e' ostante sul contorno, e, psiche una costante non modifica la stato tensionale, puol essere annullata.

la horiour selle tensioni e' dunque soluzione del seguente problema di Dirichlet:

$$\int \nabla^2 F = -2 \frac{Mt}{J_t} \quad \text{in A}$$

$$F = Q \quad \text{so } \partial A$$

Notianno che se la serioue e pluriconnessa, si può porre F=0 sul outorno esterno, ma non sugli altri contorni, dave a questo punto e solo possibile dire che F=cost.



La condizione di integrabilità in una funzione ω di ingobbamento richiede che sia soddisfatta la condizione di circuitazione sui contorni interni:

$$\int_{\partial A_{i}} \frac{\partial \omega}{\partial s} \, ds = \int_{\partial A_{i}} \left(\frac{\partial \omega}{\partial y} \, \mathbf{n}_{x} - \frac{\partial \omega}{\partial x} \, \mathbf{n}_{y} \right) ds = Q.$$

dove l'indice i si riferisce all'i-esimo contorno interno. Tenendo conto delle relocioni esistenti la ce e F si ottiene infine:

$$\int_{\partial A_{i}}^{\infty} \left(\frac{J_{t}}{M_{t}} \frac{\partial F}{\partial x} + x \right) n_{x} + \left(\frac{J_{t}}{M_{t}} \frac{\partial F}{\partial y} + y \right) n_{y} ds = 0$$

Quindi ogni contorno interno introduce una incognita (il valore della F sul contorno) ed una equazione. Con n circuiti interni si puo' procedere risolvendo il problema di Dirichlet in funzione dei valori F; incogniti sui contorni interni, dopodiche le n condizioni di circuitazione diventano n equazioni nelle n incognite F;

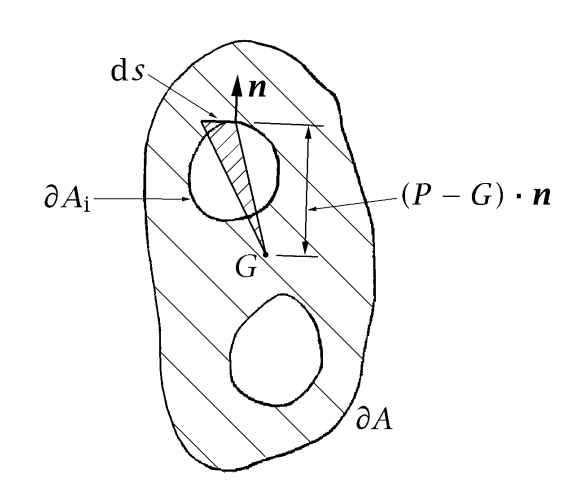
Per determinare il fattore torsionale di rigidezza J_t per il mezzo della funzione delle tensioni F, si imponga la condi-

zione di equivalenza statica:

$$\begin{split} M_{\mathsf{t}} &= \int_{A} \left(\tau_{yz} x - \tau_{xz} y \right) \mathrm{d}A \\ &= \int_{A} \left(-\frac{\partial F}{\partial x} x - \frac{\partial F}{\partial y} y \right) \mathrm{d}A \\ &= \int_{A} \left\{ 2F - \left[\frac{\partial (Fx)}{\partial x} + \frac{\partial (Fy)}{\partial y} \right] \right\} \mathrm{d}A \\ &= \int_{A} \left\{ 2F - \mathrm{div} \Big[F(P-G) \Big] \right\} \mathrm{d}A \\ &= 2 \int_{A} F \, \mathrm{d}A - \int_{\partial A} F(P-G) \cdot \mathbf{n} \, \mathrm{d}s - \sum_{i} \int_{\partial A_{i}} F(P-G) \cdot \mathbf{n} \, \mathrm{d}s. \end{split}$$

Nel caso generale di una sezione pluriconnessa, tenendo conto che sul contorno esterno ∂A si è posto F=0 e che sui contorni interni ∂A_i risulta $F=F_i=\cos t$, si ottiene:

$$M_{\rm t} = 2 \int_A F \, \mathrm{d}A - \sum_i F_i \int_{\partial A_i} (P - G) \cdot \boldsymbol{n} \, \mathrm{d}s.$$



Dato che:

$$\int_{\partial A_{\mathbf{i}}} F_{\mathbf{i}}(P - G) \cdot \mathbf{n} \, \mathrm{d}s = 2A_{\mathbf{i}},$$

dove A_i è l'area racchiusa dal contorno interno ∂A_i , ovverossia l'area dell'*i*-esimo foro, si ottiene infine:

$$M_{t} = 2\left(\int_{A} F \, \mathrm{d}A - \sum_{i} F_{i} A_{i}\right). \tag{1}$$

Nel caso di sezione monoconnessa la condizione diventa:

$$M_{\rm t} = 2 \int_A F \, \mathrm{d}A. \tag{2}$$

La soluzione in F del problems di Dirichlet e' data in termini di Mt che e' noto e di Jt che e' incognito. La condizione (1), oppure (2), permette di determinare il fattore di rigidezza torsionale Jt.

Verifichiame infine che la soluzione ottenuta soddisha la condizione $\underline{T} = \underline{0}$.

Infalti, da $\underline{T} = \underline{R}^T \operatorname{grad} F$ si officee:

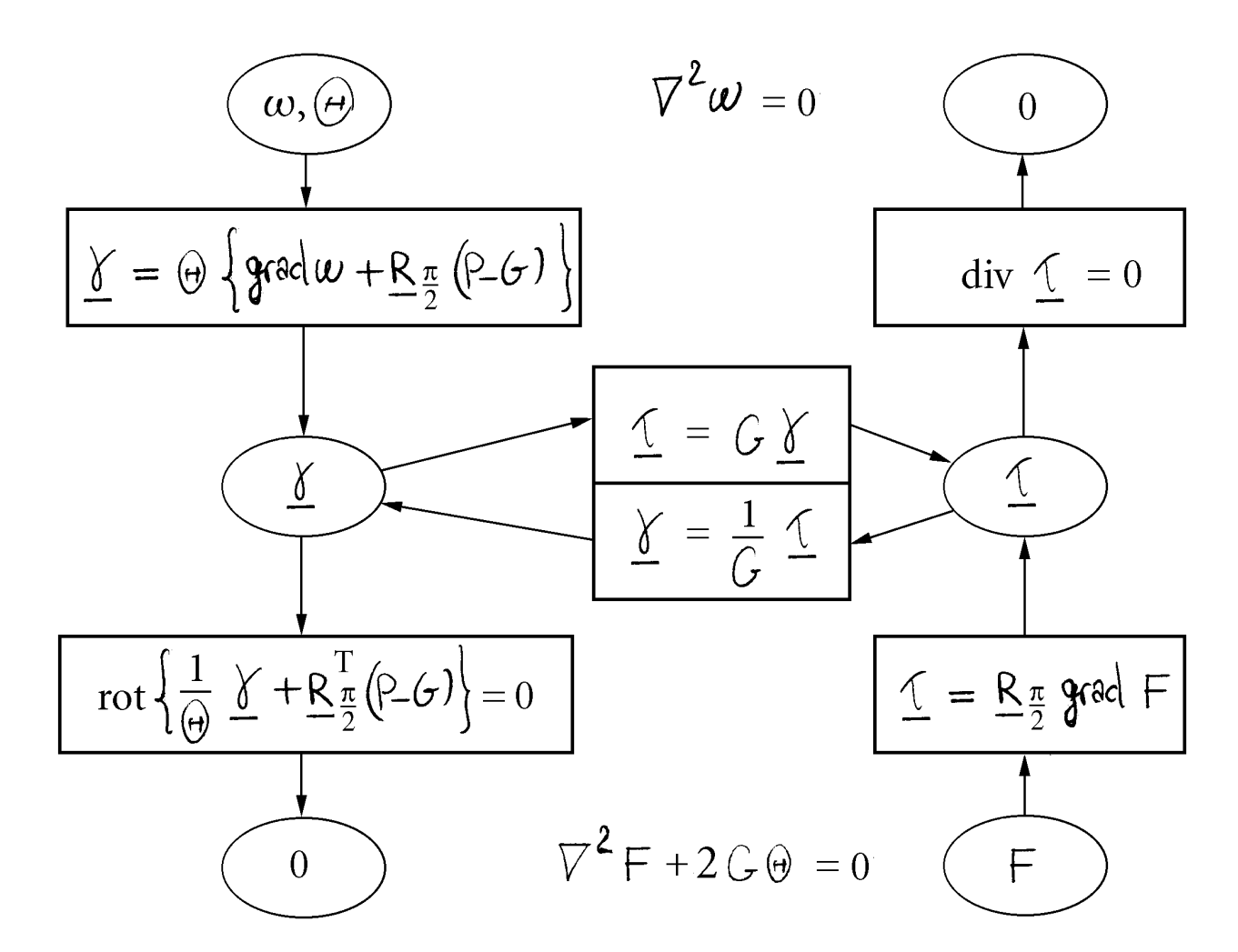
$$\underline{T} = \int_{A} \underline{R}^{T} \operatorname{grad} F dA = \underline{R}^{T} \int_{A} \operatorname{grad} F dA =$$

$$= \mathbf{R}^{T} \left(\int_{\partial A} F \, \mathbf{n} \, \mathrm{d}s + \sum_{i} \int_{\partial A_{i}} F \, \mathbf{n} \, \mathrm{d}s \right)$$

$$= \mathbf{R}^{T} \sum_{i} F_{i} \int_{\partial A_{i}} 1 \, \mathbf{n} \, \mathrm{d}s$$

$$= \mathbf{R}^{T} \sum_{i} F_{i} \int_{A} \operatorname{grad} 1 \, \mathrm{d}A = \underline{O},$$

come volevasi dimostrare.



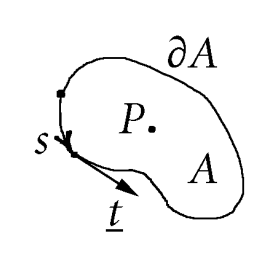
$$\operatorname{rot} \underline{v} = \frac{\partial v_y}{\partial x} - \frac{\partial v_x}{\partial y}$$

$$\operatorname{div} \underline{\mathcal{L}} = \operatorname{rot} \left(\underline{R}_{\frac{\pi}{2}} \underline{\mathcal{L}} \right)$$

$$\underline{R}_{\frac{\pi}{2}}^{\mathrm{T}}$$
 grad $F =
\begin{cases}
-\frac{\partial F}{\partial y} \\
\frac{\partial F}{\partial x}
\end{cases}$

$$\underline{R}_{\frac{\pi}{2}}^{\mathrm{T}}(P-G) = \begin{cases} -y \\ x \end{cases}$$

Campo vettoriale $\underline{\nu}$ piano Area piana A



Circolazione di \underline{v} sul contorno ∂A di A: $c(A) = \int_{\partial A}^{\mathbf{v}} \underline{v} \cdot \underline{t} \, ds$

Rotore di \underline{v} (circolazione per unità di area): rot $\underline{v} = \lim_{A \to P} \frac{c(A)}{A}$

Capitolo 5

Estensione del problema di Saint-Venant

Si estende al caso della trave generica, quindi anche ad asse curso, caricata sulla superficie laterale e a sezione variabile, l'epressione della energia elastica complementare per unità di linea attenuta nel caso del problema di S. Venant:

$$\Psi = \frac{1}{2} \left(\frac{N^2}{EA} + \frac{M_z^2}{EJ_x} + \frac{M_y^2}{EJ_y} \right) + \frac{1}{2G} \int_A \left(\frac{1}{2x} + \frac{1}{2y^2} \right) dA$$

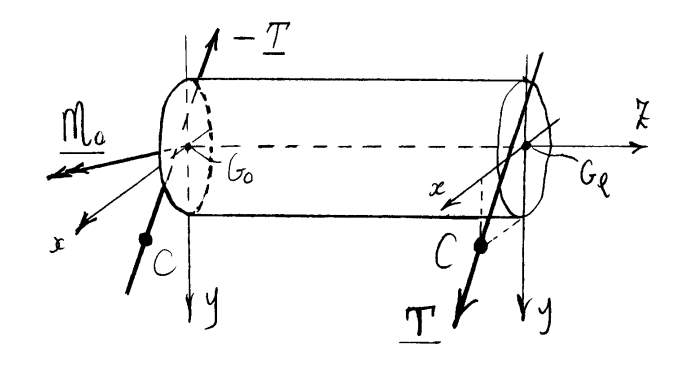
dove T_{xx} e T_{yx} some funcioni solo di T_x , T_y e M_t .

5.1 problema di flessione, taglio e torsione

Come prima cosa si determinerà il *centro di taglio* quale centro che renda ortogonali energeticamente il momento torcente M_t e le componenti di taglio T_x e T_y e a tale scopo sarà necessario impostare, anche se non risolvere, il *problema di flessione, taglio e torsione.*

Si ha sollecitazione di flessione, taglio e torsione se la sezione di estremità X = l e soggetta ad un taglio T generico, non necessariamente passante per il baricentro.

Sills bosse X=1 som dinque presenti le due componenti T_{x} e T_{y} dells forza di taglio e il

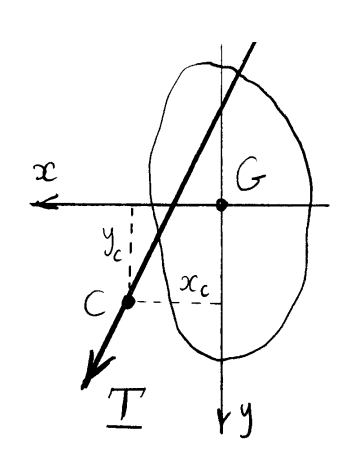


momento torcente M_t dovuto all'eccentrità della forza di taglio rispetto al bariantro. Se $C \equiv (x_c, y_c)$ e' un punto appartenente alla retta d'azione del taglio il manento torcente risulta:

$$M_{t} = T_{y} x_{c} - T_{x} y_{c}.$$

Inoltre, per l'equilibrio alla rotazione del cilindro, sulla base X = 0 e' presente un momento esterno M_0 di espressione:

$$M_o = -(G_\ell - G_o) \times T$$



e di componenti:

$$\begin{cases} M_x^o = T_y l \\ M_y^o = -T_x l \end{cases}$$
 (comparent i dell'azione globale Mo agente sulla prima)

Indlitre la caratteristica della sollecitazione momento Flettente ha componenti:

$$\begin{cases} M_{\infty}(x) = -T_{\mathcal{I}}(\ell-x) \\ M_{\mathcal{I}}(x) = T_{\infty}(\ell-x) \end{cases} \cdot \begin{pmatrix} \text{coratteristicle} \\ \text{colla sollectorione} \end{pmatrix}$$

5.2 Centro di taglio

Cerchiomo il centro di taglio C quale pento per il quale occorre far passare la sallecitazione di taglio T affinche i due problemi della tarzione e della flessione, taglio e tersione siano ortogonali energeticamente.

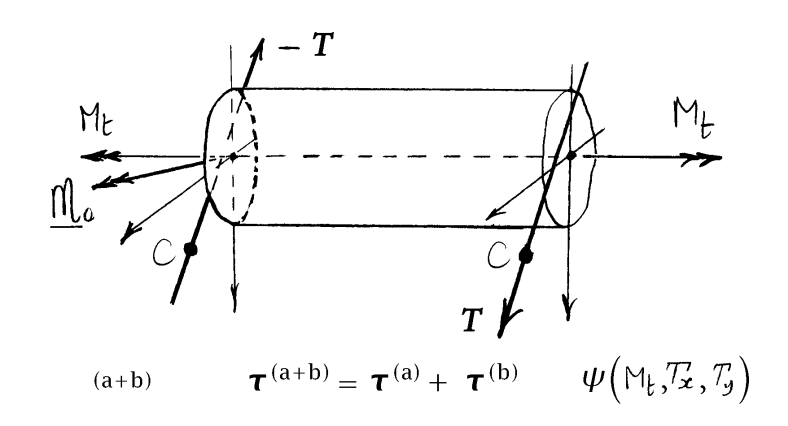
Estendente i risultati attenuti alla teoria della trave attraverse l'energia di deformazione (wella forma complementare), nell'ambito e solo nell'ambito della teoria della trave il centro di taglio così definito assume il significato cinematico di essere quel printo per il quale deve passare la retta d'azione dello storzo di taglio al fine di non avere deformazioni tarsionali

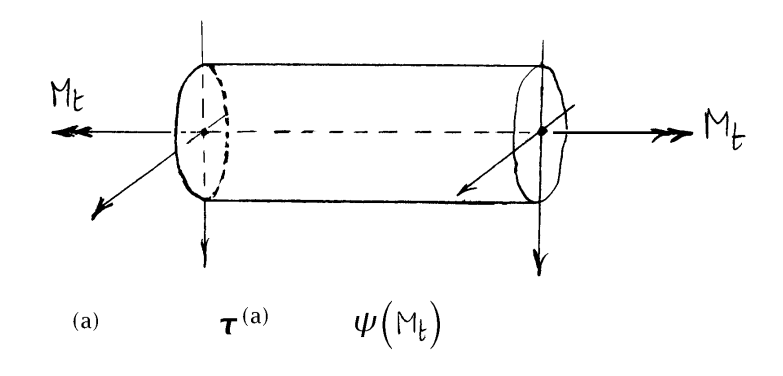
Si considerino allora i due problemi (a) della torsione e (b) di flessione taglio e torsione e siano $\tau^{(a)}$ e $\tau^{(b)}$ le tensioni tangenziali associate ai problemi (a) e (b) rispettivamente. Per la sovrapposizione degli effetti al problema (a)+(b), somma dei due problemi precedenti corrisponderanno le tensioni somma e l'energia complementare ψ per unità di linea dovuta alle sole tensioni tangenziali vale quindi:

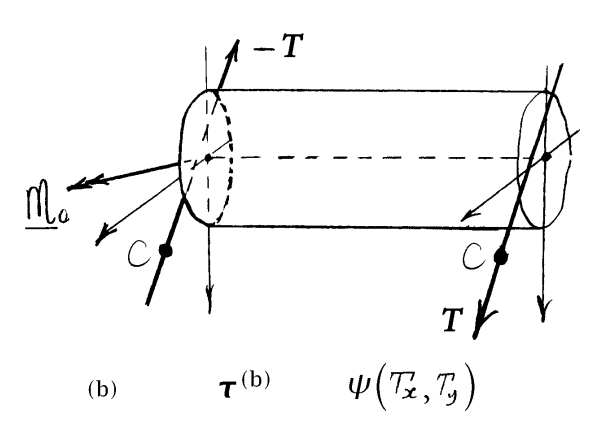
$$\psi = \frac{1}{2G} \int_{A} \boldsymbol{\tau}^{(a+b)} \cdot \boldsymbol{\tau}^{(a+b)} dA$$

$$= \frac{1}{2G} \int_{A} \boldsymbol{\tau}^{(a)} \cdot \boldsymbol{\tau}^{(a)} dA + \frac{1}{2G} \int_{A} \boldsymbol{\tau}^{(b)} \cdot \boldsymbol{\tau}^{(b)} dA$$

$$+ \frac{1}{G} \int_{A} \boldsymbol{\tau}^{(a)} \cdot \boldsymbol{\tau}^{(b)} dA$$







Quindi il problema della determinazione del centro di taglio richiede di annullare il termine mutuo dell'energia:

$$\int_A \boldsymbol{\tau}^{(a)} \cdot \boldsymbol{\tau}^{(b)} \, \mathrm{d}A = 0.$$

Ricordando la soluzione nelle tensioni normali, nel problema della flessione, taglio e torsione la tensione normale vale:

$$G_{\xi}^{(b)} = \frac{M_{x}}{J_{x}} y - \frac{M_{y}}{J_{y}} x$$

$$= -\frac{T_{y}(\ell - \xi)}{J_{x}} y - \frac{T_{x}(\ell - \xi)}{J_{y}} x.$$

Le $\tau^{(b)}$ sono ostanti on χ e devono soddishare la terza equazione indefinita di equilibrio:

$$\frac{\partial T_{xx}^{(b)}}{\partial x} + \frac{\partial T_{yx}^{(b)}}{\partial y} = -\frac{T_{y}}{J_{x}}y - \frac{T_{x}}{J_{y}}x ,$$

ovverossia:

$$\operatorname{div} \, \boldsymbol{\tau}^{(b)} \, = - \, \frac{T_{\mathcal{Y}}}{J_{\mathcal{X}}} \, \boldsymbol{y} - \frac{T_{\mathcal{X}}}{J_{\mathcal{Y}}} \, \boldsymbol{x} \, .$$

Le T(b) devous inoltre soddishore la condizione al contorno:

$$\boldsymbol{\tau}^{(b)} \cdot \boldsymbol{n} = 0,$$

e elle condizioni globali di quilibrio sulle sezioni rette:

$$\int_{A} \boldsymbol{\tau}^{(b)} dA = \boldsymbol{T}
\left\{ \int_{A} (P - G) \times \boldsymbol{\tau}^{(b)} dA \right\} \cdot \boldsymbol{e}_{z} = T_{y} x_{c} - T_{x} y_{c} .$$

Le tensioni associate alla sollecitazione semplice di torsione valgono invece:

$$au^{(a)} = \frac{M_{\frac{1}{2}}}{J_{\frac{1}{2}}} \left\{ \operatorname{grad} \omega + \underline{R}_{\frac{\pi}{2}} \left(P_{-}G \right) \right\}.$$

L'equazione determinatrice del centro di taglio risulta dunque:

$$\frac{\mathsf{M}!}{\mathsf{J}_{\mathsf{I}}}\,\int_{A}\Big\{\mathrm{grad}\,\omega+\underline{\mathsf{R}}_{\frac{\pi}{2}}\big(\mathsf{P}\!\!-\!\!\mathcal{G}^{\mathsf{J}}\big)\Big\}\!\cdot\underline{\tau}^{(\mathsf{b})}\,\mathrm{d}A\ =0.$$

Poiché:

$$\operatorname{div}(\boldsymbol{\omega} \boldsymbol{\tau}^{(b)}) = \operatorname{grad} \boldsymbol{\omega} \cdot \underline{\boldsymbol{\tau}}^{(b)} + \boldsymbol{\omega} \operatorname{div} \boldsymbol{\tau}^{(b)},$$

$$\underline{R}_{\frac{\pi}{2}}(P-G) = \boldsymbol{e}_z \times (P-G),$$

come è facile verificare, si ottiene:

$$\int_{A} \left\{ \mathbf{y} \otimes \mathbf{w} + \underline{R}_{\frac{\pi}{2}} (P - G) \right\} \cdot \boldsymbol{\tau}^{(b)} dA$$

$$= \int_{A} \left\{ \operatorname{div} (\boldsymbol{w} \boldsymbol{\tau}^{(b)}) - \boldsymbol{w} \operatorname{div} \boldsymbol{\tau}^{(b)} \right\} dA$$

$$+ \int_{A} \left\{ (P - G) \times \boldsymbol{\tau}^{(b)} \right\} \cdot \boldsymbol{e}_{z} dA$$

$$= \int_{\partial A} \boldsymbol{w} \boldsymbol{\tau}^{(b)} \cdot \boldsymbol{n} ds + \int_{A} \boldsymbol{w} \left\{ \frac{T_{g}}{J_{x}} \boldsymbol{y} + \frac{T_{x}}{J_{y}} \times \right\} dA$$

$$+ T_{g} \boldsymbol{z}_{c} - T_{x} \boldsymbol{y}_{c}$$

$$= \frac{T_{x}}{J_{y}} \int_{A} \boldsymbol{w} \times dA + \frac{T_{y}}{J_{x}} \int_{A} \boldsymbol{w} \boldsymbol{y} dA$$

$$+ T_{y} \boldsymbol{z}_{c} - T_{x} \boldsymbol{y}_{c}$$

L'equazione determinatrice del contro di taglio (isula infine:

$$T_{y}\left(x_{c} + \frac{1}{J_{x}} \int_{A} \omega y \, dA\right) - T_{x}\left(y_{c} - \frac{1}{J_{y}} \int_{A} \omega x \, dA\right) = 0.$$

Per l'arbitrarietà delle componenti Tx e Ty si ottengono infine le coordinate del centro di toglio:

$$x_c = -\frac{1}{J_x} \int_A \omega y dA,$$

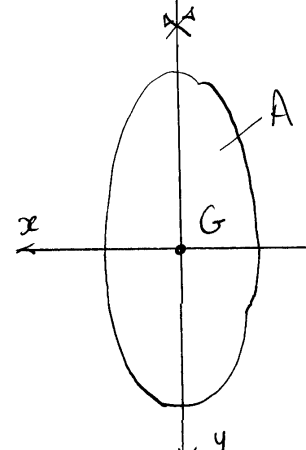
$$y_c = \frac{1}{J_y} \int_A \omega x dA.$$

MdS Parte II — 31 agosto 2007

Si noti che tali coordinate dipendono solo dalla forma della sezione retta.

Verifichiamo che, nel Coso di sezione dotata di un asse di simmetria il œutro di taglio deve appartenere all asse di simmetria. Infatti in tal caso il momento torcente risulta una sollecitazione emisimmetrica e quindi tali risultano sia le deformazioni che la funzione di ingobbanento.

Se l'asse di simmetria coincide con l'asse y la sunzione



ce y risulta évuisimmetrica e dunque il suo integrale sull'area e' nullo.

Oppure, si assaggetti la serione à un taglio Ty passante per il baricantro G. Tale sollecitazione e

Gimmetrica e dunque simmetriche risultano le tensioni tangenziali $\underline{T}^{(a)}$ dovute al momento torcente sono emisimmetriche. La funzione $\underline{T}^{(b)}$. $\underline{T}^{(a)}$ due esprime il termine mutuo dell'energia complementare el dunque emisimmetrica e il suo integrale sull'area el mullo. Risulta quindi mullo il termine mutuo dell'energia complementare e dunque la retta y outiene il centro di taglio.

5.3 Energia complementare

Esprimendo l'energia complementare associata alle tensioni tangenziali in funzione del momento torcente $M_{\rm C}$ valutato rispetto al centro di taglio C e tenendo conto della soluzione del problema della torsione, si avrà:

$$\psi\left(\tau_{xz},\tau_{yz}\right)=\frac{1}{2}\left\{\frac{M_{\mathrm{C}}^{2}}{GJ_{\mathrm{t}}}+aT_{x}^{2}+bT_{y}^{2}+cT_{x}T_{y}\right\},\,$$

dove G e J_t sono rispettivamente il modulo di elasticità tangenziale e il fattore torsionale di rigidezza mentre le costanti a b e c dipendono dalla soluzione del problema di flessione, taglio e torsione. È prassi di porre tali costanti nella forma χ_x/GA , χ_y/GA e $2\chi_{xy}/GA$ rispettivamente, dove A è l'area della sezione retta e le costanti adimensionali χ_{χ} , χ_{γ} e χ_{xy} coincidono con i fattori di taglio a suo tempo già introdotti. Si ricordi che questi rappresentano le componenti, nel sistema Gxy, di un tensore doppio piano χ , detto tensore dei fattori di taglio. Risulta ora semplice confermare che un asse di simmetria è principale di taglio. Infatti un taglio diretto come l'asse di simmetria è simmetrico e genera delle tensioni tangenziali simmetriche, mentre un taglio ortogonale all'asse di simmetria è emisimmetrico e genera delle tensioni tangenziali emisimmetriche. L'energia complementare mutua è dunque nulla e quindi è nullo anche il fattore di taglio mutuo, come volevasi dimostrare.

Mettendo in conto sia le tensioni normali che quelle tangenziali, l'espressione dell'energia complementare risulta allora:

$$\psi = \frac{1}{2} \left\{ \frac{N^2}{EA} + \frac{M_x^2}{EJ_x} + \frac{M_y^2}{EJ_y} + \frac{M_C^2}{GJ_t} + \frac{1}{2} \left\{ \frac{T_x^2}{GA} + \frac{T_y^2}{GA} + \frac{T_x^2}{GA} + \frac{T_x^2}{GA} + \frac{T_x^2}{GA} \right\} \right\},$$

oppure, in forma indipendente dal sistema Gxy:

$$\psi = \frac{1}{2} \left\{ \frac{N^2}{EA} + \frac{1}{E} \boldsymbol{M} \cdot \boldsymbol{J}^{-1} \boldsymbol{M} + \frac{M_C^2}{GJ_t} + \frac{1}{GA} \boldsymbol{T} \cdot \boldsymbol{\chi} \boldsymbol{T} \right\}.$$

5.4 Legami costitutivi

Derivando l'energia complementare si ottengono i legami costitutivi:

1. Sforzo normale:

$$\epsilon = \frac{\partial \psi}{\partial N} = \frac{N}{EA} \Rightarrow N = EA\epsilon$$
,

dove la dilatazione ϵ è quella della fibra baricentrica;

- 2. Momento flettente:
 - (a) forma algebrica:

$$k_{x} = \frac{\partial \psi}{\partial M_{x}} = \frac{M_{x}}{EJ_{x}}$$
 \Rightarrow $M_{x} = EJ_{x}k_{x},$ $k_{y} = \frac{\partial \psi}{\partial M_{y}} = \frac{M_{y}}{EJ_{y}}$ \Rightarrow $M_{y} = EJ_{y}k_{y},$

dove M_X M_Y sono le componenti del momento flet-

tente valutato rispetto al baricentro e il sistema di riferimento Gxy è principale di inerzia;

(b) forma vettoriale:

$$\mathbf{k}_{\mathrm{f}} = \frac{1}{E} \mathbf{J}^{-1} \mathbf{M} \qquad \Rightarrow \qquad \mathbf{M} = E \mathbf{J} \mathbf{k}_{\mathrm{f}},$$

dove il momento flettente M è valutato rispetto al baricentro;

3. Momento torcente:

$$\Theta = \frac{\partial \psi}{\partial M_{\rm C}} = \frac{M_{\rm C}}{GJ_{\rm t}} \qquad \Rightarrow \qquad M_{\rm C} = GJ_{\rm t}\Theta,$$

dove il momento torcente è valutato rispetto al centro di taglio;

- 4. Taglio:
 - (a) forma algebrica:

$$y_x^{C} = \frac{\partial \psi}{\partial T_x} = \chi_x \frac{T_x}{GA} + \chi_{xy} \frac{T_y}{GA},$$
$$y_y^{C} = \frac{\partial \psi}{\partial T_y} = \chi_{xy} \frac{T_x}{GA} + \chi_y \frac{T_y}{GA},$$

dove gli scorrimenti $\gamma_x^{\mathbb{C}}$ e $\gamma_y^{\mathbb{C}}$ sono valutati rispetto alla fibra longitudinale per il centro di taglio;

(b) forma vettoriale:

$$\mathbf{y}_{\mathsf{C}} = \frac{1}{GA}\mathbf{\chi} \, \mathbf{T} \qquad \Rightarrow \qquad \mathbf{T} = GA\mathbf{\chi}^{-1} \, \mathbf{y}_{\mathsf{C}},$$

dove lo scorrimento y_C è valutato rispetto alla fibra

longitudinale per il centro di taglio.

Dalle relazioni costitutive inverse è possibile confermare la forma della matrice elastica inversa:

$$\mathbb{C} = \begin{bmatrix} \frac{1}{EA} & 0 & 0 & 0 & 0 & 0 \\ 0 & \frac{1}{EJ_X} & 0 & 0 & 0 & 0 \\ 0 & 0 & \frac{1}{EJ_Y} & 0 & 0 & 0 \\ 0 & 0 & 0 & \frac{1}{GJ_t} & 0 & 0 \\ 0 & 0 & 0 & 0 & \frac{\chi_X}{GA} & \frac{\chi_{Xy}}{GA} \\ 0 & 0 & 0 & 0 & \frac{\chi_{Xy}}{GA} & \frac{\chi_y}{GA} \end{bmatrix}.$$

Inserendo invece i legami costitutivi diretti nell'espressione dell'energia complementare, si ottiene poi l'energia elastica di deformazione:

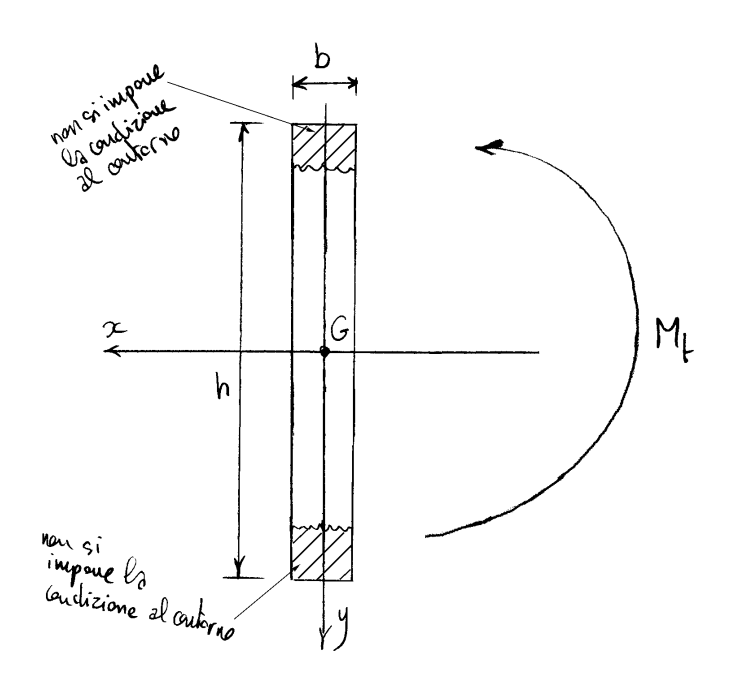
$$\phi = \frac{1}{2} \left\{ E A \epsilon_G^2 + E \mathbf{k}_{\mathrm{f}} \cdot \mathbf{J} \mathbf{k}_{\mathrm{f}} + G J_{\mathrm{t}} \Theta^2 + G A \mathbf{y}_{\mathrm{C}} \cdot \mathbf{\chi}^{-1} \mathbf{y}_{\mathrm{C}} \right\}.$$

Capitolo 6

Problemi particolari di torsione e taglio

6.1 La torsione nelle sezioni rettangolari sottili

Prescindende d'all'anclaments delle tensioni tangenziali nelle due zone di estremita, ci limitiano a imporre le condizioni al contorno solo per i lati maggiori del rettangolo. Assento



il riferimento Grey principale di inerzia, con l'asse y avente la direzioni dei lati maggiori, le equazioni di tali lati risultano:

$$x - \frac{b}{2} = 0 \qquad e \qquad x + \frac{b}{2} = 0$$

essendo b la spessore del rettongale.

Procediano car la funzione delle tensioni. La condizione al contorno:

$$F=0$$
,

e' seuz'altra soddistatta sui lati maggiori se si pone:

$$F = c \left(x - \frac{b}{2} \right) \left(x + \frac{b}{2} \right)$$
$$= c \left(x^2 - \frac{b^2}{4} \right),$$

dove c e us costante de determinarsi.

L'equazione di Poisson:

$$\nabla^2 F = -2 \frac{M_F}{J_t} ,$$

impone allors la condizione:

$$2c = -2\frac{M_{\ell}}{J_{\ell}},$$

condizione che impone il valore della costante c:

$$C = -\frac{M + J_t}{J_t} .$$

La finzione:

$$F = -\frac{M_f}{J_f} \left(x^2 - \frac{b^2}{4} \right) ,$$

soddisha quindi l'equazione di Poisson per la huzione delle tensioni e, transe che nelle due estremita, le condi= zioni al contorno. Resta da soddishare la condizione:

$$2\int_{A} F dA = M_{t} ,$$

condizione che si scrive:

$$-\frac{2Mt}{J_t}\int_{\frac{b}{t}}^{\frac{b}{2}} (x^2 - \frac{b^2}{4}) h dx = M_t,$$

dove h e' l'alterra del rettangolo.

Si e' così attenuta una equazione che permette di determinare

il valore de lattore di rigidezza torsionale Jt:

$$-\frac{2h}{J_t} \left[\frac{x^3}{3} - \frac{b^2x}{4} \right]_{-\frac{b}{2}}^{\frac{b}{2}} = 1,$$

e quindi:

$$J_{k} = \frac{4}{3} h b^{3}.$$

La finzione delle tensioni diventa:

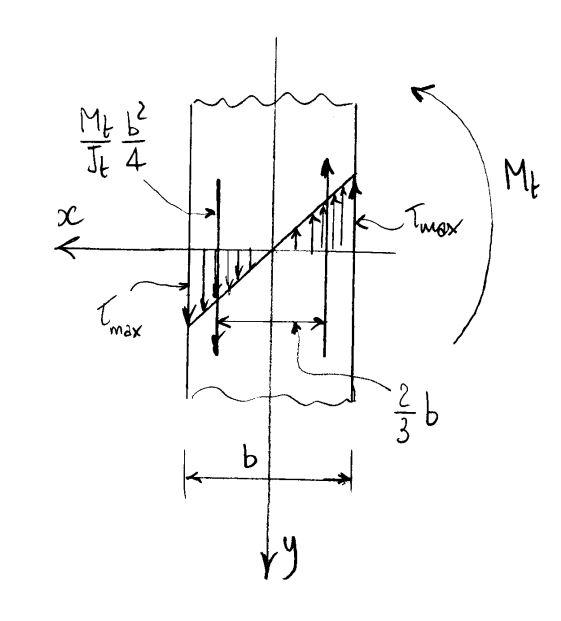
$$F = -\frac{3 M_{t}}{b^{3} h} (x^{2} - \frac{b^{2}}{4}),$$

e le tensioni tangenziali valgono:

$$\tau_{yz} = \frac{2 Mt}{J_t} x = \frac{6 Mt}{b^3 h} x ,$$

$$\tau_{xz} = 0 .$$

La tensione tangenziale massima si ha in corrispondenza dei lati maggiori e vale:

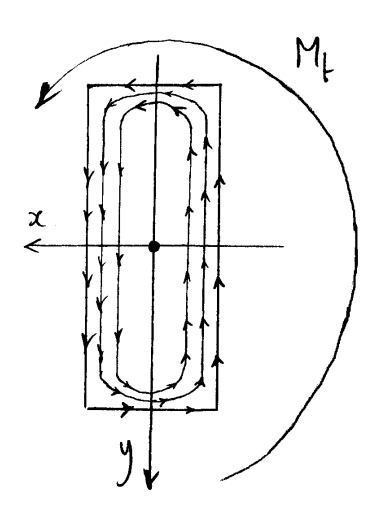


$$\langle x_{\text{max}} = \left| T_{yz} \left(\pm \frac{b}{2} \right) \right| = \frac{M_t}{J_t} b = \frac{3M_t}{b^2 h}$$
.

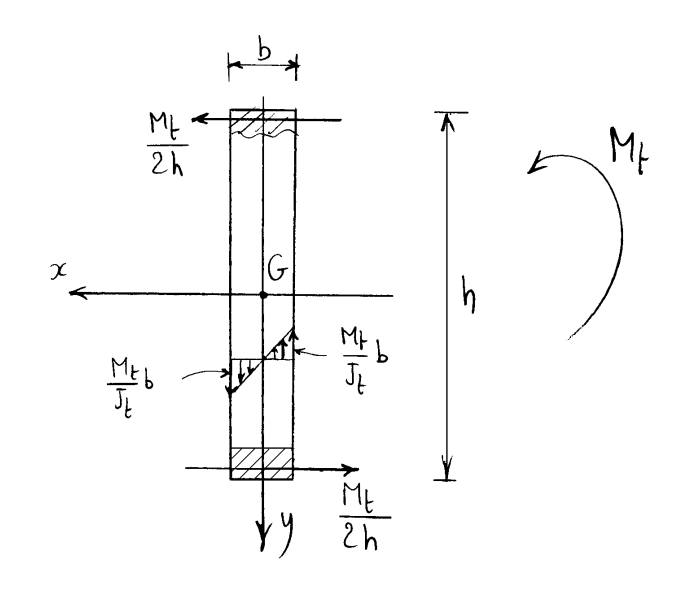
Si noti che il flusso delle tensioni tangenziali imposto dal contorno nelle due zone di estremità fa si che in tale zona siano presenti delle tensioni tangenziali τ_{xz} . Il momento torcente totale generato dalle τ_{vz} vale:

$$\frac{M_{t}}{J_{t}} \frac{b^{2}}{4} \frac{2}{3} b h = \frac{3M_{t}}{b^{3}h} \frac{bh}{6} = \frac{M_{t}}{2} .$$

Quindi sole meto del momento torcente Mf e generato delle Tyx. La restante quote e quindi

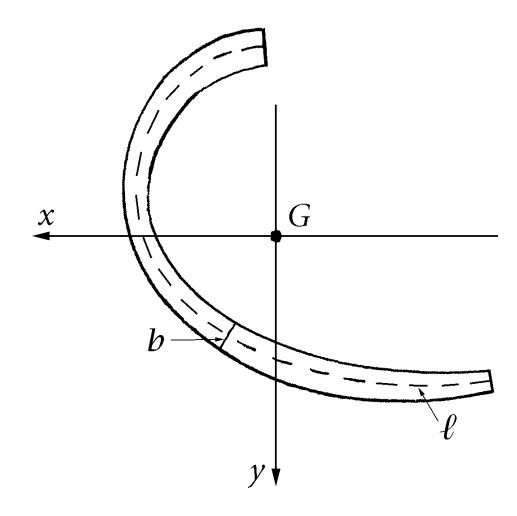


dovità alle tencioni tangenziali 1xx presenti nelle due zone di estremità, che si possono campendiare nella risultante, pari a Mt/2h.



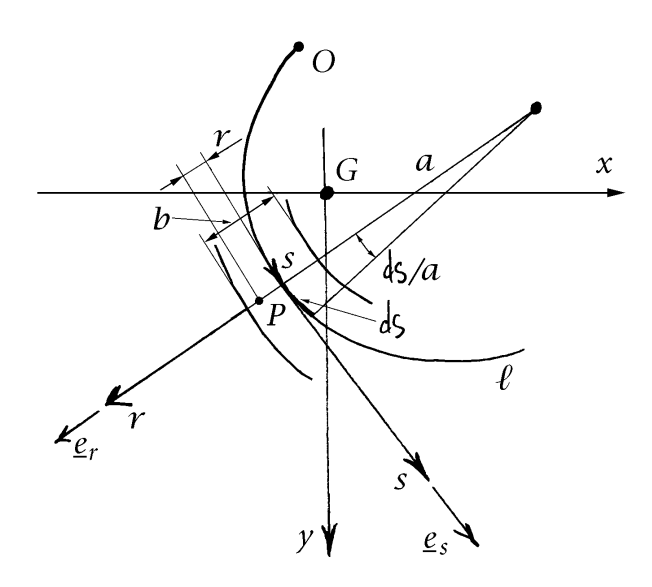
6.2 La torsione nelle sezioni sottili aperte

Si consideri una trave di sezione sottile aperta di linea media ℓ in generale curva e di spessore b in generale variabile. Si



assuma poi un'ascissa curvilinea s sulla linea media ℓ , espressa dalla distanza misurata sulla linea media da un punto preso come origine. È allora possibile individuare il punto generico P della sezione sottile per il tramite dell'ascissa s e della distanza r del punto dalla linea media, misurata nella direzione ortogonale alla linea media stessa. La funzione P(r,s) rappresenta un sistema di coordinate generali. Le linee coordinate r di equazione s = cost sono le rette ortogonali alla linea media, mentre quelle s di equazione r = cost sono le linee parallele alla linea media.

Si supponga poi che il raggio di curvatura a della linea



media della sezione sia grande rispetto allo spessore *b*:

$$\frac{b}{a} \ll 1.$$

Sotto tale ipotesi il laplaciano che compare nell'equazione di Poisson che regge il problema della funzione delle tensioni ${\it F}$ si scrive in modo approssimato:

$$abla^2 \mathbf{F} pprox \frac{\partial^2 F}{\partial r^2} + \frac{\partial^2 F}{\partial s^2}.$$

L'equazione di Poisson diventa allora:

$$\frac{\partial^2 F}{\partial r^2} + \frac{\partial^2 F}{\partial s^2} = -2\frac{M_t}{J_t}.$$
 (1)

Si trascuri, come per la sezione rettangolare sottile, il soddi-

sfacimento delle condizioni al contorno nelle estremità della sezione e in più negli eventuali nodi e si supponga che lo spessore b vari lentamente lungo la linea media della sezione. In tali ipotesi la funzione:

$$F = -\frac{M_{\mathsf{t}}}{J_{\mathsf{t}}} \left(r^2 - \frac{b^2}{4} \right),$$

soddisfa, in modo approssimato, sia l'equazione di Poisson (1) che le condizioni al contorno F(b/2) = 0 e F(-b/2) = 0e rappresenta dunque la soluzione, approssimata, del problema della torsione per le travi di sezione sottile aperta, naturalmente sotto le ipotesi dette.

Dato che localmente il sistema generale di coordinate origina approssimativamente una base di vettori ortonormali le tensioni tangenziali valgono:

$$au_{sz} = -rac{\partial F}{\partial r} = 2rac{M_{
m t}}{J_{
m t}}r,$$
 $au_{rz} = rac{\partial F}{\partial s} pprox 0,$

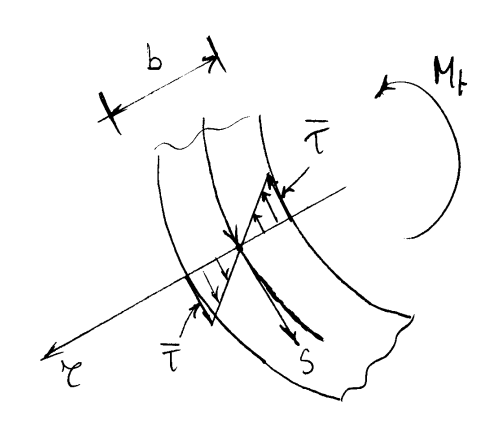
dove nella au_{rz} si sono trascurati i contributi della derivata dello spessore b per l'ipotesi di lenta variazione di questo lungo la linea media. Lungo una corda la tensione tangenziale assume il valore massimo in modulo sul contorno. Detto $\overline{\tau}$ tale valore, risulta:

$$\overline{\tau} = \left| \tau_{sz}(\pm \frac{b}{2}) \right| = \frac{M_{t}}{J_{t}}b.$$

Dato che Mf e Jt rondipendono da s, la tensione tangenziale macrima la si ha in corrispondenza delle spessore

wassimo:

$$T_{\text{max}} = \frac{M_{\text{t}}}{J_{\text{t}}} \, b_{\text{max}} \; .$$



Di moro, Je si officue impouendo:

$$2\int_{A}FdA=M_{f}\quad ,$$

cise:

$$-2 \frac{Mt}{J_t} \int_{\mathfrak{A}} ds \int_{-\frac{b}{2}}^{\frac{b}{2}} \left(r^2 - \frac{b^2}{4}\right) dr = M_t,$$

e quindi:

$$J_{t} = \frac{1}{3} \int_{\ell} b^{3} ds \quad .$$

Se b = cost, questo divento (come nel coso dello servine cettangolore sottile):

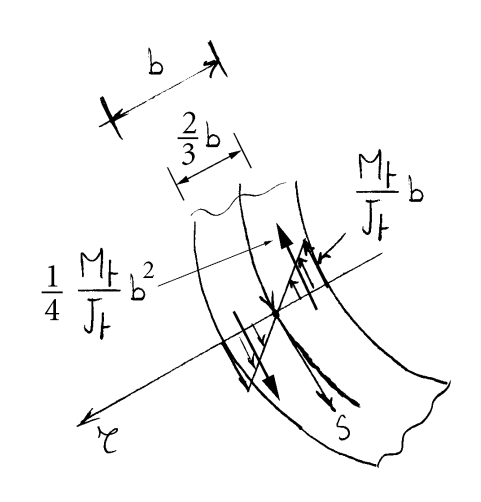
$$J_{t} = \frac{1}{3} b^{3} \ell$$

dove l e la lunghezza omplessiva della linea media.

Da ultimo, occorre notare che di nuovo le tsz riproducano solo la metà del momento torcente, se si trascura, mello spirito delle sezioni sottili; l'effetto curvatura:

$$\int_{\ell} \frac{1}{6} \frac{\mathsf{M}_{\mathsf{F}}}{\mathsf{J}_{\mathsf{F}}} \, \mathsf{b}^{3} \, \mathrm{d}s = \frac{1}{2} \frac{\mathsf{M}_{\mathsf{F}}}{\mathsf{J}_{\mathsf{F}}} \frac{1}{3} \int_{\ell}^{\mathsf{J}} \mathsf{d}s = \frac{\mathsf{M}_{\mathsf{F}}}{2}.$$

Tuttavia, tenendo conto dell'effetto curvatura, le tencioni tangenziali ridotte alla linea media



generano non solo delle coppie distribute

lungo la linea media, ma anche delle forze aventi
la direzione della linea media. Questo perche le

tensioni tangenziali dalla parte del centro di curva=

tura agiscono su aree più piccole rispetto a quelle agenti

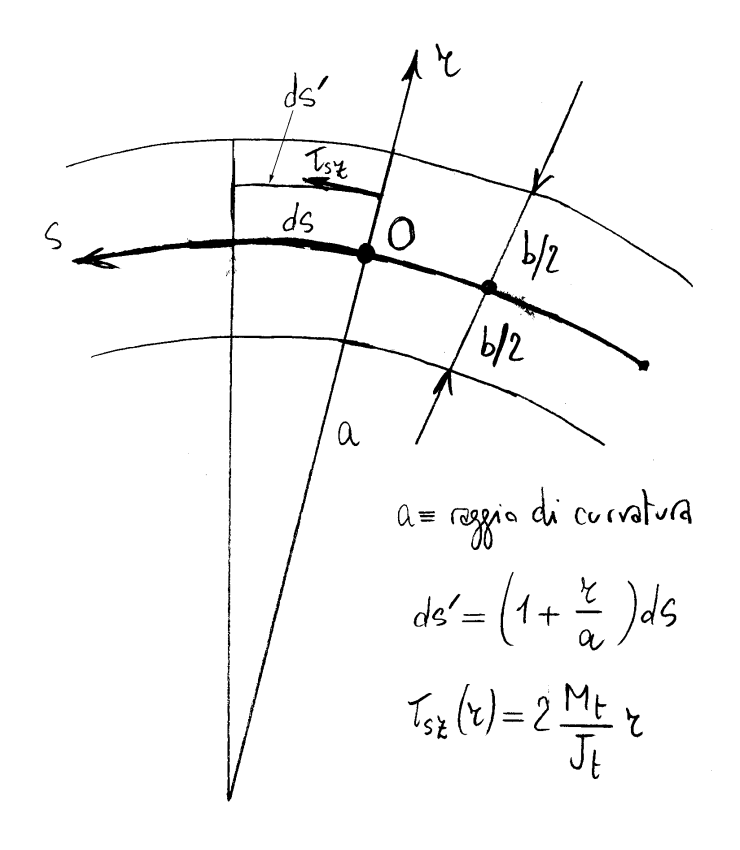
dalla parte opposta. Queste forze risultanti, anche se

piccole, non sono trascurabili agli effetti del calcolo

del momento torcente, per l'effetto ampli ficante della

loro distanza dal polo di riduzione del momento torcente.

La risultante, per unità di linea media, delle tensioni agenti lungo una corcha vale:



$$f = \frac{1}{ds} \int_{-\frac{b}{2}}^{+\frac{b}{2}} \zeta_{s\chi} ds' d\tau = \int_{-\frac{b}{2}}^{\frac{b}{2}} \frac{M_F}{J_F} \gamma \left(1 + \frac{\gamma}{a}\right) d\tau,$$

e infine:

$$f = \frac{M + b^3}{6 \int_{t} a} .$$

In mode auslege si officue il nomento torcente risultante, per unità di linea, rispetto al polo O intersezione della corda con la linea media:

$$m_{t} = \frac{1}{ds} \int_{-\frac{b}{2}}^{+\frac{b}{2}} \tau_{sk} \tau ds' d\tau$$

$$= \int_{-\frac{b}{2}}^{\frac{b}{2}} 2 \frac{Mt}{J_{t}} \tau^{2} (1 + \frac{\tau}{\alpha}) d\tau ,$$

$$m_t = \frac{M_t b^3}{6J_t} .$$

Ne risultà che mi non risente dell'effetto curvatura.

6.2.1 Semicirconferenza sottile

Sia data una semicirconferenza sottile di raggio R e di spessore b costante. Il fattore torsionale di rigidezza e la tensione tangenziale sul contorno valgono:

$$\int_{L} = \frac{1}{3} \pi R b^{3}, \qquad \int_{\text{max}} = \frac{3M_{L}}{\pi R b^{2}}.$$

$$\int_{L} = \frac{1}{3} \pi R b^{3}, \qquad \int_{\text{max}} = \frac{3M_{L}}{\pi R b^{2}}.$$

$$\int_{\text{diagramma}} \int_{\text{lineare}} \int_{\text{lineare}} \int_{\text{max}} \int$$

Il raggio di curvatura e' costante e vale R. Le tensioni ridotte alla linea media donno origine alle ferze e momenti seguenti:

$$f = \frac{M_b b^3}{6J_f R} \quad , \quad m_b = \frac{M_b b^3}{6J_b} \quad .$$

Il momento torcente dovoto alle tensioni tangenziali T*s, colcolato con polo di riduzione il contro O della cemiciconferenza, vale, tenende conto della emisimmetria del problema:

$$M_{t}' = 2 \int_{0}^{\pi/2} f R(Rd\alpha) + 2 \int_{0}^{\pi/2} m_{t} (Rd\alpha)$$

$$= 2 f R^{2} \frac{\pi}{2} + 2 m_{t} R \frac{\pi}{2}$$

$$= \frac{M_{t} b^{3} R \pi}{6 J_{t}} + \frac{M_{t} b^{3} R \pi}{6 J_{t}} = M_{t}.$$

La tensione tangenziale tox genera quinchi tutto il momento torcente (metà attaverso f e metà attaverso m_t). L'equilibrio alla traslazione crizzontale determina poi le forze P crizzontali generate dalle tensioni tangenziali Txx nelle due zone di estremità:

$$\int_{0}^{\pi/2} f G_{SX} R dX = P .$$

Si officue:

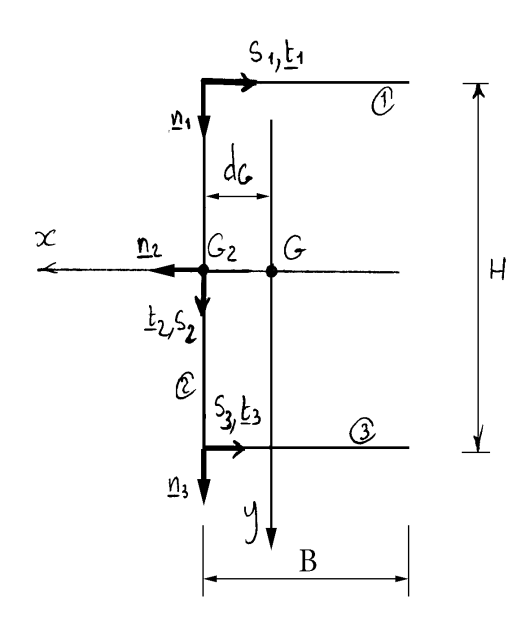
$$P = f R = \frac{M_1 b^3}{6J_1} = \frac{M_1}{2\pi R} .$$

6.2.2 La sezione a C

Frazione di ingobbanento (sulla linea media dove $\underline{\tau}=0$):

grad
$$\omega = -\underline{R}_{\frac{\pi}{2}}(P-G) = \underline{R}_{\frac{\pi}{2}}^{T}(P-G)$$
,

deve $\frac{R_{\pi}}{2} = \text{Robatione di } 90^{\circ} \text{ in senso antionorio} \left(\frac{R_{\pi}}{2} = -R_{\pi} \right)$.



1) tatto A:

$$\frac{\partial \omega}{\partial S_1} = \operatorname{grad} \omega \cdot \underline{t}_1 = - \underline{R}_{\frac{\pi}{2}}(P-G) \cdot \underline{t}_1$$

$$= -(P-G) \cdot (\underline{R}_{\frac{\pi}{2}} \underline{t}_1) = -(P-G) \cdot \underline{n}_1 = \underline{H}_2.$$

e) hathor 2:
$$\frac{\partial \omega_2}{\partial S_2} = -(P-G) \cdot \underline{n}_2 = -d_G$$

3) take 3:
$$\frac{\partial \omega_3}{\partial S_3} = -(P-G) \cdot \underline{n}_3 = -\frac{H}{2}$$

Integrando, si ottiene quindi:

$$\begin{cases} \omega_{1} = \frac{H}{2}s_{1} + C_{1} = \frac{H}{2}(s_{1} + d_{G}) \\ \omega_{2} = -d_{G}s_{2} + C_{2} \\ \omega_{3} = -\frac{H}{2}s_{3} + C_{3} = -\frac{H}{2}(s_{3} + d_{G}) \end{cases}$$

Poiché la sezione è simmetrica, la funzione di ingobbamento ω è emisimmetrica a meno di un moto rigido globale di traslazione nella direzione dell'asse della trave. Imponendo l'emisimmetria, deve risultare:

$$\omega_2(0) = 0$$
 \Rightarrow $c_2 = 0$,
 $\omega_3(s) = -\omega_1(s)$ \Rightarrow $c_3 = -c_1$

Imponendo infine la condizione di continuità in uno dei due spigoli della sezione si ottiene poi:

$$\omega_1(0) = \omega_2(-\frac{H}{2}) \quad \Rightarrow \quad c_1 = \frac{H}{2}d_G.$$

Contro di taglio

$$x_c = -\frac{1}{J_2} \int_A \omega y dA$$

Trascurando la variabilità di ce vello spessore e tenendo conto che:

$$y = \begin{cases} -\frac{H}{2} & \text{tatho } \text{ } \text{?} \\ \frac{H}{2} & \text{tatho } \text{?} \end{cases}$$

risulta:

$$x_{c} = -\frac{1}{J_{x}} \left\{ -\int_{0}^{B} \frac{H}{2} (s_{1} + d_{G}) \frac{H}{2} s_{1} ds_{1} - \int_{0}^{H} \frac{H}{2} (s_{2} + d_{G}) \frac{H}{2} s_{1} ds_{2} - \int_{0}^{B} \frac{H}{2} (s_{3} + d_{G}) \frac{H}{2} s_{1} ds_{3} \right\}$$

$$= \frac{1}{J_{x}} \left\{ \left(\frac{\delta_{1} B^{2} H^{2}}{8} + \frac{d_{G} \delta_{1} B H^{2}}{4} \right) + \frac{d_{G} \delta_{2} H^{3}}{12} + \left(\frac{\delta_{1} B^{2} H^{2}}{8} + \frac{d_{G} \delta_{1} B H^{2}}{4} \right) \right\}$$

$$=\frac{1}{J_{x}}\left\{\frac{\delta_{1}\beta^{2}H^{2}}{4}+d_{G}\left(\frac{\delta_{2}H^{3}}{12}+\frac{\delta_{1}\beta H^{2}}{2}\right)\right\}.$$

Ricordando che:

$$J_{x} = \frac{\delta_2 H^3}{12} + \frac{\delta_1 B H^2}{2},$$

si ottiene infine:

$$x_{c} = \frac{1}{J_{x}} \frac{\delta_{1} B^{2} H^{2}}{4} + d_{G}.$$

La distanza $\mathbf{d}_{\mathcal{C}}$ del centro di taglio dalla linea media dell'anima vale quindi:

$$d_c = \frac{1}{J_x} \frac{S_1 B^2 H^2}{4} ,$$

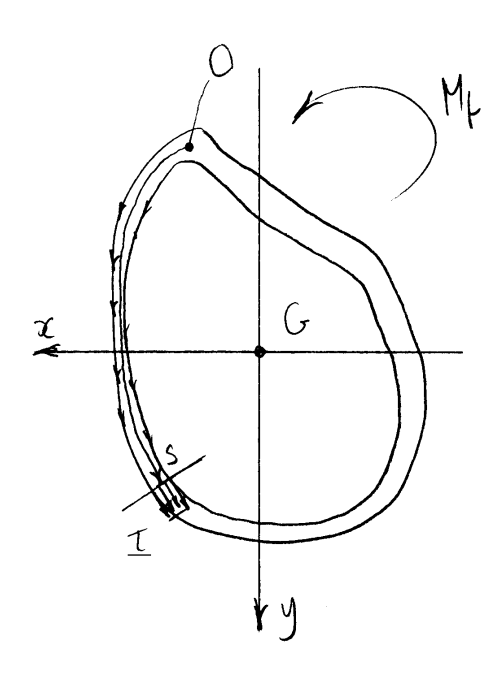
in accordo con quanto già ottenuto utilizzando la formula di Jourawski.

La torsione nelle sezioni sottili chiuse

Si consideri una sezione sottile chiusa biconnessa e si ricordi che la tensione lungo una corda di spessore b è costante e vale:

Si ricordi inoltre la relazione tra tensione tangenziale e funzione di ingobbamento:

$$\underline{\zeta} = \frac{M_t}{J_t} \left\{ \operatorname{grad} \omega + \underline{R}_{\frac{\pi}{2}}(P-G) \right\},$$



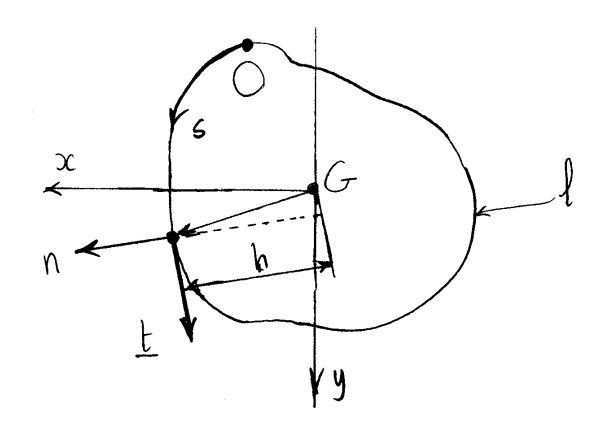
dove $\frac{\cancel{k}_{\pi}}{\cancel{2}}$ è il tensore rotazione di 90° in senso antiorario. Dalle tensioni tangenziali e possibile quindi risalire al gradiente della finziare di ingobbamento:

grad
$$\omega = \frac{J_t}{M_t} \leq -\left\{\frac{R_{\frac{\pi}{2}}(P-G)}{\right\}.$$

Per poter integrare tale espressione nella funzione di ingobbamento ω la sua circuitazione lungo la linea media chiusa deve essere nulla:

$$\oint_{\ell} \operatorname{grad} \omega \cdot \underline{t} \, ds = 0.$$

Questa espressione rappresenta in definitiva una condizione di congruenza.



Si officue:

$$\oint_{\ell} \underline{\tau} \cdot \underline{t} \, ds = \oint_{\ell} \frac{1}{b} \tau_{s_{k}} b \, ds = \tau_{s_{k}} b \oint_{\ell} \frac{ds}{b},$$

$$\oint_{\ell} \{\underline{R}_{\frac{\pi}{2}}(P-G)\} \cdot \underline{t} \, ds = \oint_{\ell} (P-G) \cdot \underline{n} \, ds$$

$$= \oint_{\ell} h \, ds = 2\Omega.$$

dove D è l'area racchiusa dalla linea media.

Dinque, la condizione:

$$\oint_{\ell} \underline{\cdot} \underline{t} \, ds - \frac{M_{t}}{\overline{J}_{t}} \oint_{\ell} \{ \underline{R}_{\frac{\pi}{2}}(P-G) \} \underline{\cdot} \underline{t} \, ds = 0 ,$$

impone:

$$\tau_{s \neq b} \oint_{\mathbf{q}} \frac{ds}{b} - 2 \frac{Mt}{J_t} \mathcal{N} = 0,$$

e infine:

$$J_{t} = \frac{4\Omega^{2}}{\int_{t} \frac{ds}{b}} \cdot$$

Lo stesso risultato si sarebbe polito attenere dalla ugraglianza (lavoro di deformazione):

$$\oint_{\ell} \frac{\zeta_{sk}^2}{2G} b ds = \frac{M_t^2}{2GJ_t},$$

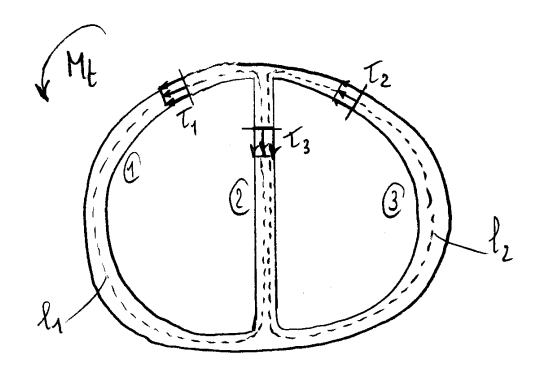
tenendo anto che risulta:

$$\oint_{\mathcal{L}} \frac{\tau_{sk}^2}{2G} b ds = \frac{\tau_{sk}^2 b^2}{2G} \oint_{\mathcal{L}} \frac{ds}{b} = \frac{M_{\mathcal{L}}^2}{2G} \frac{\oint_{\mathcal{L}} \frac{ds}{b}}{4 \Omega^2}.$$

Verifichismo che la soluzione otternità soddisha la condizione di taglio nullo $(\underline{T} = \underline{0})$. Infatti: $\underline{T} = \oint_{\ell} \underline{\zeta} \, b \, ds = \oint_{\ell} \tau_{s_{\overline{k}}} \, b \, \underline{t} \, ds$ $= \tau_{s_{\overline{k}}} \, b \, \oint_{\ell} \underline{t} \, ds = \tau_{s_{\overline{k}}} \, b \, \underline{R}_{\frac{\pi}{2}} \oint_{\ell} \underline{n} \, ds$ $= \tau_{s_{\overline{k}}} \, b \, \underline{R}_{\frac{\pi}{2}} \int_{\ell} q_{r} \, ad \, 1 \, d\Omega = \underline{0} \quad .$

6.4 La torsione nelle sezioni sottili chiuse pluriconnesse

Analizziamo nel seguito, quale esempio facilmente generalizzabile, la sezione sottile chiusa triconnessa.



4 incognite: T1, T2, T3, Jt,

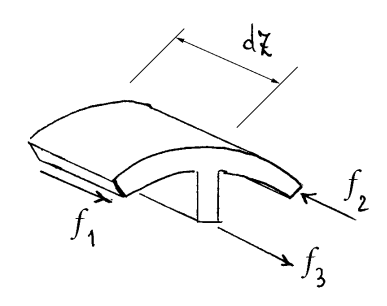
1 equazione di equilibrio di nodo,

1 equazione di equivalenza statica tale I e ML,

equazioni di circuitazione lungo le linee chiuse $\partial \Omega_1$ e $\partial\Omega_2$.

I flussi delle tensioni tangenziali nei vari tratti valgono:

$$f_1 = \langle 1 | b_1, f_2 = \langle 1 | b_2, f_3 = \langle 1 | b_3, f_4 \rangle$$



L'equazione di equilibrio del nodo alla traslazione nella direzione della linea d'asse richiede:

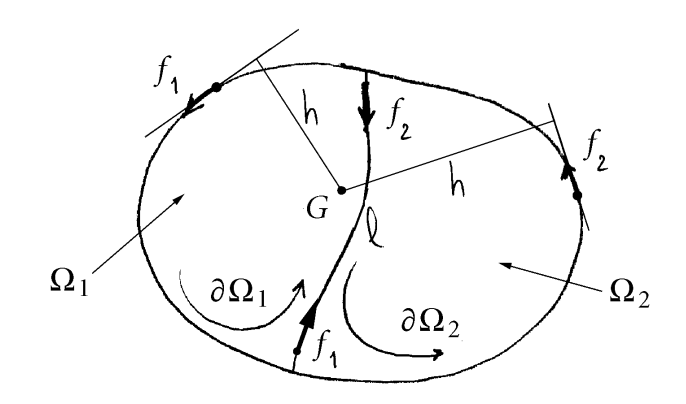
$$f_1 d\xi - f_2 d\xi + f_3 d\xi = 0$$
,

e si ottiene:

$$f_3 = f_2 - f_1$$
.

L'equivalenza statica richiede:

$$M_{t} = \oint_{\partial \Omega_{1}} f_{1} h ds_{1} + \oint_{\partial \Omega_{2}} f_{2} h ds_{2} ,$$



e si ottiene:

$$M_t = 2 \Omega_1 f_1 + 2 \Omega_2 f_2 ,$$

dove Ω_1 e Ω_2 sono le aree racchiuse dalle linee medie $\partial \Omega_1$ e $\partial \Omega_2$ rispettivamente.

La circuitazione lungo la generica linea $\partial \Omega_i$ si scrive:

$$\oint_{\partial\Omega_i} \operatorname{grad} \omega \cdot \underline{t} \, ds = 0,$$

e quindi:

$$\frac{J_{t}}{M_{t}} \left\{ \oint_{\partial \Omega_{1}} \frac{f_{1}}{b} \, ds - \int_{\ell} \frac{f_{2}}{b} \, ds \right\} - \oint_{\partial \Omega_{1}} h \, ds = 0,$$

$$\frac{J_{t}}{M_{t}} \left\{ \oint_{\partial \Omega_{2}} \frac{f_{2}}{b} \, d\varsigma - \int_{\ell} \frac{f_{1}}{b} \, d\varsigma \right\} - \oint_{\partial \Omega_{2}} h \, d\varsigma = 0,$$

e infine:

$$f_1 \oint_{\partial \Omega_1} \frac{d\varsigma}{b} - f_2 \int_{\ell} \frac{d\varsigma}{b} = \frac{M_{\ell}}{\bar{J}_{\ell}} \oint_{\partial \Omega_1} h d\varsigma,$$

$$-f_1 \int_{\mathbf{\ell}} \frac{d\varsigma}{\mathbf{b}} + f_2 \oint_{\partial \Omega_2} \frac{d\varsigma}{\mathbf{b}} = \frac{\mathsf{M}_{\mathbf{t}}}{\bar{\mathsf{J}}_{\mathbf{t}}} \oint_{\partial \Omega_2} \mathsf{h} \, d\varsigma.$$

Verifichieme infine che anche nel coso di sezione soffile bionnessa vale $\sqrt{2}$ (oudizione T=0:

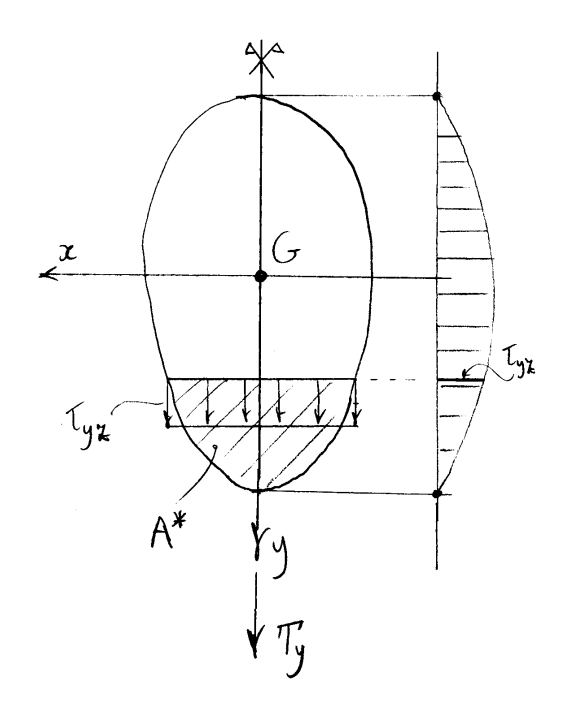
$$T = \sum_{i} \oint_{\partial \Omega_{i}} f_{i} \underline{t} dS$$

$$= \sum_{i} f_{i} \underline{R}_{\frac{\pi}{2}} \oint_{\partial \Omega_{i}} \underline{n} dS$$

$$= \sum_{i} f_{i} \underline{R}_{\frac{\pi}{2}} \int_{\Omega_{i}} \operatorname{ad} 1 d\Omega = \underline{0}.$$

Il taglio nelle sezioni compatte simmetriche

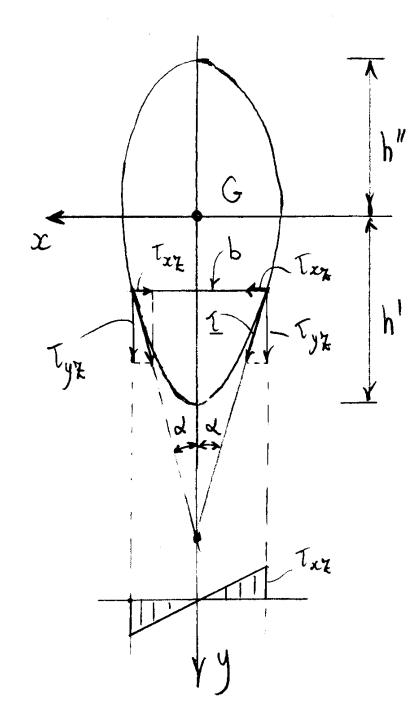
Si consideri una serione campatta, simmetrica rispetto all'asse y e soggetta ad un taglio Ty avente y quale cetta d'azione (dinque passante per il centro di taglio).



La distribuzione delle tensioni tangenziali Tyx, sulla generica orda ortogonale all'asse y di simmetria, si suppone costante e di valore individuato quindi dalla formula di Jourawski:

La distribuzione delle tensioni tangenziali τ_{xx} lungo la generica orda ortogonale all'asse y di simmetria è invece lineare e vale:

$$T_{x} = -\frac{2x}{b} T_{y} t_g d$$
.



Energia complementare per unité di linea:

$$\Psi = \chi_y \frac{T_y^2}{2GA} = \int_A \frac{\tau_{xx}^2 + \tau_{yx}^2}{2G} dA.$$

Ne consegue:

$$\chi_{y} \frac{T_{y}^{2}}{2GA} = \int_{A} \frac{\zeta_{yx}^{2}}{2G} \left(1 + \frac{4x^{2}}{b^{2}} + \zeta_{yx}^{2} \right) dA$$

$$= \int_{A} \frac{T_{y}^{2} S_{x}^{*2}}{2G b^{2} J_{x}^{2}} \left(1 + \frac{4x^{2}}{b^{2}} + \zeta_{yx}^{2} \right) dA$$

$$= \frac{T_{y}^{2}}{2GA} \frac{A}{J_{x}^{2}} \int_{A} \frac{S_{x}^{*2}}{b^{2}} \left(1 + \frac{4x^{2}}{b^{2}} + \zeta_{yx}^{2} \right) dA .$$

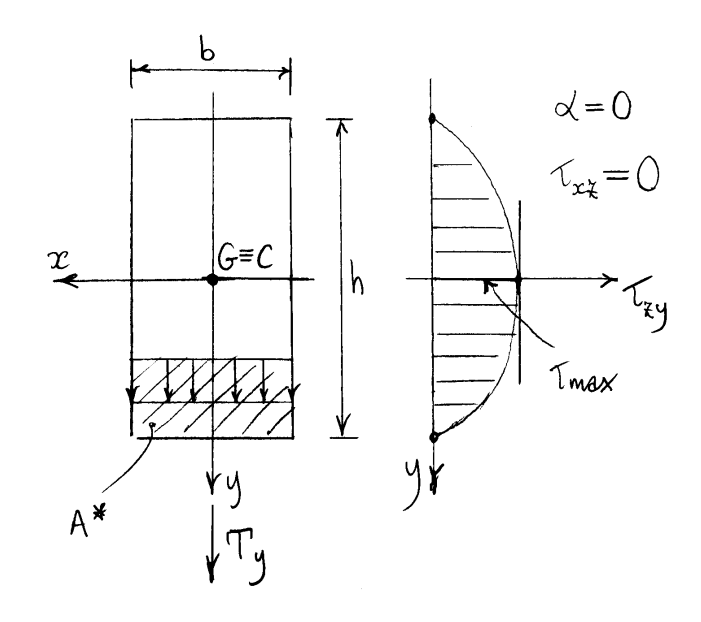
Il fattore di taglio relativo all'asse y di simmetria vale quindi:

$$\chi_{y} = \frac{A}{J_{x}^{2}} \int_{A}^{h'} \frac{S_{x}^{*2}}{b^{2}} \left(1 + \frac{4x^{2}}{b^{2}} \lg^{2} \lambda\right) dA =$$

$$= \frac{A}{J_{x}^{2}} \int_{-h''}^{h'} \frac{S_{x}^{*2}}{b^{2}} dy \int_{-\frac{h}{2}}^{\frac{h}{2}} \left(1 + \frac{4x^{2}}{b^{2}} \lg^{2} \lambda\right) dx =$$

$$= \frac{A}{J_x^2} \int_{-K''}^{h'} \frac{S_x^{*2}}{b} \left(1 + \frac{1}{3} t_y^2 \lambda\right) dy .$$

6.5.1 Sezione rettangolare



$$S_{x}^{*} = \frac{b}{2} \left(\frac{h^{2}}{4} - y^{2} \right), \qquad J_{x} = \frac{bh^{3}}{12},$$

$$J_{x} = \frac{6T_{y}}{bh^{3}} \left(\frac{h^{2}}{4} - y^{2} \right).$$

$$\chi_{y} = \frac{A}{J_{x}^{2}} \int_{-\frac{h}{2}}^{\frac{h}{2}} \frac{S_{x}^{*2}}{b} dy = (12)^{2} \frac{1}{b^{2}h^{5}} \int_{-\frac{h}{2}}^{\frac{h}{2}} \frac{b^{2}}{4} \left(\frac{h^{2}}{4} - y^{2}\right)^{2} dy$$

$$= \frac{36}{h^{5}} \int_{-\frac{h}{2}}^{\frac{h}{2}} \left(\frac{h^{4}}{16} - \frac{h^{2}}{2}y^{2} + y^{4}\right) dy$$

$$= \frac{36}{h^{5}} \left[\frac{h^{4}y}{16} - \frac{h^{2}y^{3}}{6} + \frac{y^{5}}{5} \right]_{-\frac{h}{2}}^{+\frac{h}{2}}$$

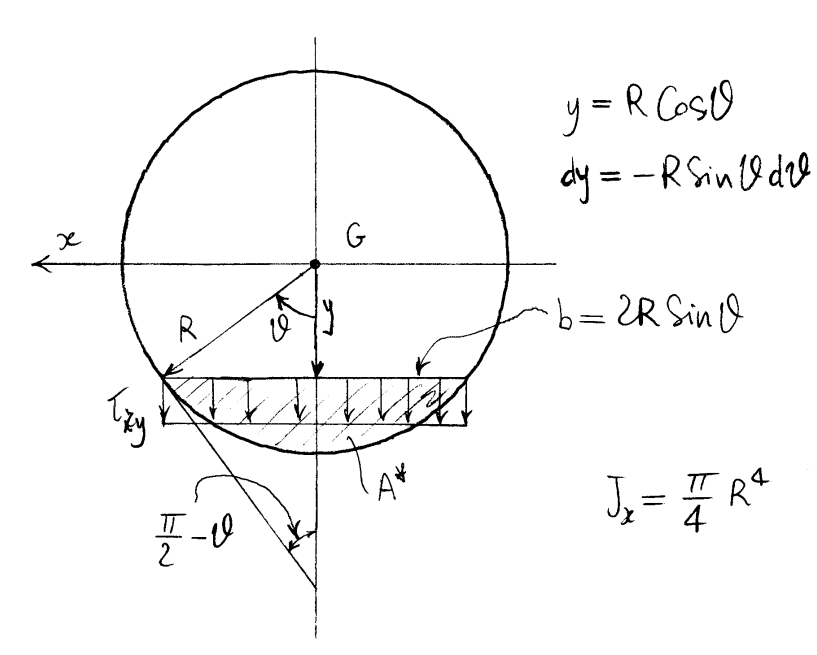
$$= 36 \left(\frac{1}{16} - \frac{1}{24} + \frac{1}{80} \right) = \frac{36}{240} \left(15 - 10 + 3\right).$$

In definition:

$$\chi_y = \frac{6}{5}$$
.

Procedudo allo stesso modo si ricaverebbe anche $\chi = \frac{6}{5}$ perc' occorre tenere presente du la soluzione trovata per Xy e sufficientemente brond se b < h, e quindi se $\chi_y = \frac{6}{5}$ e' ma soluzione sufficientemente buono, allow $\chi_{\mathbf{x}} = \frac{6}{5}$ non e sufficientemente brons.

Sezione circolare 6.5.2



$$S_{x}^{4} = \int_{0}^{Q} 2R^{2} \operatorname{Sin^{2}x} R \operatorname{Gsx} dx = \frac{2}{3}R^{3} \operatorname{Sin^{3}Q}$$

$$I_{xy} = \frac{4}{3} \frac{T_{y}}{\pi R^{2}} \operatorname{Sin^{2}Q}$$

$$I_{xx} = -\frac{4}{3} \frac{T_{y}}{\pi Q^{3}} \times \operatorname{Gs} Q$$

Fattore di taglia:

$$\chi_{y} = \frac{\pi R^{2}}{\frac{\pi^{2} R^{8}}{16}} \int_{0}^{\pi} \frac{\frac{4}{9} R^{6} Sin^{6} U}{2 R Sin U} \left(1 + \frac{1}{3 \log^{2} U}\right) R Sin U dU$$

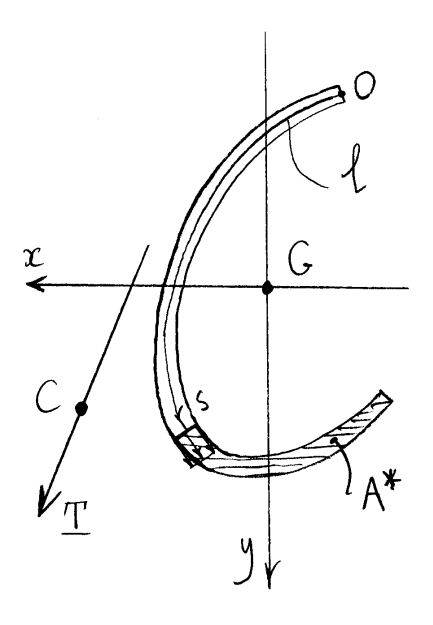
$$= \frac{16}{\pi R^6} \frac{2R^6}{9} \int_0^{\pi} \sin^6 \theta \left(1 + \frac{1}{3 \log \theta}\right) d\theta$$

Si ottiene:

$$\chi_{y} = \frac{32}{27} \qquad .$$

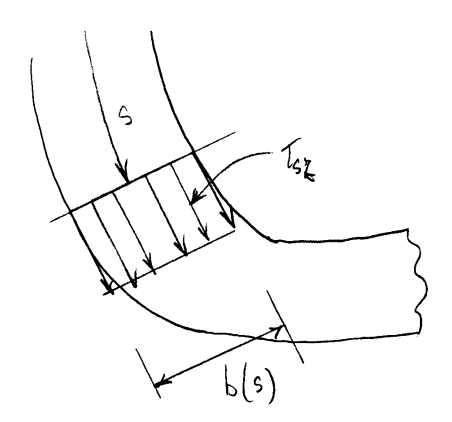
6.6 Il taglio nelle sezioni sottili aperte

Si facis riferimento ad uno sforzo di taglio con retta d'azione passante per il centro di taglio.



La tensione tongenziale Tsz è approssimativamente extente lungo la corda e vale:

$$T_{sx} = \frac{T_x S_y^*}{b J_y} + \frac{T_y S_x^*}{b J_x}.$$



Energia di deformazione per unità di linea in forma auplementar:

$$\Psi = \frac{1}{2G} \int_{A} \tau_{s_{x}}^{2} dA =$$

$$= \frac{1}{2G} \int_{C} \tau_{s_{x}}^{2} dS = \frac{1}{2G} \int_{C} \left(\frac{T_{y} S_{x}^{*}}{b J_{x}} + \frac{T_{x} S_{y}^{*}}{b J_{y}} \right)^{2} b dS$$

$$= \frac{1}{2GA} \left\{ \left(\frac{A}{J_{x}^{2}} \int_{C} \frac{S_{x}^{*2}}{b} dS \right) T_{y}^{2} + \left(\frac{A}{J_{y}^{2}} \int_{C} \frac{S_{y}^{*2}}{b} dS \right) T_{x}^{2} + 2 \left(\frac{A}{J_{x} J_{y}} \int_{C} \frac{S_{x}^{*} S_{y}^{*}}{b} dS \right) T_{x} T_{y} \right\}.$$

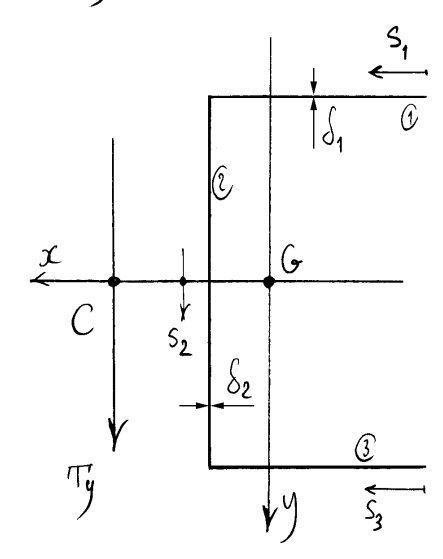
fattori di taglio:

$$\chi_{y} = \frac{A}{J_{x}^{2}} \int_{\ell} \frac{S_{x}^{*2}}{b} ds ,$$

$$\chi_{x} = \frac{A}{J_{y}^{2}} \int_{\ell} \frac{S_{y}^{*2}}{b} ds ,$$

$$\chi_{xy} = \frac{A}{J_{x}J_{y}} \int_{\ell} \frac{S_{x}^{*2}}{b} ds .$$

6.6.1 La sezione a C



$$\int_{x}^{*} (s_{1}) = -\delta_{1} s_{1} \frac{H}{2},$$

$$S_{x}^{*} (s_{2}) = -\delta_{1} B \frac{H}{2} - \delta_{2} (\frac{H}{2} + s_{2}) \left[\frac{1}{2} (\frac{H}{2} + s_{2}) - s_{2} \right]$$

$$= -\delta_{1} B \frac{H}{2} - \frac{\delta_{2}}{2} (\frac{H^{2}}{4} - s_{2}^{2}),$$

$$S_{x}^{*} (s_{3}) = \delta_{1} s_{3} \frac{H}{2}.$$

Fattore di taglio

$$\lambda_{y} = \frac{A}{J_{x}^{2}} \int_{\mathcal{L}} \frac{S_{x}^{*2}}{S_{1}} ds =$$

$$= \frac{A}{J_{x}^{2}} \left\{ 2 \int_{0}^{B} \frac{S_{1}H^{2}}{4} \xi^{2} d\xi + \int_{-\frac{H}{2}}^{\frac{H}{2}} \left[S_{1}B \frac{H}{2} + \frac{S_{2}(H^{2} - \xi^{2})}{2} \right]^{2} d\xi \right\}$$

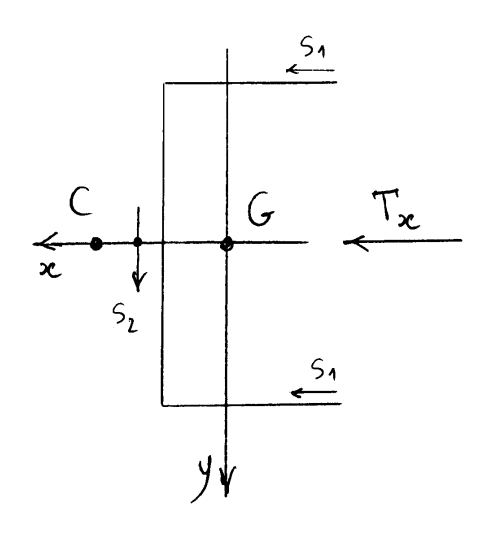
$$= \frac{A}{J_{x}^{2}} \left\{ \frac{S_{1}B^{3}H^{2}}{6} + \int_{-\frac{H}{2}}^{\frac{H}{2}} \left[\frac{S_{1}^{2}B^{2}H^{2}}{4S_{2}} + \frac{S_{1}BH^{3}}{8} - \frac{S_{1}BH\xi^{2}}{2} + \frac{S_{2}H^{4}}{4x_{16}} - \frac{S_{2}H^{2}\xi^{2}}{8} + \frac{S_{2}\xi^{4}}{4} \right] d\xi \right\} =$$

$$= \frac{A}{J_{x}^{2}} \left\{ \frac{\delta_{1}B^{3}H^{2}}{6} + \frac{\delta_{1}^{2}B^{2}H^{3}}{4\delta_{2}} + \frac{\delta_{1}BH^{4}}{8} - \frac{\delta_{1}BH^{4}}{24} + \frac{\delta_{2}H^{5}}{4\times16} - \frac{\delta_{2}H^{5}}{6\times16} + \frac{\delta_{2}H^{5}}{20\times16} \right\},$$

e infine:

$$\chi_{y} = \frac{A}{J_{x}^{2}} \left\{ \frac{1}{6} \, \xi_{1} B^{3} H^{2} + \frac{1}{4 \, \xi_{2}} \, \xi_{1}^{2} B^{2} H^{3} + \frac{1}{12} \, \xi_{1} B H^{4} + \frac{1}{120} \, \xi_{2} H^{5} \right\}.$$

Tiglio secondo x per C



$$S_{y}^{*}(s_{1}) = -\delta_{1}s_{1}\left(B - d_{G} - \frac{s_{1}}{2}\right),$$

$$S_{y}^{*}(s_{2}) = \delta_{2}\left(\frac{H}{2} + s_{2}\right)d_{G} - \delta_{1}B\left(\frac{B}{2} - d_{G}\right).$$

Pattore di toglio secondo xe

$$\chi_{x} = \frac{A}{J_{y}^{2}} \int_{Q} \frac{S_{y}^{*2}}{b} ds =$$

$$= \frac{A}{J_{y}^{2}} \left\{ 2 \int_{0}^{B} S_{1} S_{1}^{2} \left(B - d_{G} - \frac{S_{1}}{2} \right)^{2} dS_{1} + \int_{-\frac{H}{2}}^{\frac{H}{2}} \frac{1}{S_{2}} \left[S_{2} \left(\frac{H}{2} + S_{2} \right) d_{G} - S_{1} B \left(\frac{B}{2} - d_{G} \right) \right]^{2} dS_{2} .$$

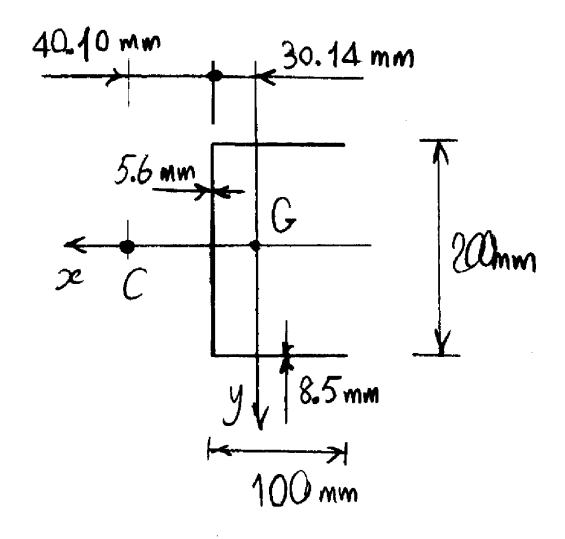
Fattore di taglio misto

Poiche ze e asse di simmetria il fattore ditaglio misto si annulla:

$$\chi_{xy} = 0$$
.

In altre parole, x e y sous assi principali di teglio.

Nel caso:



si ottiene:

$$\chi_{\rm j} = 2.906$$
.